

Tommi Pihala

KAIVINKONEEN YLEISKAHMARIN SUUNNITTELU JA
ESIVALMISTUS

Kone- ja tuotantotekniikan koulutusohjelma
2015

KAIVINKONEEN YLEISKAHMARIN SUUNNITTELU JA ESIVALMISTUS

Pihala, Tommi
Satakunnan ammattikorkeakoulu
Kone- ja tuotantotekniikan koulutusohjelma
Toukokuu 2015
Ohjaaja: Teinilä, Teuvo
Sivumäärä: 71
Liitteitä: 46

Asiasanat: kaivinkoneet, tietokoneavusteinen suunnittelu, materiaalinkäsittely, Solid-Works

Tämä opinnäytetyö käsittelee tilaajan Volvo EC35 minikaivinkoneeseen suunniteltavan yleiskahmarin eri vaiheet. Opinnäytetyön eri osa-alueisiin on lisätty aihetta koskeva perusteoria kuitenkin samalla pyrkien pitämään teksti helppolukuisena. Työ sisältää yksinkertaiset laskutoimitukset koskien hydraulisylinterin, ruuviliitoksen ja liukulaakerien mitoitusta.

Opinnäytetyön toiminnallinen osuus alkoi arvioimalla tilaajan kahmarille asettamia vaatimuksia ja tarpeita, jonka jälkeen valittu konstruktio mallinnettiin 3D-mallinnusohjelmistolla. Kahmarin kestävyyttä tarkasteltiin elementtimenetelmällä (FEM) kolmessa erilaisessa rasitustilanteessa.

CAD-suunnittelun jälkeen kahmarin osat esivalmistettiin myöhempää kokoonpanoa varten. Esivalmistusvaihe sisälsi osien teknisten piirustusten tekemisen, sekä kommunikonin toimittavien tahojen kanssa riittävän laadun aikaansaamiseksi.

Opinnäytetyön liitteisiin on lisätty teknisten piirustuksien esimerkit, FEM-simulointien tulokset sekä suunnitellun kahmarin mallinnuskuvat. Tulevaisuudessa kahmarista kokoonpannaan prototyyppi. Työn tietokoneavusteisen suunnittelun osuus tehtiin Dassault Systèmesin SolidWorks 2014 ja DraftSight 2015-ohjelmistoilla.

THE EXCAVATOR GRAPPLE DESIGN AND PREFABRICATION

Pihala, Tommi

Satakunnan ammattikorkeakoulu, Satakunta University of Applied Sciences

Degree Programme in Mechanical and Production Engineering

May 2015

Supervisor: Teinilä, Teuvo

Number of pages: 71

Appendices: 46

Keywords: excavators, computer-aided design, material handling, SolidWorks

This thesis goes through the process of designing excavator grapple for client's Volvo EC-35 compact excavator. Basic theory was added to thesis' different segments while trying to maintain easy readability. Thesis includes simple calculations for dimensioning hydraulic cylinder, screw connection and slide bearings.

Practical part of the thesis began with evaluating the client's requirements and needs, and then proceeded into modeling chosen construction with 3D modeling software. Finite element method was used for measuring the grapple strength under three different loading situations.

After validating the design in CAD-environment the grapple parts were prefabricated for later grapple assembly. Prefabrication stage included making manufacturing drawings for parts and communicating with different subcontractors for obtaining sufficient product quality.

Thesis' appendices include examples of manufacturing drawings, FEM-simulation results and pictures of designed and modeled excavator grapple. The grapple will be assembled in to a prototype in near future. Computer-aided design was made with Dassault Systèmes' SolidWorks 2014 and DraftSight 2015-programs.

SISÄLLYS

1	JOHDANTO.....	6
2	TYÖN LÄHTÖKOHDAT	7
2.1	Tilaajan vaatimuslista	8
2.2	Kaivinkoneen vaikutus suunnittelussa	9
2.2.1	Kahmarin kiinnitys	9
2.2.2	Hydraulijärjestelmä ja voimat	11
3	KAHMARIN SUUNNITTELU	13
3.1	Yleistä rakenteesta	13
3.2	Levymateriaali	15
3.3	Laakerointi	20
3.3.1	Liukulaakerien materiaali	20
3.3.2	Liukulaakerien mitoitus	21
3.3.3	Liukulaakerien voitelu	25
3.3.4	Vastapinnan vaatimukset	26
3.4	Leuat	27
3.5	Kahmarin runko	29
3.6	Reaktiotangot	30
3.7	Mekanismin suunnittelu	31
3.8	Akselitapit ja holkit	34
3.8.1	Akseli- ja holkkimateriaali	34
3.8.2	Akselien lukitus ja voitelu-urat	35
3.8.3	Toleranssit ja sovitteet	36
3.9	Hydraulisylinteri	39
3.9.1	Hydraulisylinterin valinta ja kiinnitystapa	40
3.9.2	Hydrauliikkaletkut	43
3.9.3	Hydraulisylinterin mitoitus	44
3.10	Hymas S40-sovitteen kiinnitys	48
3.10.1	Ruuviliitoksen karkea mitoitus	49
3.10.2	Kiinnityksen variaatio	54
3.11	Kahmarin malli ja tekniset tiedot	55
4	KAHMARIN SIMULOINTI	57
4.1	Yleistä simuloinnista	57
4.2	Materiaalit, myötölujuudet ja varmuuskertoimet	58
4.3	Kahmarin simulointi	60
4.3.1	Tilanne 1 (-Y)	61
4.3.2	Tilanne 2 (+Y)	61

4.3.3 Tilanne 3 (-Z)	62
4.4 Simulointitulosten analysointi	63
5 ESIVALMISTUS JA KOKOONPANO	65
6 LOPPUSANAT	67
LÄHTEET	68
LIITTEET	70

1 JOHDANTO

Opinnäytetyön tavoitteena oli suunnitella, mallintaa, sekä simuloida työn tilaajalle minikaivinkoneeseen 4-piikkinen yleiskahmari/-koura. Kyseistä kahmarimallia voidaan nimittää myös energiakahmariksi tai energiakouraksi. Tämän opinnäytetyön kahmaria ei kuitenkaan ole ajateltu käytettäväksi ainoastaan puumateriaalin käsittelyssä, vaan kahmarin käyttökohde voi olla minkä tahansa materiaalin käsittely, puristaminen tai irrottaminen. Suunniteltua kahmaria voidaan käyttää esimerkiksi kivien nostamisessa tai raaka-aineiden lajittelussa.

Opinnäytetyö on luonteeltaan toiminnallinen projektityö. Sen laajimmat osa-alueet ovat tuotekehityksessä, suunnittelussa, mallinnuksessa sekä simuloinnissa. Alkuperäisestä toimintasuunnitelmasta poiketen kahmarin prototyyppiä ei kokoonpanna opinnäytetyön aikana, vaan kokoonpano siirtyy myöhempään ajankohtaan. Opinnäytetyön tilaaja on minikaivinkoneen omistava yksityinen henkilö.

Työn lähtökohtaiseksi ongelma-asetelmaksi voidaan mainita se, ettei tilaaja ollut täysin tyytyväinen markkinoilla oleviin tuotteisiin tai ratkaisuihin. Opinnäytetyön yhtenä tavoitteena olikin tuotekehityksellisesti pohtia eri ratkaisuja, ja pyrkiä yhdistämään eri konstruktioratkaisut yhdeksi toimivaksi kokonaisuudeksi. Samalla pyrittiin täyttämään tilaajan tuotteeseen liittyvät vaatimukset mahdollisimman hyvin.

Opinnäytetyö rajataan yhden kaivinkoneen kahmarin prototyypin suunnitteluun ja esivalmistamiseen. Esivalmistaminen käsittää kahmarin eri osien polttoleikkaukseen ja koneistukseen liittyvät suunnittelulliset asiat. Konstruktion optimointi, kustannuksien tarkastelu ja kaivinkoneen hydraulikkaan liittyvät asiat käsitellään työssä korkeintaan pintapuolisesti. Työn laajuudesta johtuen eri osa-alueiden teorioita ei käydä perusteellisesti läpi.

Opinnäytetyö toteutettiin 2015 tammikuun ja 2015 toukokuun välisenä aikana. Tietokoneavusteisen suunnittelun osuus tehtiin Dassault Systèmesin SolidWorks 2014 ja DraftSight 2015-ohjelmistoilla.

2 TYÖN LÄHTÖKOHDAT

Opinnäytetyön lähtökohtana oli suunnitella tilaajalle 4-piikkinen kahmari (Kuva 1) kaivinkoneen työkaluksi. Kahmari koostuu rungosta, hydraulisylinteristä (tai sylintereistä) sekä kahdesta leukaparista. Kahmari kiinnitetään yleensä työkoneeseen joko riipukkeella tai kiinteällä sovitteella. Lisäksi kiinnitys voi sisältää ns. pyörittäjän (rotaattori), joka mahdollistaa työkalun pyörittämisen. Kuvassa 2 on esimerkkinä kaivinkoneeseen suunnitellusta Engconin EC05B-kauhan pyörittäjästä, jossa on myös hydraulinen kallistus (rototilt tai tiltrotator).



Kuvat 1. ja 2. 4-piikkinen Lasco energiakahmari (Machinery Park www.sivut 2015) ja kaivinkoneeseen tarkoitettu Engconin EC05B-rototilt (Engcon www.sivut 2015)

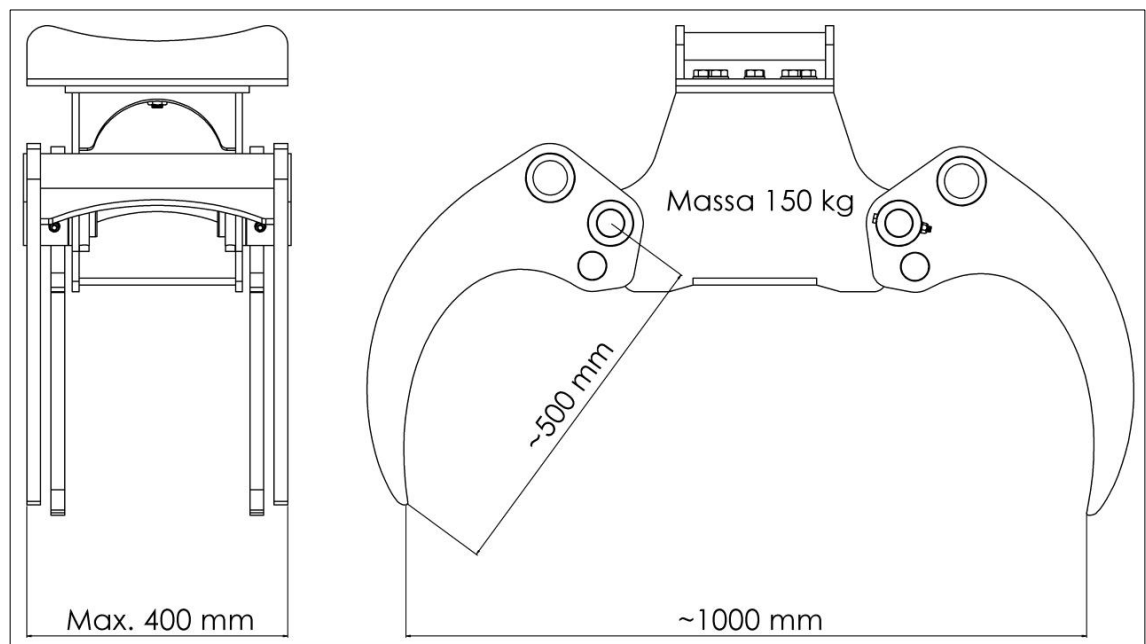
2.1 Tilaajan vaatimuslista

Tilaajan asettamat vaatimukset kahmarin suhteen olivat seuraavat:

- Leukojen aukeama noin 100 cm, kahmarin maksimileveys 40 cm, etäisyys leukojen kärjestä saranatappiin n. 50 cm (Kuva 3)
- Kahmarin omamassa alle 150 kg
- Levymateriaalina Voestalpinen Durostat 400 teräs 10 mm ja 20 mm levy-paksuuksina
- Leukojen levypaksuus 20 mm
- Kiinnitys kaivinkoneeseen irrotettavalla ja 45 ° kulmiin asemoitavalla Hy-mas S40-sovitteella
- Mahdollisimman symmetrinen rakenne
- Mahdollisimman symmetrinen leukojen liikerata
- Kokoonpano ja hitsaus suoritetaan ilman jigejä

Lisäksi määritettiin seuraavat suunnitteluun liittyvät asiat:

- Kahmarin käyttölämpötila -10...+30 °C
- Rasvavoideltavat liukulaakerit



Kuva 3. Tilaajan kahmarin fyysiseen kokoon liittyvät vaatimukset

2.2 Kaivinkoneen vaikutus suunnittelussa

Opinnäytetyön kahmari suunniteltiin pääasiassa tilaajan Volvo EC35 kaivinkoneen (Kuva 4) parametreja hyödyntäen, mutta varsinaista estettä kahmarin käyttämiselle muissa vastaavan kokoluokan kaivinkoneissa ei ole.

Volvo EC35 on tela-alustalle asennettu, ympäripyörivä (360 °), kumiteloilla ja hydraulisella voimansiirrolla varustettu kaivinkone. 3540 kilogramman omamassallaan EC35 lukeutuu minikaivinkoneiden ryhmään.



Kuva 4. Volvo EC35 minikaivinkone (VolvoCE.com www-sivut 2015)

2.2.1 Kahmarin kiinnitys

Kaivinkoneen tuomat haasteet kahmarin suunnittelulle liittyivät pääasiassa työkalun kiinnitystapaan sekä kaivinkoneen työvoimiin. Riipukkeellisesta työkalun kiinnityksestä (Kuva 5) poiketen kaivinkoneen työkalu tulee usein kiinteästi kiinni kaivinkoneen puomiin (Kuva 6), minkä takia kaivinkoneeseen suunniteltavan kahmarin rakenteen täytyy kestää huomattavasti suurempia voimia. Käytännössä kaivinkoneeseen suunniteltavan kahmarin täytyy kestää maaperään tai muuhun materiaaliin painautuminen mitä ei riipukkeellisessa mallissa tarvitse liiemmin huomioida.



Kuvat 5. ja 6. Riipukkeella kiinnitetty Kesla proG20 puutavarakoura (Koneviesti.fi www-sivut 2015) ja Engconin pyörittäjään kiinnitetty puutavarakoura (Intermercato Grapples www-sivut 2015)

Suunniteltavan kahmarin kiinnitys tulee tapahtumaan Hymas S40-sovitteella (Kuva 7) ilman pyörittäjää. S40-nimike viittaa sovitteen pyörötangon 40 mm halkaisijaan. Sovitteen fyysiset ulkomitat ovat $375 \times 230 \times 80$ mm (l×s×k) ja levymateriaalin paksuus 12 mm. Sovitteen materiaalin myötölujuudeksi arvioitiin 350 MPa.



Kuva 7. Hymas S40-sovite

2.2.2 Hydraulijärjestelmä ja voimat


Kahmarin kiinnityksen lisäksi kaivinkoneen hydraulijärjestelmä ja sen tuottama tilavuusvirta huomioidaan suunnittelussa. Taulukosta 1 nähdään että kyseessä on suljettu, kuormaan mukautuva hydraulijärjestelmä, jonka lisälaitekierron korkein tilavuusvirta q_v on 60 l/min (dm^3/min) ja korkein paine p 23 - 26 MPa. Opinnäytetyön Volvo EC35 kaivinkoneen todellinen mitattu paine on 24 MPa. Kahmarin suunnittelussa ja hydraulisylinterin mitoituksessa käytettiin 25 MPa (250 bar) painearvoa.

Kaivinkoneen kaivamiseen tarkoitetun puomiston ja kiinnityksen yhdistelmän vuoksi kahmariin kohdistuvat voimat eivät välttämättä aina ole kiinnityksen suuntaisia, vaan kahmarilla voidaan nostaa tai tarttua myös työkalun ollessa vaakatasossa. Taulukossa 2 on Volvo EC35 kaivinkoneen nostokyky eri etäisyysalueilla, kaivussyvyys sekä kauhan toiminta-alue. Ilmoitettua nostokykyä voidaan hyödyntää kahmarin y-akselin suuntaisissa simuloinneissa, jossa kahmarilla nostetaan objekti. Taulukosta 3 vastaavasti nähdään ilmoitettu kauhan suorituskykyä kuvaava suurin kaivu- ja irrotusvoima. Tuotetiedot löytyvät kokonaisuudessaan liitteistä 1.1 ja 1.2.

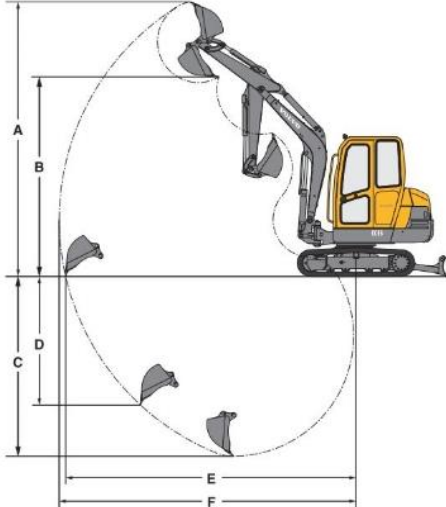
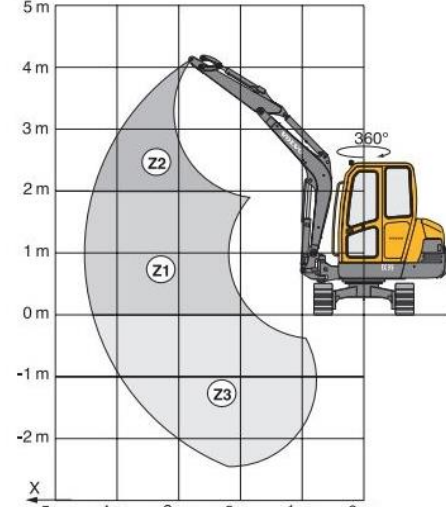
Taulukko 1. Volvo EC35:n ja EC45 Pron hydraulijärjestelmien tiedot (VolvoCE.com www-sivut 2015)

Hydraulic system	
Closed-centre Load-Sensing hydraulic system providing total independence of each movement.	
Control	power-assisted hydraulic controls
Variable displacement Load Sensing pump for all the equipment and travel circuits:	
Maximum flow	105 l/min
Maximum operating pressure	EC35: 23 MPa (230 bars) EC45 Pro: 26 MPa (260 bars)
Double-acting hydraulic circuit for accessories:	
Maximum flow	60 l/min
Maximum operating pressure	EC35: 23 MPa (230 bars) EC45 Pro: 26 MPa (260 bars)
End-of-stroke cushions	
On the boom ram	at the end of the rod extension
On dipper ram	at the end of the rod retraction
On offset ram	on both sides

Taulukko 2. Volvo EC35:n nostokyky ja kaivussyvyys eri etäisyyksillä (VolvoCE.com www-sivut 2015)

Outreach		1,50 m	2,00 m	2,50 m	3,00 m	3,50 m	4,00 m	4,50 m	4,80 m
	1400 mm	Z2		955	720	570	465		
		Z1	1555*	1190	845	655	530	445	380
		Z3	2040*	1215	855	660	535		
	1700 mm	Z2			730	575	465	385	
		Z1	1395*	1175	835	645	520	435	340
		Z3	1945*	1190	840	645	520	435	

* hydraulic limit

Dipper	A	B	C*	C	D	E	F
1400 mm	4840	3530	3420	3170	2200	5130	5240
1700 mm	5020	3720	3710	3470	2500	5420	5530

* Dig depth with the blade down.

Taulukko 3. Volvo EC35:n ja EC45 Pron suorituskyky (VolvoCE.com www-sivut 2015)

Bucket performance	
Breakout force	EC35: 2920 daN EC45 Pro: 3360 daN
Tearout force	EC35: 2190 daN EC45 Pro: 2420 daN

3 KAHMARIN SUUNNITTELU

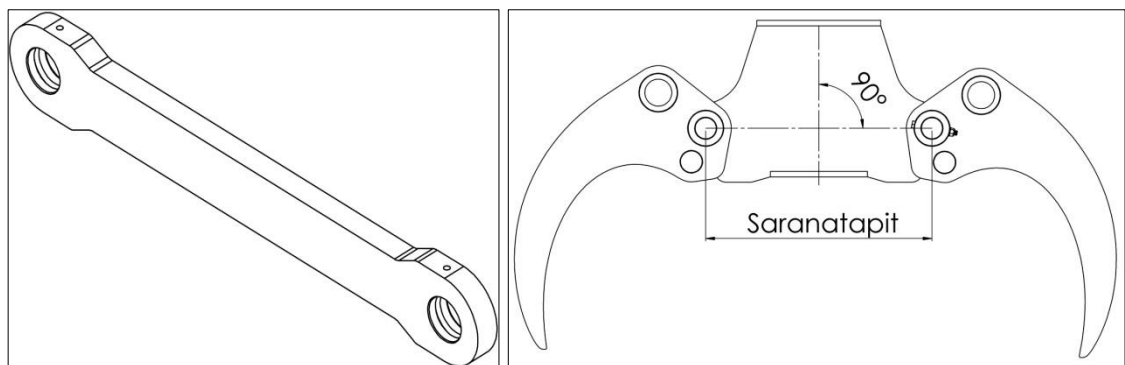
3.1 Yleistä rakenteesta

Ennen varsinaista suunnittelutyön aloittamista pohdittiin eri konstruktiovaihtoehtoja. Markkinoilla on lähes yhtä monta eri versiota energiakahmareista ja puutavarakourista kuin mitä on valmistajia, joten yhtä ainoaa oikeaa konstruktiota tuskin on olemassa.

Alusta lähtien oli kuitenkin selvää, että suunniteltava kahmari tullee toteuttamaan yhdellä hydraulisylinterillä kahden sijasta. Yhden sylinterin kahmarissa toisen leuan liike saadaan aikaan reaktiotangolla (Kuva 8). Symmetrisyyden ja kestävyuden takia reaktiotankoja suunniteltiin laitettavaksi kaksi kappaletta, yksi kummallekin puolelle hydraulisylinteriä.

Koska vaatimuksena oli mahdollisimman symmetrinen rakenne ja leukojen liikerata, päädyttiin rakenteeseen jossa leukojen saranatapid ovat samalla korkeudella toisistaan (Kuva 9). Rakenne jossa saranatapid ovat eri korkeudella aiheuttaa kahmarin painopisteen siirtymisen, mikä hankaloittaa kahmarin käyttöä. Suunnittelun kahmarin symmetrisyyteen on pyritty kiinnittämään huomiota jokaisessa muussakin mahdollisessa kohdassa ja esimerkiksi kaikki kahmarin neljä leukaa/piikkiä on identtisiä.

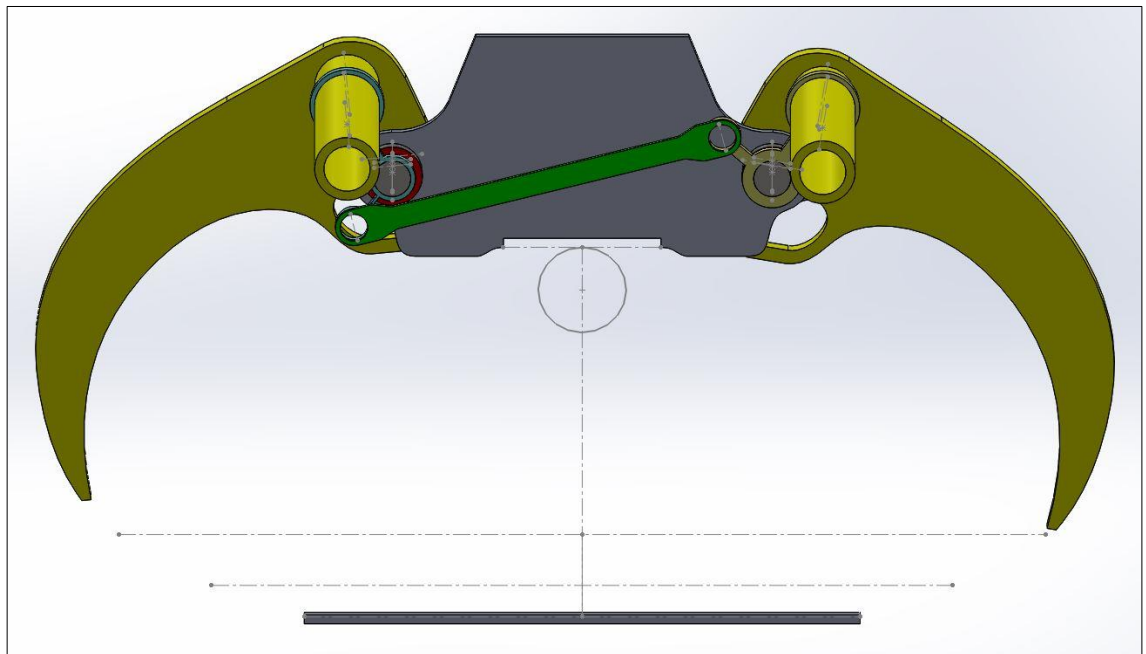
Kahmarin leukaparit suunniteltiin sijoitettavaksi rungon ulkopuolelle, jotta rungon poskilevyjä ei tarvitse taivuttaa ja rungon fyysiset ulkomitat saadaan pidettyä mahdollisimman pieninä.



Kuvat 8. ja 9. Reaktiotanko sekä saranatappien korkeusero

Käytännössä kahmarin suunnittelu eteni iteroimalla samoja työvaiheita kunnes kelvollinen ratkaisu löytyi. Iteroinnista johtuen tämä raportti ei välttämättä etene täysin suunnittelun todellisessa järjestyksessä, vaan esimerkiksi kahmarista mallinnettiin heti projektin alussa karkea malli (Kuva 10). Karkean mallin perusteella koneenelimet voitiin mitoittaa suuntaa antavasti. Suunnittelun edetessä myös useita valintoja muutettiin, minkä takia kahmarista mallinnettiin projektin aikana monta eri versiota. Eri versioiden määrää lisäsi myös se, että lähes jokainen kahmarin osa vaikuttaa joko suoraan tai välillisesti kahmarin muihin osiin ja mittoihin.

Alustavien kahmarin mallinnuksien perusteella saatiin selville lähes kaikki tarvittavat mitat, mm. akselitappien halkaisijat, holkkien koot sekä hydraulisynterin mitat. Koska kahmarin ulkomitat olivat tilaajalle erittäin tärkeitä, aloitettiin suunnittelu niiden pohjalta. Vaihtoehtoisesti suunnittelu olisi voitu aloittaa valitsemalla sopiva hydraulisynteri ja mallintamalla sen ympärille kahmarin eri osat. Ensimmäisestä toimivasta mallista tuostettiin 1:1 paperiversio, jonka avulla suunniteltavan kahmarin kokoa voitiin vertailla kaivinkoneen puomissa.



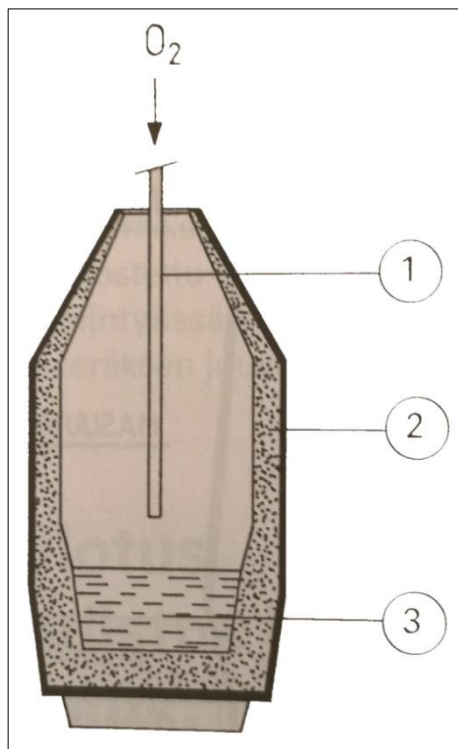
Kuva 10. Ensimmäisiä kahmarin mallinnuksia

Seuraavissa otsikoissa esitelty kahmari on suunnitteluprosessin viimeinen versio, ja samalla se versio, josta tulevaisuudessa valmistetaan prototyyppi. Otsikoiden alle on pyritty sijoittamaan otsikon aiheeseen liittyvä teoria, yleiset pohdinnat ja mallinnukset.

3.2 Levymateriaali

Tilaajan vaatimuksien mukaisesti kahmarin levymateriaalina käytettiin kulutusta kestävää Voestalpine Durostat 400 erikoisterästä 10 mm ja 20 mm levypaksuuksilla. Kahmarin leuat ja reaktiotangot valmistettiin 20 mm levystä ja loput levyosat 10 mm. Durostat 400 on LD-prosessilla (Linz-Donawitz) valmistettu erikoisteräs.

”LD-konvertterissa (Kuva 11) panoksittain sulana otettu raakarauta mellotetaan happikaasulla, joka puhalletaan lanssiksi nimitetystä putkesta ylhäältä kohtisuoraan päin sulaa. Mellottunut rauta tiheämpänä painuu jatkuvasti pohjaan ja runsashiilisempi raakarauta nousee pintaan mellottumaan. Tyypillinen panoksen koko on 100...300 tonnia ja mellotukseen tarvittava aika 15...20 minuuttia.” (Koivisto ym. 2010, 80.)



Kuva 11. LD-konvertteri. 1 lanssiputki, 2 vuoraus, 3 sula (Koivisto ym. 2010, 80)

”Happikaasun mukana voidaan prosessiin puhaltaa esim. jauhemaista kalkkia, joka muodostaa rikkiä poistavaa kuonaa. Koska piin, mangaanin ja hiilen palaminen kehittää runsaasti lämpöä, melloitettavan raudan sekaan voidaan panostaa n. 20 % sen määrästä rauta- ja teräsromua, joka sulaa valmistettavan teräksen sekaan. Happea tarvitaan n. 6 % ja kuonaa syntyy n. 8 % melloitettavan raudan määrästä. LD-konvertterit on vuorattu emäksisellä materiaalilla.” (Koivisto ym. 2010, 80.)

Durostat 400 teräksen valintaan vaikuttivat mm. seuraavat asiat:

- tilaajan aiemmat positiiviset kokemukset kyseisestä teräksestä
- saatavuus
- kovuus ja mekaaniset ominaisuudet
- hyvä hitsattavuus suhteessa mekaanisiin ominaisuuksiin

Durostat 400 teräksen mekaaniset ominaisuudet on listattu taulukkoon 4, ja sulatusanalyyysin mukainen kemiallinen koostumus löytyy taulukosta 5.

Taulukko 4. Durostat 400 teräksen mekaaniset ominaisuudet (20 mm levypaksuudelle).

$$\left[1 \text{ MPa} = 1 \text{ N/mm}^2 \right]$$

Kovuus (HB)	Myötölujuus (MPa)	Murtolujuus (MPa)	Murtovenymä	Iskusitkeys (J), 40 °C	CEV ₁	CET ₂
360 – 440	1000	1250	10	30	0,47	0,30

jossa hiiliekvivalenttiarvot CEV (IIW) ja CET (SEW 088) sekä murtovenymä

$$(1) \quad \text{CEV} = C + \frac{\text{Mn}}{6} + \frac{(\text{Cr} + \text{Mo} + \text{V})}{5} + \frac{(\text{Cu} + \text{Ni})}{15}$$

$$(2) \quad \text{CET} = C + \frac{(\text{Mn} + \text{Mo})}{10} + \frac{(\text{Cr} + \text{Cu})}{20} + \frac{\text{Ni}}{40}$$

$$(3) \quad L_0 = 5,65 \sqrt{S_0} \%, \text{ jossa}$$

L_0 = alkuperäinen mittapituus

S_0 = koesauvan poikkileikkauksen pinta-ala

k = vakio = 5,65

Taulukko 5. Durostat 400 teräksen sulatusanalyysin mukainen kemiallinen koostumus

% -osuus aineesta enintään									
C	Si	Mn	P	S	Al	Cr	Mo	B	Ti
0,180	0,600	2,100	0,025	0,010	0,020	1,000	0,500	0,005	0,050

Lisäksi teräs voi valmistajan mukaan sisältää mikroseosaineita kuten niobiumia (Nb) ja vanadiinia (V). Teräksen arvot on lainattu Voestalpinen tuotetiedoista. (Voestalpine.com www-sivut 2015)

- Hiili (C) lisää kovuutta sekä lujuutta. Hiili on vaikutuksiltaan kaikista alkuaineista tärkein raudan lisäksi.
- Pii (Si) lisää teräksen kovuutta ja lujuutta, mutta huonontaa iskusitkeyttä.
- Mangaanilla (Mn) on teräksen iskusitkeyden kannalta paljon merkitystä. Mangaani lisää kovuutta ja siten parantaa kulumiskestävyyttä, mutta toisaalta aiheuttaa päästö- ja sinihaurautta.
- Fosfori (P) on tyypillinen haitta-aine, jota teräkseen tulee raaka-aineina käytetyistä malmeista ja romuista. Fosfori heikentää teräksen iskusitkeyttä.
- Rikki (S) on sekä haitta-aine että tärkeä seosaine. Rikki lisää taipumusta kuumaaurauteen, mutta parantaa lastuttavuutta.
- Alumiini (Al) erkautuu nitrideiksi, jotka ehkäisevät rakeenkasvua esim. hitsauksessa sekä poistavat taipumuksen myötövanhenemiseen.
- Kromi (Cr) lisää karkenevuutta ja parantaa kulumiskestävyyttä. Runsaasti seostettuna kromi muodostaa hapen kanssa teräksen pintaan oksidikerroksen, joka suojaa korroosiolta.
- Molybdeeni (Mo) vähentää teräksen päästöhaurautta taipumusta sekä parantaa myötö- ja virumislujuutta.
- Boori (B) lisää erittäin tehokkaasti karkenevuutta. Boorin vaikutus on niin voimakas että yleensä hiilipitoisuutta voidaan alentaa.

- Titaani (Ti), niobioumi (Nb) ja vanadiini (V) erkautuvat jäähtymisvaiheessa nitrideiksi, jotka lujittavat terästä ja hienontavat raekokoa.

(Koivisto ym. 2010, 131–134)

Taulukosta 4 nähdään että Durostat 400 erikoisteräksellä on lähes kolminkertainen myötölujuus yleisesti käytettyyn S355 teräkseen verrattuna. Kaksinkertainen Brinell kovuus S355 teräkseen verrattuna taas antaa levymateriaalille erittäin hyvän mekaanisen kulutuskestävyyden. Kyseinen teräs soveltuu ominaisuuksiensa puolesta hyvin rakennesiin mitkä altistuvat abrasiiviselle kulutukselle.

”Brinell-kovuuskokeessa SFS-EN 10003-1 painetaan tutkittavan kappaleen pintaan kovametalli- tai karkaistu teräspallo tietyllä kuormituksella. Kuormituksen poistamisen jälkeen mitataan syntyneen painuman halkaisija ristimittana d_1 ja d_2 , jossa halkaisija d on mittojen keskiarvo.” (Koivisto ym. 2010, 18.)

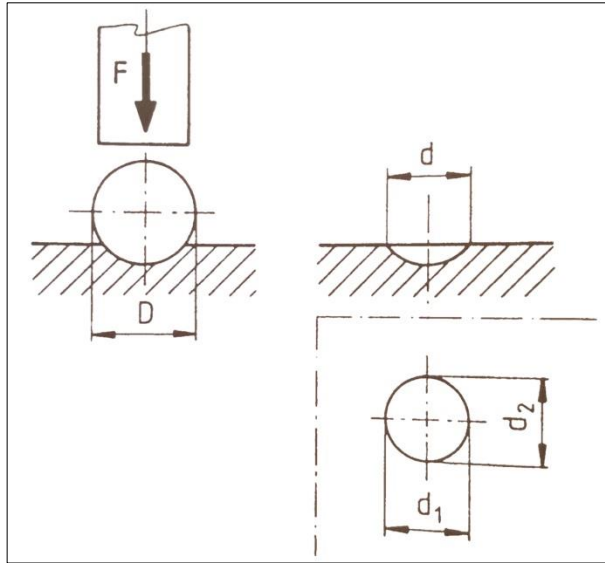
Koejärjestelyt ovat kuvan 12 mukaiset. Brinell-kovuus HBS tai HBW on kuormituksen ja painumakalotin pinta-alojen lukuarvojen suhde:

$$\begin{aligned}
 \text{HBS tai HBW} &= \frac{\text{kuormitus} / \text{kp}}{\text{painumakalotin pinta-ala} / \text{mm}^2} \\
 (4) \qquad \qquad &= \frac{0,102 \times 2 \times F}{\pi \times D \left(D - \sqrt{D^2 - d^2} \right)}, \text{ jossa}
 \end{aligned}$$

D = pallon halkaisija [mm]

$d = \frac{(d_1 + d_2)}{2}$ = painuman keskimääräinen halkaisija [mm]

F = kuormitus [N]



Kuva 12. Brinell-koe (Koivisto ym. 2010, 18)

Vaikka Durostat 400 on erittäin luja teräs, sen kemiallinen koostumus takaa hyvän hitsattavuuden. Hitsattavuus voidaan myös tarkistaa aiemmin ilmoitetun hiiliekvivalenttiarvon (CEV) avulla.

”Kaava soveltuu parhaiten teräksille, joiden muutosvyöhyke ei käytännön hitsausenergioilla karkene täysin. Kaavan käyttöä suositellaan etenkin hiili-, hiilimanganteräksille sekä mikroseostetuille hienoraeteräksille, kun teräksen hiilipitoisuus on yli 0,18 %, tai kun jäähtymisnopeus hitsauksen jälkeen on pieni, $t_{g/5}$ suurempi kuin 12 s. Teräs on kylmähalkeiluriskiä nähden hyvin hitsattavaa tavallisilla menetelmillä, kun CEV-arvo on alle 0,41. CEV-arvo 0,41...0,45 takaa hyvän hitsattavuuden, kun käytetään kuivia, emäksisiä hitsausaineita.” (Rautaruukin teräkset, hitsaajan opas 1998, 35.)

Voestalpine suosittelee Durostat 400 teräkselle 60 – 80 °C esikuumennuslämpötilaa, mutta tilaajan käytännön kokemusten perusteella hitsaaminen onnistuu kohtuullisesti myös ilman esikuumennusta.

3.3 Laakerointi

”Liukulaakereiden valinnassa on otettava huomioon ja tarkistettava seuraavia asioita:

- akselin kovuus
- laakerin materiaali
- liukunopeus
- pinnan laatu
- pintapaine
- toleranssit
- voitelutapa”

(Blom ym. 2006, 175.)

3.3.1 Liukulaakerien materiaali

Kahmarin laakerointi toteutetaan kylmämuovattavasta pronssiseoksesta rullatuilla, voiteluainerei’illä varustetuilla, suorilla liukulaakereilla. Tinapronssiseos koostuu yleensä kuparista, tinasta ja pienestä määrästä fosforia. Suunnittelun esimerkkilaakereina käytettiin WB802-laakereita (Kuva 13). WB802-laakerien tietoja verrattiin myös AST Bearingin ASTT90-laakerien spesifikaatioihin. WB802-laakerien mekaaniset ominaisuudet on esitetty taulukossa 6.



Kuva 13. WB802-liukulaakeri (D&E Trading Oy [www-sivut](http://www.sivut) 2015)

Taulukko 6. WB802-laakerin mekaaniset ominaisuudet (D&E Trading Oy www-sivut 2015)

Kovuus (HB)	Myötölujuus (MPa)	Murtolujuus (MPa)	Kitka (μ)	Maksiminopeus (m/s)	Lämpötila-alue (°C)
125 – 150	~300	~450	0,08 – 0,25	2,5	-100...+200

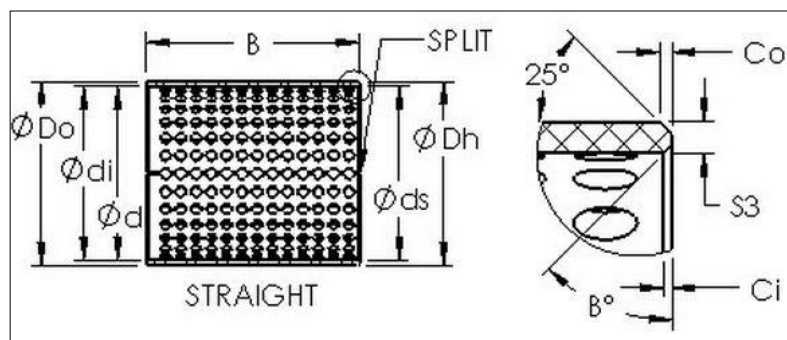
Voiteluainereikäisen pronssilaakerien etuja ovat muun muassa:

- hyvä lämmönjohtokyky
- hyvät voiteluominaisuudet voitelureikien ansiosta
- kestää kovia kuormia sekä iskukuormia
- soveltuu likaisiin olosuhteisiin

3.3.2 Liukulaakerien mitoitus

H7 toleranssin pesään puristetun laakerin sisäreiän toleranssiksi muodostuu H9. Esimerkiksi kuvan 14 mukaisesti 30/ 34 × 20 laakerin sisähalkaisijan d nimellismitta on 30 mm, ulkohalkaisijan D_o nimellismitta 34 mm ja laakerin pituuden B nimellismitta 20 mm. Kyseisessä tapauksessa laakerin nimellinen seinämävahvuus S_3 on 2 mm. Kun

laakeri puristetaan toleranssiltaan $\phi 34 \text{ H7 } \begin{smallmatrix} +0,025 \\ 0 \end{smallmatrix}$ laakeripesään, tulee laakerin sisäreiän mitaksi $\phi 30 \text{ H9 } \begin{smallmatrix} +0,052 \\ 0 \end{smallmatrix}$. Esimerkkilaakerin toleranssi pituuden suhteen on $-0,40$. Laakerin reunat on usein viistetty helpottamaan asentamista.



Kuva 14. Suoran liukulaakerin mitoitus (AST Bearings www-sivut 2015)

Alustavien mallinnuksien perusteella akselitappien ko'oksi valittiin $\varnothing 30$ mm ja $\varnothing 40$ mm. Akselitappien halkaisijoiden avulla pystyttiin kartoittamaan eri liukulaakerien saatavilla olevat koot ja etenkin pituudet. Laakerien ja laakeripesien pituuksilla on suora yhteys kahmarin leveyteen. Em. akselihalkaisijoille löytyy yleisesti liukulaakereita joiden nimellispituudet vaihtelevat 5 mm välein 15 millimetristä 50 millimetriin. Taulukosta 7 nähdään suunnitellun kahmarin liukulaakerien määrä ja nimellispituudet.

Taulukko 7. Kahmarin liukulaakerit

Nimitys	Kpl määrä
30/ 34 x 20 (3020)	4
30/ 34 x 25 (3025)	2
30/ 34 x 30 (3030)	3
30/ 34 x 40 (3040)	2
40/ 44 x 30 (4030)	4

Koneenelimet ja mekanismit kirjan (Blom ym. 2006, 190) mukaan säteislaakerin pituuden tulee olla $0,6...1,5 \times$ akselin halkaisija .

$$\frac{30 \text{ mm (laakerin pituus)}}{40 \text{ mm (akselin halkaisija)}} = 0,75 \qquad \frac{20 \text{ mm (laakerin pituus)}}{30 \text{ mm (akselin halkaisija)}} = 0,666...$$

40/44 x 30 (4030) liukulaakerit ovat saranatappien laakereita. Saranatappien kohdalla laakerien kuormana käytettiin korkeinta Volvo EC35:n spesifikaatioista löytyvää N arvoa, joka on taulukossa 3 oleva 2920 daN (29,2 kN \approx 30 kN). Ajatuksena oli, että saranatappilaakerien korkein kuorma syntyy, kun kahmarilla nostetaan kaivinkoneen maksiminostokyvyn verran. Käytännössä ko. laakerien kuorman voisi todennäköisesti jakaa vähintään kahdella, koska harvoin nostettava kuorma rasittaa ainoastaan yhtä saranatappin laakeria. 30/ 34 x (30xx) liukulaakerit ovat hydraulisynterilinterin ja reaktiotangon laakerointia varten.

Esimerkkinä on laskettu vielä hydraulisynterilinterin varrenpään liukulaakerien pintapaine (ko. laakerien yhteenlaskettu pituus $L = 110$ mm) , jossa kuormana on käytetty valitun hydraulisynterilinterin maksimityöntövoimaa. Eri kuormitustapauksia on esitetty kuvassa 15.

Liukulaakerin laskennallinen pintapaine p [N/mm²] saadaan kaavasta

$$(5) \quad p = \frac{F}{d \times L}, \text{ jossa}$$

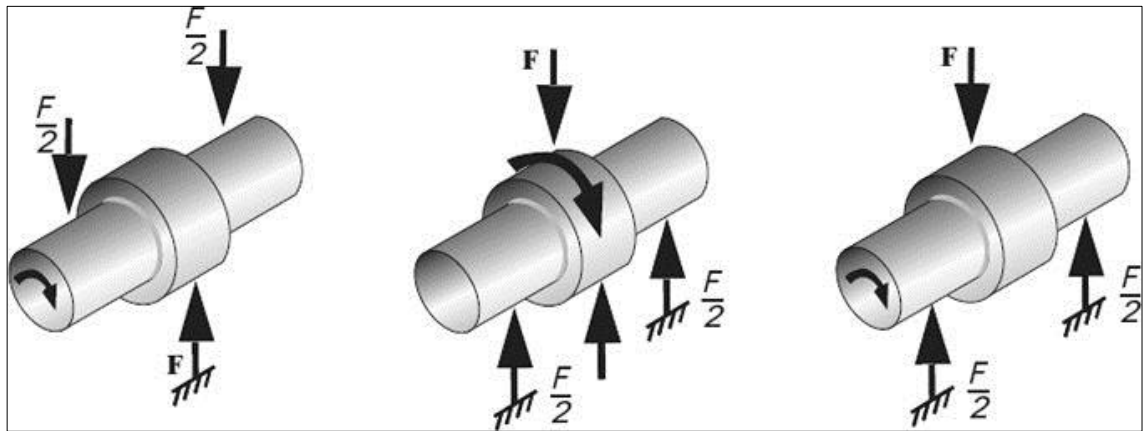
F = laakerin kuorma [N]

d = sisähalkaisija [mm]

L = laakerin pituus [mm]

$$p = \frac{30000 \text{ N}}{(40 \text{ mm} \times 30 \text{ mm})} = 25 \text{ N/mm}^2$$

$$p = \frac{78000 \text{ N}}{(30 \text{ mm} \times 110 \text{ mm})} = 23,6363... \approx 24 \text{ N/mm}^2$$



Kuva 15. Liukulaakerin kuormitustapaukset (AST Bearings www-sivut 2015)

Liukulaakerien mitoituksessa on arvioitu että liukumisnopeudet jäävät pieneksi (< 1 m/min), jolloin laakerimetallin pintapaineeksi voidaan sallia puolet sen myötöra-jasta. Kahmarin laakerien kuormitus esiintyy edestakaisena kuormituksena. Liukulaake-ri on hyvä valinta edestakaiseen kuormitukseen, eikä esimerkiksi urakuulalaakeria suo-sitella edestakaiseen liikkeeseen.

Laakerimetallin kuormitettavuus saadaan kaavasta

$$(6) \quad \text{kuormitettavuus} = \frac{R_{p0,2}}{2}, \text{ jossa}$$

$$R_{p0,2} = \text{myötöraja} \left[\text{N/mm}^2 \right]$$

$$\text{kuormitettavuus} = \frac{300 \frac{\text{N}}{\text{mm}^2}}{2} = 150 \text{ N/mm}^2 \geq 25 \text{ N/mm}^2$$

Toisaalta Koneenelimet ja mekanismit kirjan taulukko 7.1 mukaan (Blom ym. 2006, 179) JM-15 (Cu88, Sn12 tinapronssi) materiaalista valmistetulle liukulaakerille voidaan sallia maksimikuormituksena 75 N/mm^2 , kun liukunopeus on $< 1 \text{ m/min}$ ja liike on keskeytyvää. Laskuissa käytetty 25 r/min pyörimisnopeus on pelkkä arvio.

Liukunopeus $v \text{ [m/s]}$ voidaan tarvittaessa laskea kaavasta

$$(7) \quad v = \frac{\pi \times d \times n}{(60 \times 10^3)}, \text{ jossa}$$

$$d = \text{sisähalkaisija} \text{ [mm]}$$

$$n = \text{pyörimisnopeus} \text{ [r/min]}$$

$$v = \frac{\pi \times 40 \text{ mm} \times 25 \frac{\text{r}}{\text{min}}}{(60 \times 10^3)} = 0,05236 \approx 0,052 \text{ m/s}$$

Laakerien mitoittamisessa voidaan myös hyödyntää ns. pv-arvoa, joka yhdistää kuormituksen ja liukunopeuden. Yksinkertaisesti, mitä pienempi pv-arvo on, sitä pidempään

laakeri todennäköisesti kestää. Pronssista valmistetuille laakereille voidaan useimmiten sallia pv-arvoksi $1,75 \text{ N/mm}^2 \text{ m/s}$.

Pv-arvo voidaan laskea kaavalla

$$(8) \quad pv = \frac{F \times n \times \pi}{(60 \times 10^3 \times L)}, \text{ jossa}$$

F = laakerin kuorma [N]

n = pyörimisnopeus [r/min]

L = laakerin pituus [mm]

$$pv = \frac{30000 \text{ N} \times 25 \frac{\text{r}}{\text{min}} \times \pi}{(60 \times 10^3 \times 30 \text{ mm})} = 1,309 \leq 1,75 \text{ N/mm}^2 \text{ m/s}$$

$$pv = \frac{78000 \text{ N} \times 25 \frac{\text{r}}{\text{min}} \times \pi}{(60 \times 10^3 \times 110 \text{ mm})} = 0,928 \leq 1,75 \text{ N/mm}^2 \text{ m/s}$$

3.3.3 Liukulaakerien voitelu

”Voitelutapa on liukulaakeroinnin suunnittelun kannalta hyvin keskeinen asia. Voitelutavan valinta vaikuttaa ainakin seuraaviin asioihin:

- huollon tarve (itsevoiteleva/voideltava)
- laakerivälykset
- voitelu-urat
- pintapaineen kesto
- liukunopeuden kesto”

(Blom ym. 2006, 176.)

”Voitelu-uria tarvitaan vain voideltavissa metallisissa liukulaakereissa. Urien muodon, määrän ja sijainnin valinta kuormitettuun alueeseen nähden riippuu käyttökohteesta. Pääperiaatteita voitelu-urien suunnittelussa:

- voitelu-urat kohtisuoraan liikesuuntaa vastaan
- uran reunat eivät saa toimia kaavareina kulumisenkaan jälkeen; siksi suositellaan V-muotoisia uria
- hydrodynaamisessa voitelussa ei uria painepuolelle
- rasvavoitelussa urat lähelle painepuolta
- edestakaisessa liikkeessä usein paljon uria painepuolelle, jonne voiteluaine on syötettävä
- kun laakeri on liikkuva ja akseli paikallaan, tehdään urat akseliin”

(Blom ym. 2006, 176.)

Vaatuslistan luomisesta lähtien oli tiedossa, että liukulaakerit tullaan voitelemaan rasvavoitelulla. Voitelu-urat käsitellään tarkemmin otsikon 3.8 Akselitapit ja holkit alla.

3.3.4 Vastapinnan vaatimukset

Koneenelimet ja mekanismit kirjan taulukossa 7.1 (Blom ym. 2006, 179) JM-15 (Cu88, Sn12 tinapronssi) materiaalista valmistetulle liukulaakerille suositellaan vastapinnan (akselimateriaalin) pienimmäksi suositeltavaksi kovuudeksi 300 HB.

”Pronssiosaa vastassa olevalle pinnalle asetettavat vaatimukset:

- vähintään 100 HB kovempi kuin pronssi
- tinapronssit vaativat vähintään 300 HB:n vastapinnan
- alumiinipronssit vaativat vähintään 400 HB:n vastapinnan
- kuormituksen kasvaessa suurempi kovuus
- optimaalinen kovuus 500 HB
- suositeltava pinnansileys $R_a \leq 1,0 \mu\text{m}$

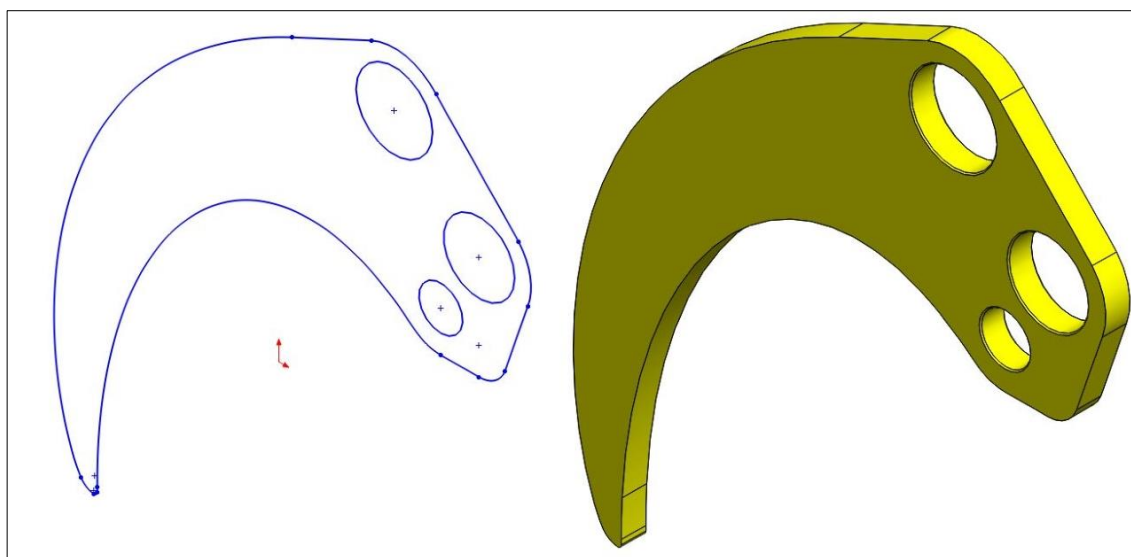
- ruostumattomista teräksistä suositellaan martensiittisiä laatuja, mikäli kuitenkin austeniittinen valitaan, pitää liukupinta kovakromata”

(Blom ym. 2006, 190.)

3.4 Leuat

Kahmarin leukojen geometria syntyi monen muutoksen tuloksena. Kahmarin leukojen suunnittelun lähtökohtana oli, että kaikki kahmarin neljä leukaa tulevat olemaan täysin identtisiä. Leukojen poskilevyt polttoleikattiin aiemmin esitellystä 20 mm Durostat 400 teräksestä. Leukojen muut levyosat polttoleikattiin 10 mm Durostat 400 teräksestä.

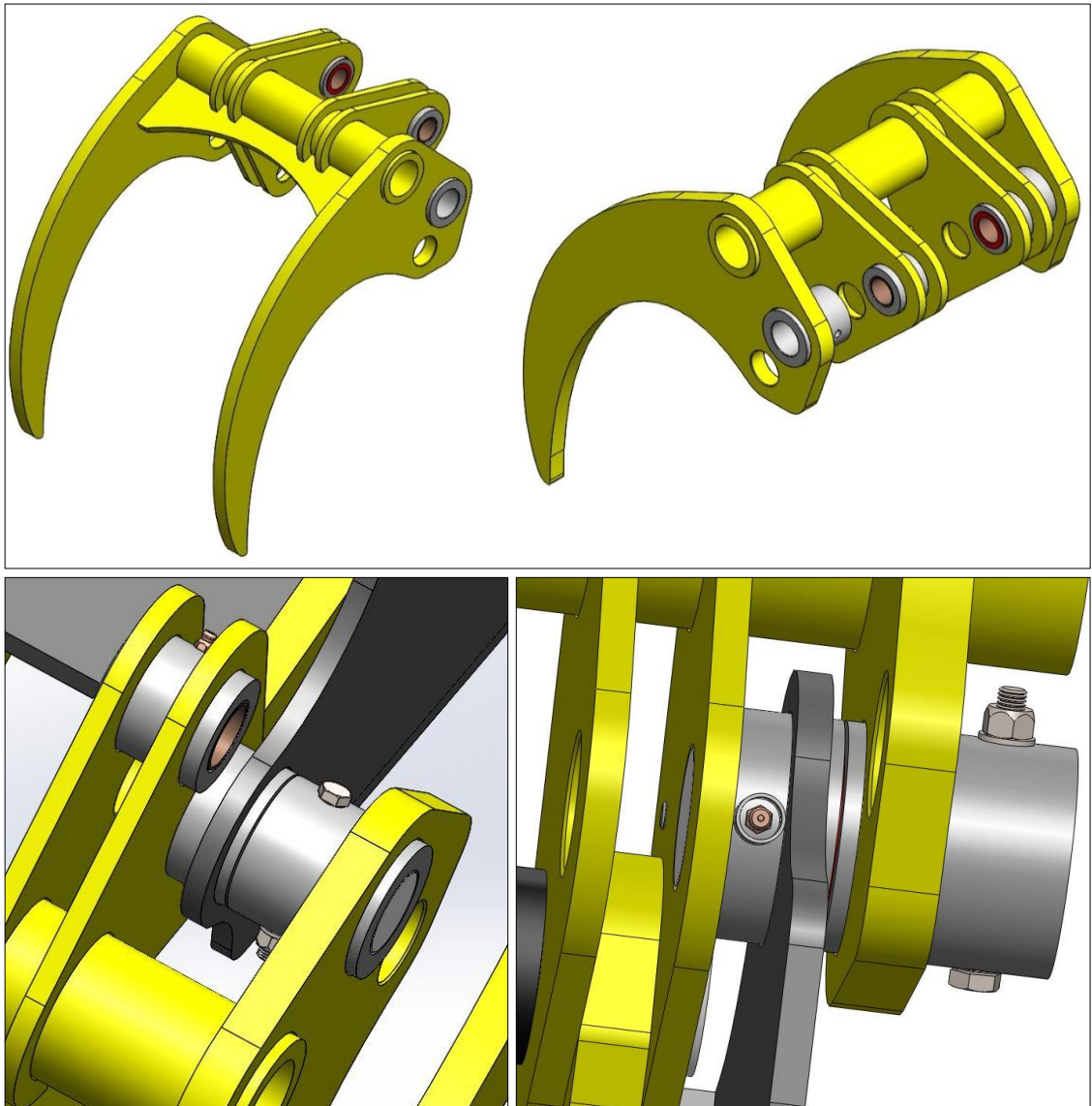
Koska suunniteltu kahmari on ensimmäinen versio eikä aiempaa dataa ole olemassa, tulee prototyypin käytännön testaus vasta paljastamaan onko suunniteltu leuan muoto edullinen vai ei. Kuvassa 16 on mallinnettu leuan poskilevy.



Kuva 16. Mallinnettu leuan poskilevy

Leuan poskilevyn pienin reikä on tarkoitettu reaktiotangon akselitapin poistamista varten. Vastaavasti ylin reikä on $\varnothing 70$ mm ainesputkea varten, joka yhdistää kaksi leuan poskilevyä toisiinsa. Kuvasta 17 voidaan havaita leveämmän leuan rakenne ja ainesputki, sekä ainesputkeen kiinnitetyt neljä hydraulisynterin kiinnikettä/kiinnikelevyä. Sa-

massa kuvassa on myös näkyvissä poskilevyihin ja ainesputkeen hitsattava tukilevy/-lappu. Leukaparit on suunniteltu niin, että leuan poskilevyt sekä ulommaiset kiinnikelevyt toimivat haarukkana rungon saranaholkille (Kuvat 18 ja 19). Haarukkarakenteen toivotaan vähentävän rungon holkkeihin syntyvää rasisitusta. Leuan poskilevyihin hitsataan saranatappia varten ulkohalkaisijaltaan 65 mm ja sisähalkaisijaltaan 40 mm holkit.

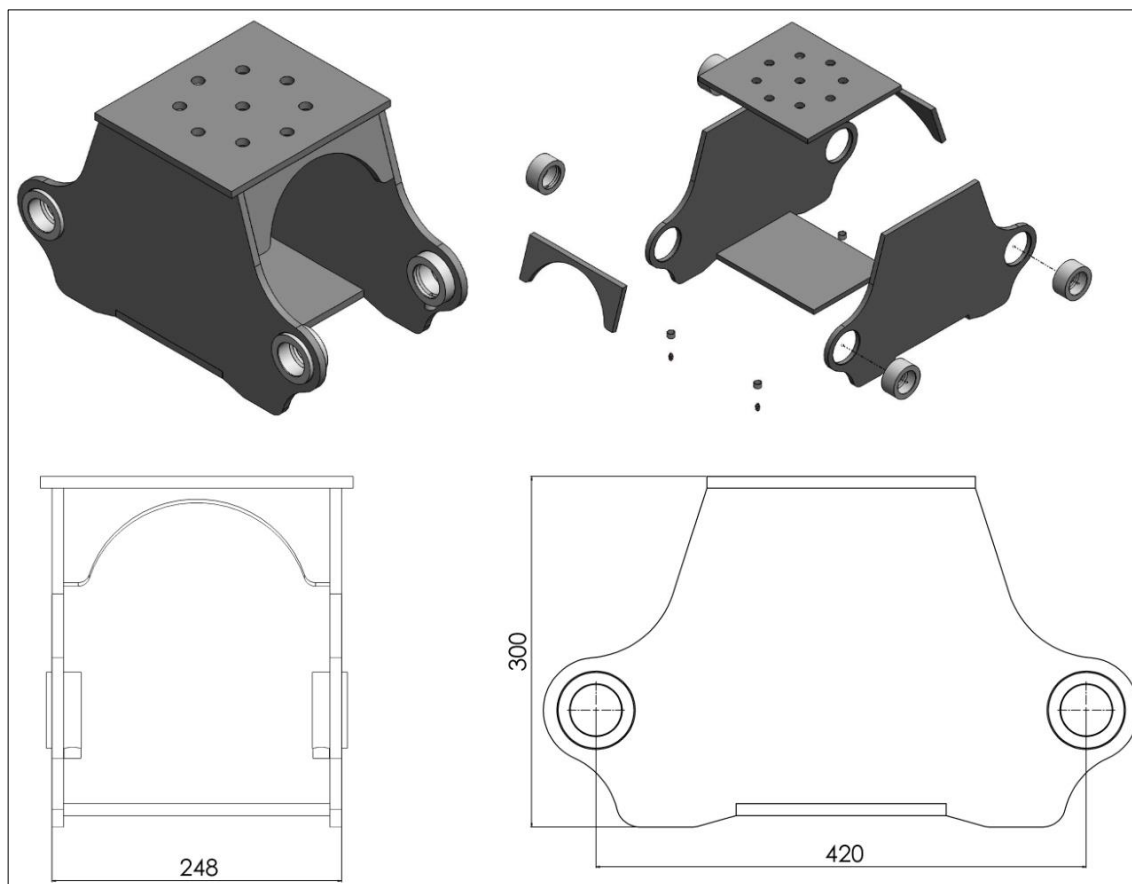


Kuvat 17., 18. ja 19. Leveämmän leuan kokoonpano, sekä leuasta ja kiinnikelevystä syntyvä haarukkarakenne

3.5 Kahmarin runko

Kahmarin runko valmistettiin polttoleikkaamalla kaikki tarvittavat levyosat Durostat 400 teräslevystä 10 mm levypaksuudella. Runko koostuu neljästä koneistettavasta saranaholkista, kahdesta poskilevystä, katto- ja pohjalevystä, sekä kahdesta päätylapusta/-palasta (Kuva 20). Rungon poskilevyt on suunniteltu muodoltaan sellaisiksi, että akseli-
tapit on mahdollista asentaa ja poistaa kahmarin kokoonpanonkin jälkeen. Rungon kokoonpano tehdään hitsaamalla levyosat toisiinsa.

Rungon poskilevyistä sekä pohjalevystä olisi optimoitaessa mahdollista poistaa materiaalia, jolloin rakenteesta tulisi kevyempi. Materiaalin poistamista ja aukkojen leikkauksista ei kuitenkaan koettu tämän kahmarin kohdalla tarpeelliseksi. Rungon pohjalevyn päätarkoituksena on suojata mekanismia ja hydraulisylinteriä käsiteltävältä materiaaalilta (esim. puun oksat). Kattolevyyn ja poskilevyihin hitsattava päätypala vahvistaa rungon rakennetta huomattavasti, varsinkin kahmaria vaakatasossa käytettäessä.



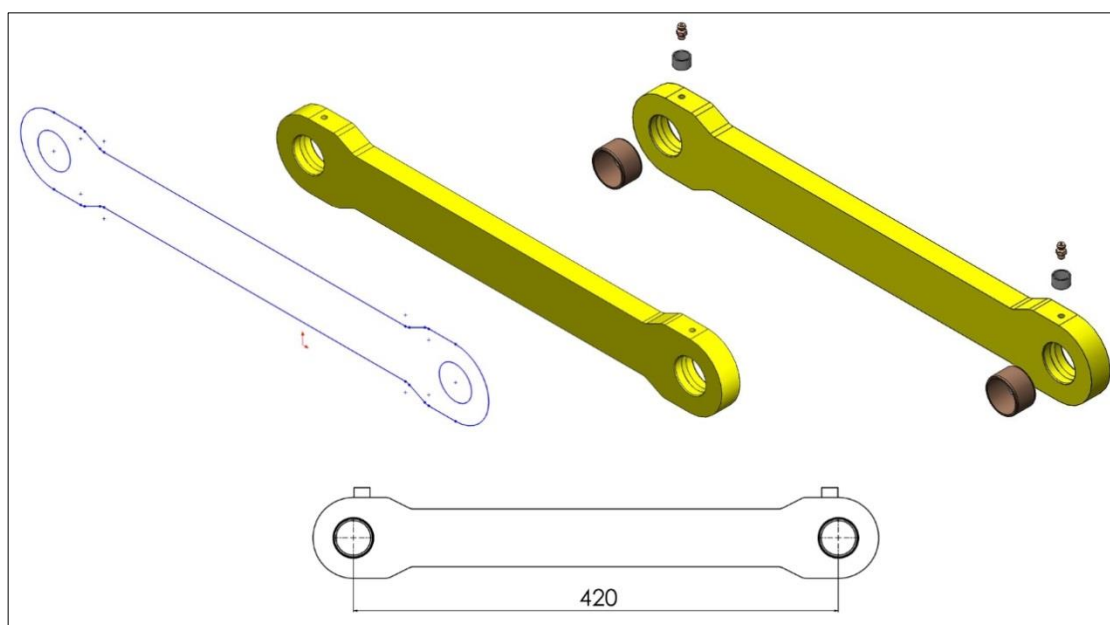
Kuva 20. Mallinnettu kahmarin runko

Koska leukaparit haluttiin rungon ulkopuolelle, ei rungon levyosien taivutukselle (ts. kanttaus tai särmäys) ollut tarvetta. Jos leukaparit olisi sijoitettu rungon sisäpuolelle, olisi rungosta tullut huomattavasti leveämpi, mikä taas olisi saattanut heikentää rungon kestävyyttä tai vaatia poskilevyjen taivutusta. Saranaholkkien ulkohalkaisijan nimellismitta on $\varnothing 65$ mm ja sisähalkaisijan $\varnothing 44$ mm, jolloin holkin seinämävahvuudeksi tulee noin 10,5 mm.

3.6 Reaktiotangot

Jotta kahmarin mekanismi toimisi yhdellä hydraulisylinterillä, pitää mekaniismeissa olla reaktiotanko (tai -tangot) (Kuva 21). Kahmariin suunniteltiin kaksi reaktiotankoa, kuten työssä aiemmin mainittiin. Kaksi reaktiotankoa tekee rakenteesta symmetrisemmän ja kestävämmän.

Koska kahmarin ulkomitoille oli erittäin tarkat vaatimukset, päätettiin reaktiotankojen reiät koneistaa toleranssiin laakereita varten. Samalla reikiin koneistettiin voitelu-urat. Laakerien asentaminen suoraan reaktiotankojen reikiin kaventaa kahmaria muutamia senttimetrejä. Vaihtoehtona olisi ollut laakeriholkkien hitsaaminen reaktiotankojen vapaareikiin. Reaktiotangot on leukojen tapaan polttoleikattu 20 mm Durostat 400 teräslävystä.



Kuva 21. Mallinnettu reaktiotanko

3.7 Mekanismin suunnittelu

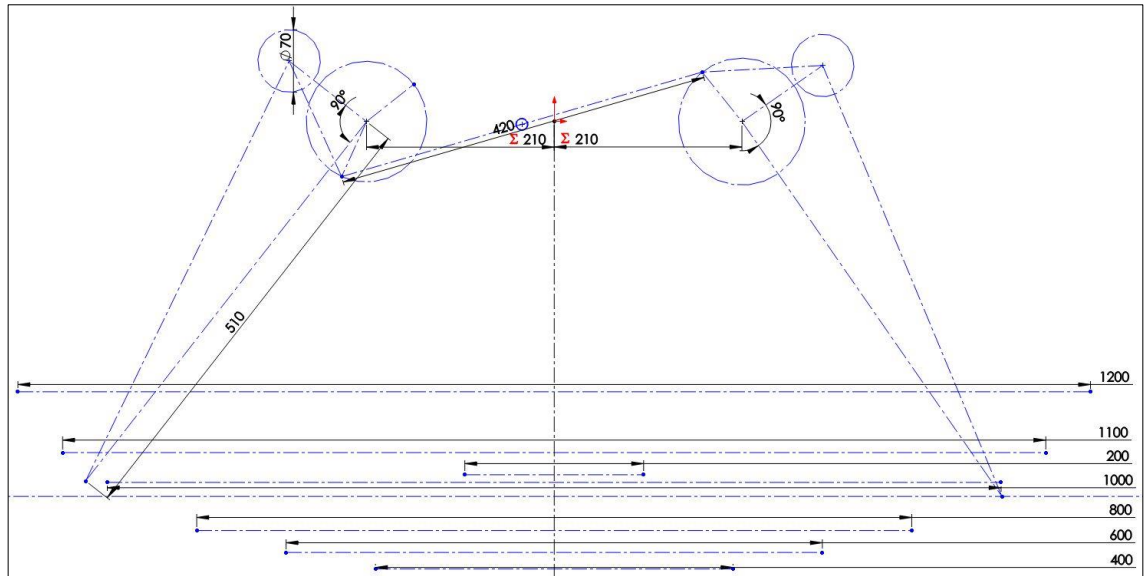
Kahmarin mekanismin suunnittelu oli yksi työn ongelmallisimmista vaiheista. Ongelmana oli saada leukojen liikerata mahdollisimman symmetriseksi ilman, että leukojen kärkien kohdatessa korkeuserosta syntyy käytön kannalta haittaa. Puutavarakouran mekanismiin yleensä halutaan kärkien välille pieni korkeusero, jotta leukojen kärjissä olevat kärkilevyt/-laput eivät törmäisi toisiinsa (Kuva 22).

Yleis- tai energiakahmarissa kärkien korkeuserosta on kuitenkin pääasiassa vain haittaa, joten kärkien kohdatessa korkeusero piti saada mahdollisimman pieneksi. Liian suuri väli leukojen kohdatessa hankaloittaa huomattavasti erilaisten kappaleiden nostamista, ja pahimmassa tapauksessa kappale voi jäädä kärkien väliin puristuksiin.



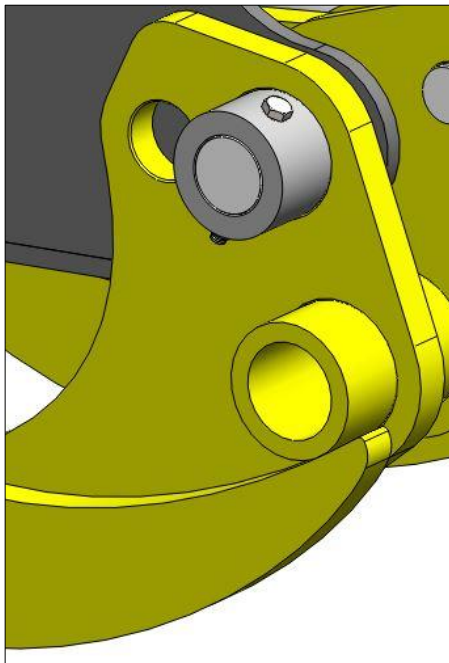
Kuva 22. Kinshofer KM 634 puutavarakoura, josta on havaittavissa kärkien korkeusero (DryWall Cranes [www-sivut](http://www.drywallcranes.com) 2015)

Kahmarin mekanismi suunniteltiin yksinkertaisesti SolidWorksin skitsinä (engl. sketch, Kuva 23). Mekanismin suunnittelun pohjatietona tiedettiin, että kahmarin rungon saranaholkkien ja reaktiotangon reikien keskipisteiden etäisyys on sama (Kuvat 20 ja 21, 420 mm). Lisäksi tilaajan vaatimuslistan perusteella tiedettiin haluttu leuan kärjen ja saranan keskipisteen etäisyys. Loput kiinnikkeiden mitoista saatiin iteroimalla kunnes mekanismista saatiin tyydyttävä.



Kuva 23. Mekanismin suunnittelu SolidWorksilla

Lisähaastetta mekanismin suunnitteluun toi myös se, että leukojen liike haluttiin pysähtyvän vastakkaisen leukaparin ainesputkeen (Kuva 24) eikä hydraulisynterin iskunpituuteen. Edellä mainittu ominaisuus aiheuttaa ongelmatilanteen, jossa saranapisteiden etäisyyttä ei voida suurentaa ilman, että kahmarin leukojen kokoa suurennettaisiin samassa suhteessa. Lisäksi mekanismiin pitää aina saada sovitettua hydraulisynteri mikä yleensä valmistetaan määrätyillä asennus- ja iskunpituuksilla.



Kuva 24. Vastakkaisen leuan ainesputki toimii liikkeen pysäyttäjänä

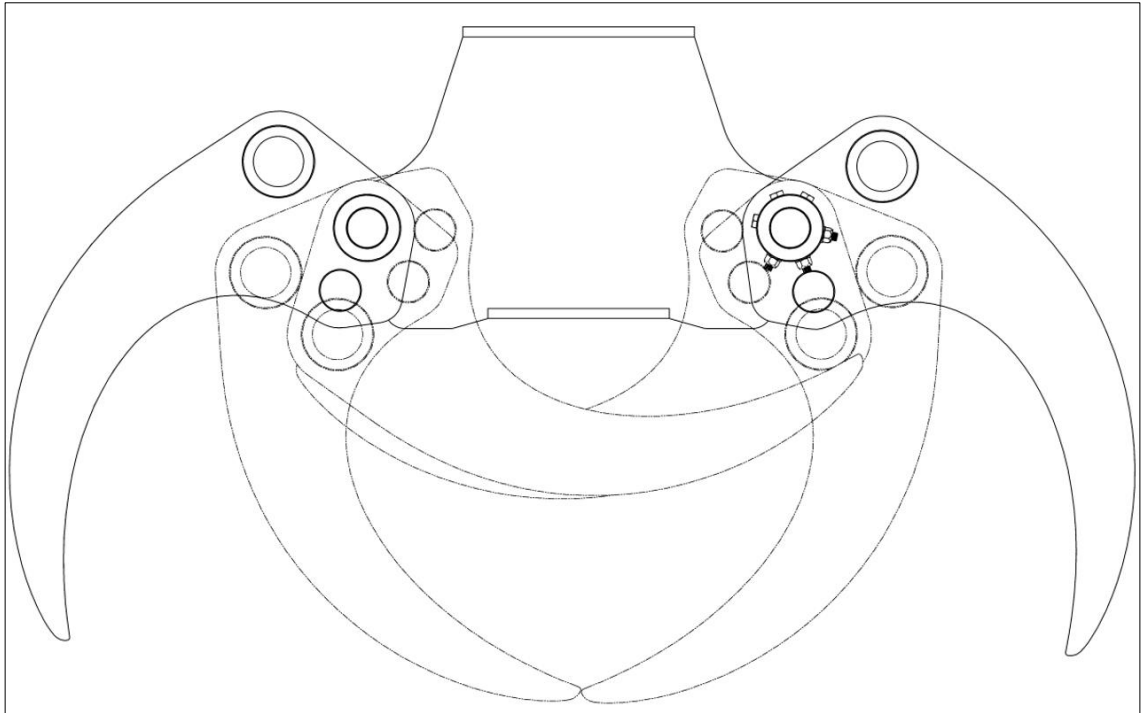
Täysin symmetristä liikerataa ei saatu aikaan, ja koska resurssit eivät riittäneet tarkempaan matemaattiseen tarkasteluun, päädyttiin ratkaisuun jossa epäsymmetrinen liikera-
dan alue sijoitettiin mekanismissa kohtaan ennen kuin leuat ovat täysin sulkeutuneet
kiinni.

Taulukkoon 8 on listattu SolidWorksilla mitatut kärkien korkeuserot y eri leukojen au-
keamilla x . On kuitenkin huomattava, että käytännössä valmistettavan kahmarin tole-
ranssit, mittatarkkuudet, hitsaukset sekä välykset muuttavat todellisen kahmarin kärkien
korkeuseroa ja liikerataa suuntaan tai toiseen. Taulukkoon listatut korkeuserot ovat mal-
linnetun kahmarin suuntaa antavia mittauservoja. Miinusmerkkiset arvot kuvaavat tilan-
netta jossa leukaparit ovat liikkuneet toistensa ohitse.

Taulukosta voidaan havaita jo aiemmin mainittu ns. epäsymmetrinen liikeradan alue,
joka suunnitellussa mekanismissa on sijoitettu ennen leukojen kiinnimenoa (-400 mm
avautuma). Tärkeimpänä kriteerinä pidettiin, että leukojen kohdatessa korkeusero olisi
mahdollisimman pieni. Kuvassa 25 on kahmarin leukojen kolme eri asentoa.

Taulukko 8. Kahmarin kärkien korkeusero y eri leukojen aukeamilla x .

x (mm)	y (mm)
985 (maksimi avautuma)	14,84
800	2,03
600	1,54
400	0,03
200	2,40
0	2,06
-200	8,86
-400	25,91
Leuat kiinni	7,05
Keskiarvo	7,19



Kuva 25. Kahmarin leukojen eri asennot

3.8 Akselitapit ja holkit

3.8.1 Akseli- ja holkkimateriaali

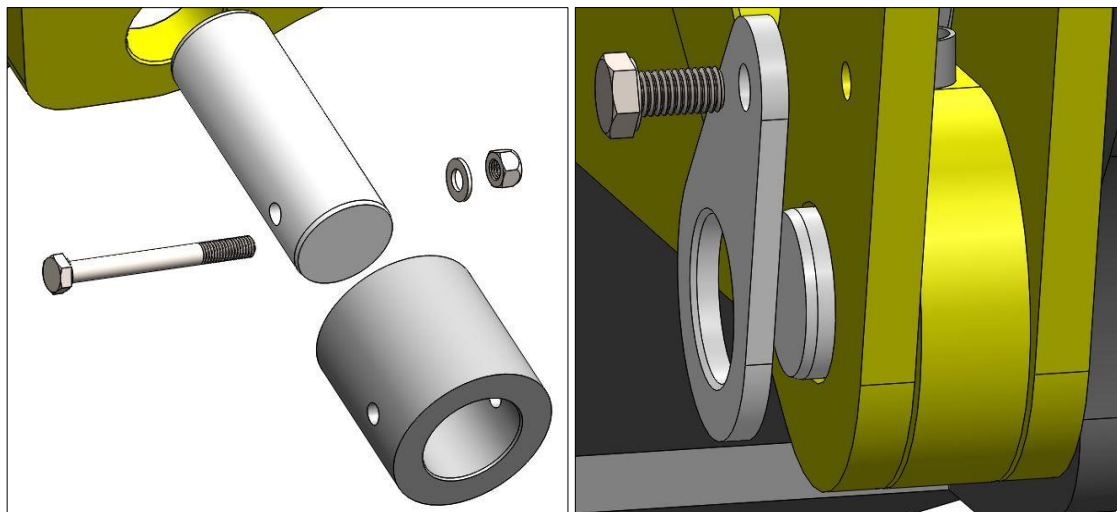
Koska akselitapit ja holkit tilattiin ulkopuoliselta toimittajalta, ei niiden osalta kyetty tekemään tarkempaa materiaalitarkastelua. 350 MPa materiaalia käsiteltiin työssä S355 teräksenä ja lujempaa 650 MPa materiaalia 42CrMo4-nuorrutusteräksenä. Valmistavalle taholle annettiin kohtuulliset vapaudet materiaalien suhteen saatavuudesta riippuen. Valmistettavilta akselitapeilta ja holkeilta vaadittiin kuitenkin seuraavat materiaaliin liittyvät ominaisuudet:

- Holkkien myötölujuus $\geq 350 \text{ MPa}$
- $\varnothing 30 \text{ mm}$ akselitappien myötölujuus $\geq 650 \text{ MPa}$, pinnankovuus $\geq 300 \text{ HB}$ ja pinnankarheus $R_a \leq 1,6 \mu\text{m}$
- $\varnothing 40 \text{ mm}$ saranatappien myötölujuus $\geq 350 \text{ MPa}$, pinnankovuus $\geq 300 \text{ HB}$ ja pinnankarheus $R_a \leq 1,6 \mu\text{m}$

Akselitappien pinnankovuuden vaatimuksena käytettiin laakeroinnin vastapinnan ohjearvoja. Pinnankarheuden lähtökohtana käytettiin Teknillinen piirtäminen kirjan taulukon 8.5 yleisesti käytettyjä arvoja (Hasari & Salonen 2012, 169), jossa rasvavoitelulle on annettu pinnankarheuden arvot $1,6 \dots 3,2 \mu\text{m}$. R_a $3,2 \mu\text{m}$ pinnankarheus olisi todennäköisesti ollut riittävän hyvä, mutta R_a $1,6 \mu\text{m}$ todettiin vielä realistiseksi arvoksi sorvattaessa. Akselien ja holkkien leikkaus- ja vetojännitykset laskettiin etukäteen karkeasti, mutta syvällisempi lujuustarkastelu tehtiin kokonaan SolidWorksilla.

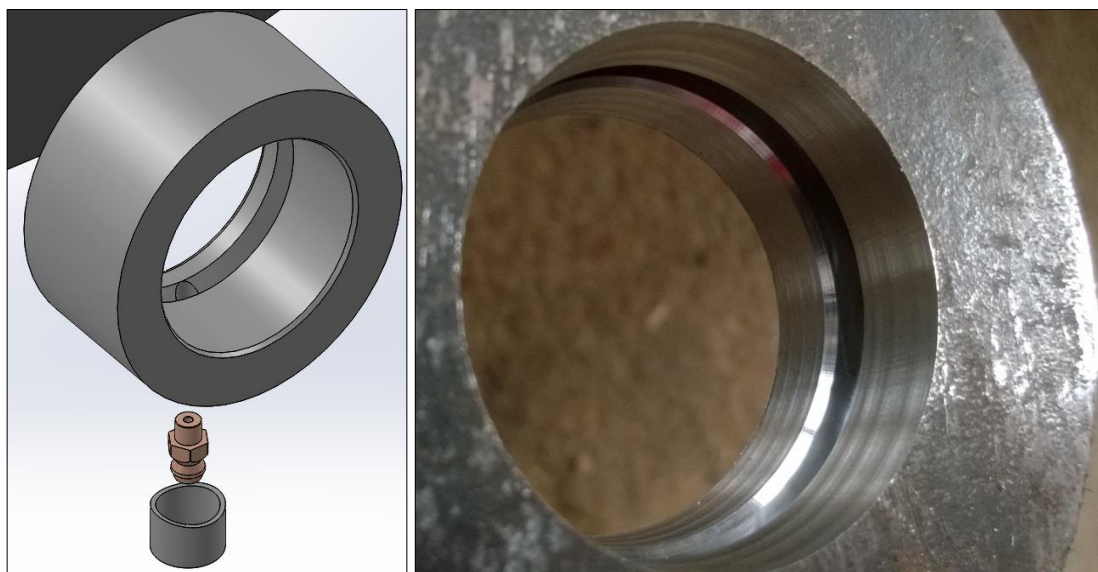
3.8.2 Akselien lukitus ja voitelu-urat

Rungon ja leuat yhdistävät $\varnothing 40$ mm saranatappit lukitaan M8-ruuvilla ja mutterilla (Kuva 26). Koska lukitusmenetelmä vaatii reiän poraamisen saranatappiin, haluttiin saranatap-pien myötölujuus ja kovuus pitää kohtuullisissa rajoissa. 350 MPa myötölujuuden sijasta saranatappit olisi toisaalta voitu valmistaa hieman lujemmasta aineesta, mutta saatavuuden takia pysyttiin silti ≥ 350 MPa akselimateriaalissa. $\varnothing 30$ mm akselitappit lukitaan niihin hitsattujen päätylaippojen avulla (Kuva 27), koska ko. kohdissa ei ole varsinaista holkkiosaa mihin lukitusruuvia voitaisiin asentaa.



Kuvat 26. ja 27. $\varnothing 40$ mm saranatap-pien lukitus M8-pultilla, sekä $\varnothing 30$ mm akselitappien lukitus päätylaippojen avulla

Laakerillisiin holkkeihin/laakeripesiin koneistettiin voitelu-urat sekä kiertet M6-rasvanipoille (Kuva 28). Voitelu-urat on suunnittelussa mallinnettu ja piirretty V-muotoisina, mutta työstöteristä riippuen urien muoto ja koko voi käytännössä vaihdella. Koska rungon saranatappien liike on edestakaista, ja voiteluaineena toimii rasva, on saranaholkkien rasvanipat sijoitettu painepuolelle. Tarvittaessa rasvanippojen ympärille voidaan hitsata rasvanippaa suojaava suojus. Kuvassa 29 on jyrsitty reaktiotangon laakeripesä voitelu-uralla.



Kuvat 28. ja 29. Mallinnettu rungon saranaholkki/laakeripesä sekä koneistettu reaktiotangon reikä

3.8.3 Toleranssit ja sovitteet

Kaikkien liukulaakerin sisältävien holkkien sisäreikä on suunniteltu koneistettavaksi yleisesti suositeltuun toleranssiin H7. Kuten liukulaakereita koskevassa otsikossa todettiin, H7 toleranssin laakeripesään puristetun liukulaakerin sisäreiän toleranssiksi tulee H9.

Koneenelimet ja mekanismit kirjan taulukon 7.3 (Blom ym. 2006, 191), Teknillinen piirtäminen kirjan taulukon 10.5 (Hasari & Salonen 2012, 207) ja Tekniset Piirustukset: Konetekniikka kirjan kuvan 12.7 (Heinonen & Maaranen 2013, 104) sovitetyyppejä vertailemalla päädyttiin erittäin runsasvälyksiseen sovitteeseen. Tilaajan kanssa käyty-

jen keskustelujen perusteella runsaasta välyksestä ei olisi kahmarissa haittaa, mutta liian ahdas sovite olisi toisaalta erittäin ongelmallinen.

Holkkien ja akselien toleransseja pohdittaessa piti myös huomioida että sama runsas välyksinen akselitappi tullaan kiinnittämään tiukasti lukitusruuvilliseen holkkiin, ja haarakkana toimivaan kiinnikelevyn vapaareikään, minkä takia toleranssiasema tulee vaihtumaan ääripäästä toiseen ääripäähän. Toisaalta tilaajan vaatimuksena oli, että pakotusovitteet eivät ikinä saa muuttua ahdistusovitteiksi mitkä vaatisivat kutistamista tai laajentamista, vaan kahmari täytyy pystyä kokoonpanemaan korkeintaan vasaroimalla.

”Öljyvoideltuihin laakereihin suositellaan välykseksi 1,5 – 2,5 ‰ laakerin sisähalkaisijasta. Rasvavoitelussa tulee välyksen olla kaksi kertaa suurempi. Edestakaisessa liikkeessä käytetään mahdollisimman pientä välystä (0,5 – 1 ‰). Korkeissa lämpötiloissa välyksen tulee olla normaalia suurempi.” (Johnson Metall Ab Oy [www-sivut](http://www.sivut) 2015.)

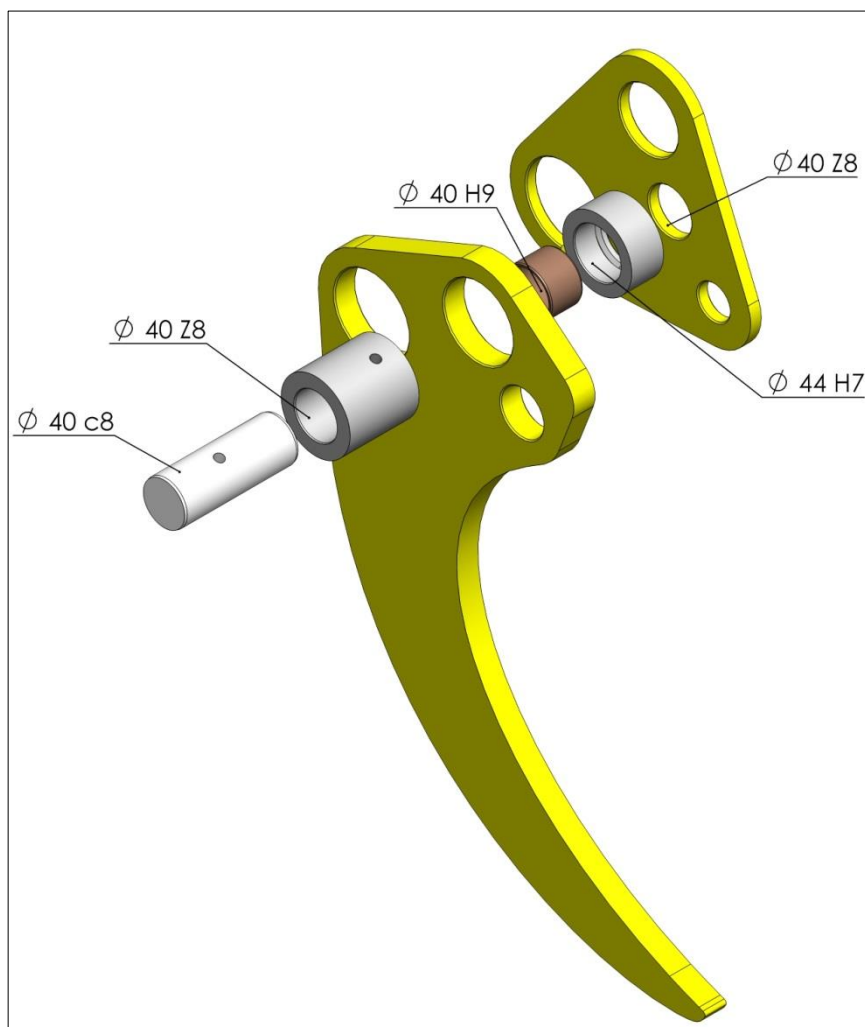
Koneenelimet ja mekanismit kirjassa (Blom ym. 2006, 190) suositellaan rasvavoidelta-valle laakerille 2 – 3-kertaista välystä öljyvoideltuun verrattuna. Koska kahmarin laakerit ovat rasvavoideltuja, mutta samalla liike on edestakaista, päädyttiin n. 3 – 4 ‰ välykseen.

Toleransseja ja sovitteita mietittäessä oli selvää, ettei kyseisiin toleransseihin pääseminen välttämättä täysin onnistu. Toleranssit on käyty koneistavien tahojen kanssa läpi, ja vaikka niiden suuntaan pyrittiin, ei absoluuttista tarkkuutta vaadittu.

Suunnitellut toleranssit akseleissa ja holkeissa ovat seuraavanlaisia:

- Kaikkien liukulaakerillisten holkkien/laakeripesien sisäreiän toleranssina H7
- $\varnothing 30$ mm sekä $\varnothing 40$ mm akselitappien toleranssina c8
- $\varnothing 30$ mm vapaareikien/pakotusovitereikien toleranssina ZA7
- $\varnothing 40$ mm vapaareikien/pakotusovitereikien toleranssina Z8

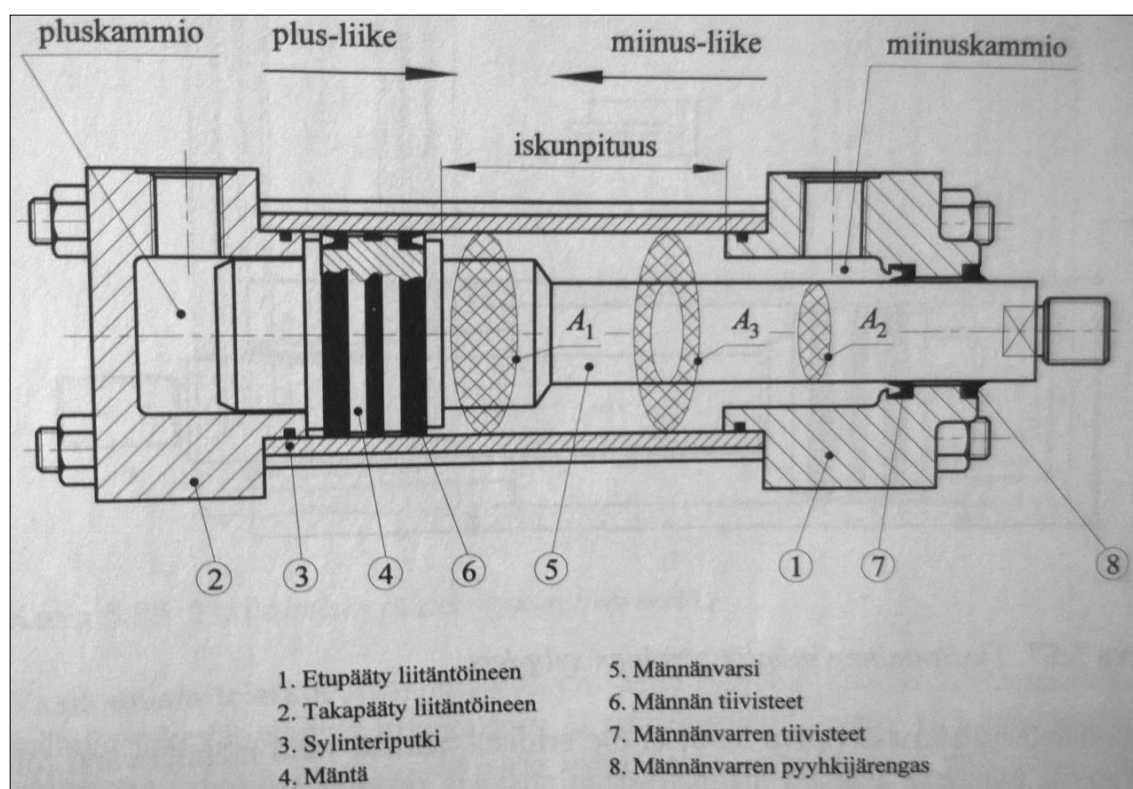
Esimerkiksi voidaan ottaa $\varnothing 40$ mm saranatappin sovite. Laakeripesän sisäreiän toleroitu mitta on $\varnothing 44 \text{ H7 } \begin{smallmatrix} +0,025 \\ 0 \end{smallmatrix}$. Laakeripesään puristetaan 4030 $\varnothing 40$ mm liukulaakeri, jolloin liukulaakerin sisäreiän halkaisijaksi tulee $\varnothing 40 \text{ H9 } \begin{smallmatrix} +0,062 \\ 0 \end{smallmatrix}$. Liukulaakeriin sovitetaan runsasvälyksinen $\varnothing 40 \text{ c8 } \begin{smallmatrix} -0,120 \\ -0,159 \end{smallmatrix}$ sarana-akselitappi, jolloin sovitteella saadaan vähintään 0,120 mm tai vastaavasti maksimissaan 0,221 mm välys. H9/c8 sovitteen keskiarvoiseksi välykseksi saadaan siten 0,1705 mm. Koska kyseinen $\varnothing 40 \text{ c8 } \begin{smallmatrix} -0,120 \\ -0,159 \end{smallmatrix}$ saranatappi täytyi kuitenkin saada tiukasti kiinni lukitusruuvilliseen holkkiin, sekä haarukan aikaansaamaan kiinnikelevyn vapaareikään, valittiin ko. reikien toleransseiksi suunnittelussa $\varnothing 40 \text{ Z8 } \begin{smallmatrix} -0,112 \\ -0,151 \end{smallmatrix}$. Z8/c8 sovitteen ääriarvot ovat siten $-0,031$ mm tai 0,047 mm ja keskiarvona 0,008 mm. Esimerkki on havainnollistettu kuvassa 30.



Kuva 30. Saranatappin sovite

3.9 Hydraulisyylinteri

”Sylinterit muuntavat hydraulisen tehon mekaaniseksi, suoraviivaiseksi, edestakaiseksi liikkeeksi eli lineaariliikkeeksi. Teho saadaan sylinterin rakenteesta ja kiinnitystavasta riippuen joko männänvarresta tai sylinteriputkesta. Kuvassa 31 esitetään hydraulisyylinterin perusrakenne ja sen toimintaan liittyvät määritteet.” (Kauranne, Kajaste & Vilenius 2008, 195.)



Kuva 31. Hydraulisyylinteri (Kauranne ym. 2008, 195)

”Sylinterit voidaan toimintaperiaatteensa mukaisesti luokitella kahteen pääryhmään: yksitoimisiin ja kaksitoimisiin. Yksitoimisia sylintereitä käytetään hydraulisesti vain toiseen liikesuuntaan, jolloin työliike saadaan vain tähän suuntaan. Paluuliike toteutetaan ulkoisella voimalla, joka voi aiheutua sylinterin omasta painosta, sylinteriä kuormittavasta voimasta tai sylinterin sisäisestä palautusjousesta, joka tosin rajoittaa sylinterin iskunpituutta ja voimaa. Kaksitoimisia sylintereitä taas käytetään hydraulisesti molempiin liikesuuntiin, jolloin myös työliike saadaan molempiin suuntiin.” (Kauranne ym. 2008, 195.)

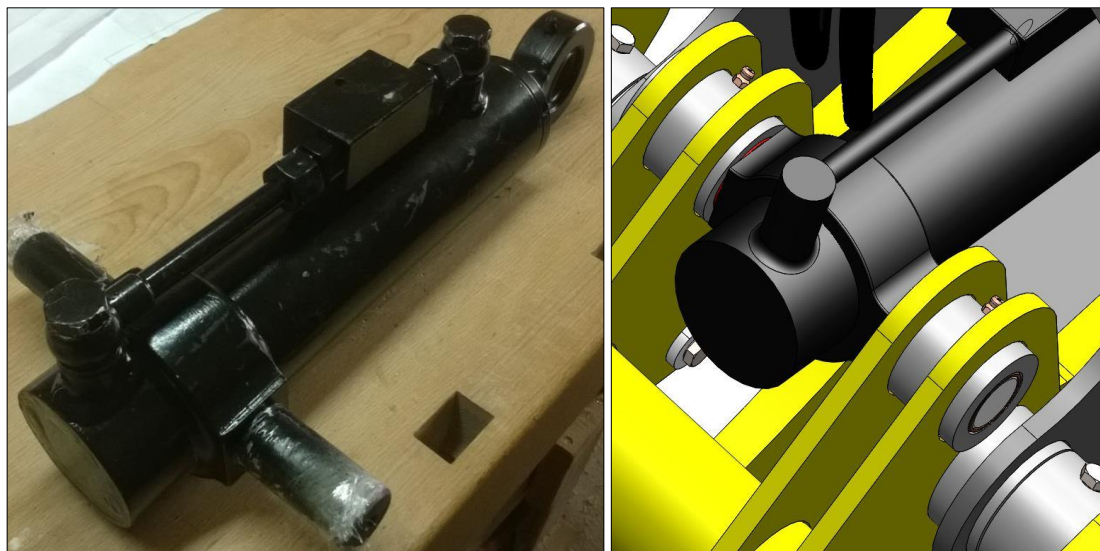
3.9.1 Hydraulisyylinterin valinta ja kiinnitystapa

Kahmarin hydraulisyylinterille ei ollut tilaajan puolelta tarkkoja vaatimuksia. Tarkoituksena oli asentaa kahmariin niin tehokas hydraulisyylinteri kuin kahmarin leveyden mitta-vaatimuksien puitteissa oli mahdollista. Sylinteriltä vaadittu asennusmitta ja iskunpituus mitattiin kahmarin SolidWorks-mallista.

Sylinteriä mitoittaessa tuli eteen suunnittelun lähtökohdista ja mekanismista johtuva ongelma. Koska kahmarin suunnittelu oli aloitettu tilaajan kahmarille asettamista kahmarin fyysiseen kokoon liittyvistä vaatimuksista, ei sopivan asennusmitan omaavaa hydraulisyylinteriä löytynyt suoraan varastotuotteena. Lisäksi 220 mm iskunpituus yhdistettynä 330 mm asennusmittaan vaati sylinterin kiinnitystavan vaihtamista. Yleisesti kahmarien ja puutavarakourien sylinterin molemmissa päissä on laakeriholkki, mutta koska suunniteltu kahmari on kooltaan pienempi, ei kyseistä kiinnitystapaa voitu käyttää.

Kahden laakeriholkin sylinteri olisi vaatinut suunnitellun kahmarin rakenteen muuttamista suuremmaksi jotta asennustilaa olisi saatu lisää. Mallinnetun kahmarin rakennetta ei kuitenkaan haluttu muuttaa, eikä tilaaja halunnut kahmarista fyysisesti suurempaa, joten hydraulisyylinterin kiinnitystavaksi valittiin kauluskiinnityksellinen hydraulisyylinteri (Kuva 32). Kaulus hitsataan sylinteriputkeen ja siinä on kiinni kaksi kiinnitysniveltappia. Koska kauluksen etäisyyttä sylinterin päädyn suhteen voidaan muuttaa valmistusvaiheessa, saadaan kyseisen sylinterikiinnityksen avulla asennusmitta riittävästi lyhyemmäksi.

Kyseisestä kiinnitystavasta syntyy samalla kuitenkin suunnitellun kahmarin suurin ongelma-kohta. Koska sylinterin peräpään akselitappi ei ole irrotettavissa, ei hydraulisyylinteriä pystytä kovinkaan helposti vaihtamaan kokoonpanon jälkeen (Kuva 33). Vaihtoehtona on jättää kauluksen laakeriholkit osittain hitsaamatta, jolloin holkit ja laakerit pystytään vetämään ulos ja tarpeen vaatiessa vaihtamaan. Ratkaisu ei kuitenkaan poista sitä tosiasiaa, että jos kahmaria valmistettaisiin myyntituotteeksi, pitäisi kahmarin fyysistä kokoa suurentaa sen verran että hydraulisyylinterin kiinnitystavan voisi muuttaa.

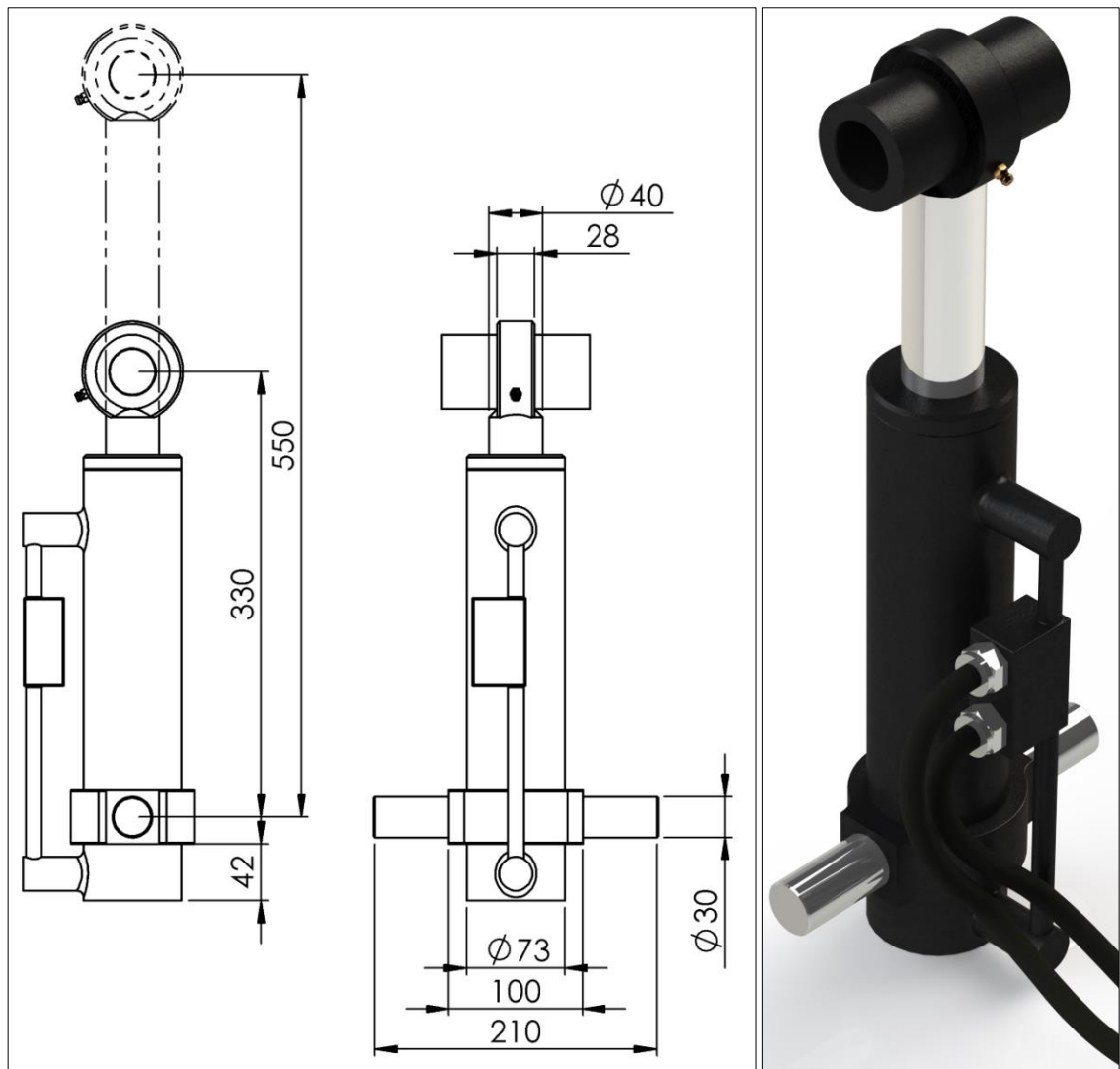


Kuvat 32. ja 33. Kauluskiinnityksellinen hydraulisyylinteri ja kiinnityksen ongelmakohta

Hydraulisyylinteri tilattiin ulkopuoliselta valmistajalta piirustuksien perusteella. Toimitajalle annettiin vapaus päättää varren pään kiinnitystapa joko pallonivelöitynä tai laakeriholkilla. Laakeriholkki sallii vapaan pyörimisliikkeen kiinnitys akselin ympäri. Pallonivelöity pää sallii vapaan pyörimisliikkeen kiinnitys akselin ympäri sekä $\pm 5...8^\circ$ sivupoikkeaman. Vaatimuksena oli mittojen lisäksi vähintään 25 MPa (250 bar) paineenkesto.

Toimitettu sylinteri on kokomerkinnältään 63/40–220 eli sylinterin männän halkaisija on 63 mm, varren halkaisija on 40 mm, asennusmitta 330 mm ja iskunpituus 220 mm (Kuva 34). Sylinteri on varustettu lukkoventtiilillä. Lukkoventtiili toimii varmistusventtiilinä päästäen virtauksen sylinteriin ja estäen takaisinvirtauksen siihen saakka, kunnes ohjauspainetta saadaan piirin vapauttamiseksi (Salhydro Oy www-sivut 2015). Toimitetusta sylinteristä mallinnettiin 1:1 3D-malli kahmarin kokoonpanoa varten (Kuva 35).

Sylinteri toimitettiin pallonivelöidyllä päällä (Kuva 36). Pallonivelen lenkki on kuitenkin kapea suhteessa työntöpään akselitapin pituuteen, minkä takia pallonivel poistetaan ja korvataan pidemmällä $\varnothing 55$ mm laakeriholkilla (Kuva 37). Pidempi laakeriholkki mahdollistaa suuremman laakeri pinta-alan sekä vahvistaa rakennetta.



Kuvat 34. ja 35. Sylinterin tekniset mitat sekä 1:1 mallinnettu hydraulisylinteri

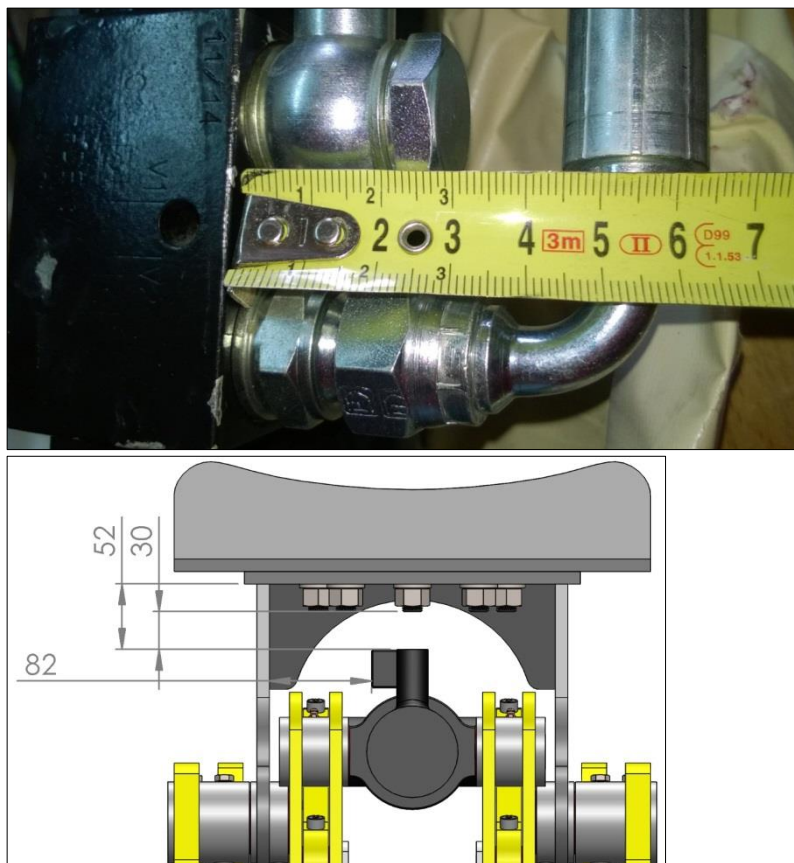


Kuvat 36. ja 37. Pallonivelöity ja laakeriholkkillinen sylinterin varren pää

3.9.2 Hydraulikkaletkut

“Hydraulijärjestelmissä käytettävät letkut jaetaan sallitun käyttöpainetason perusteella matalapaineletkuihin, keskipaineletkuihin ja korkeapaineletkuihin. Materiaaliltaan letkut ovat tavallisesti synteettistä kumia, joko nitriliä tai neopreenia, mutta myös termoplastisia materiaaleja, kuten polyamidia ja polyesteriä, käytetään. Hydraulijärjestelmissä harvinaisempia letkumateriaaleja taas ovat teflon ja metalli, joita käytetään lähinnä vain erikoisolissa.” (Kauranne ym. 2008, 416.)

Kahmarin sylinteri yhdistetään kaivinkoneen hydraulijärjestelmään Hydrosandin Kappaflex 2K 38,5 MPa (5585 psi) hydraulikkaletkuilla. Letkujen sisähalkaisija on 10 mm, ulkohalkaisija 16 mm ja letkujen seinämäpaksuus 3 mm. Hydraulikkaletkut liitetään hydraulisylinterin lukkoventtiiliin banjoliittimellä ja 90 ° käyrällä. Liittimet vaativat n. 6,5 – 7 cm tilan (Kuva 38). Kahmarin rungon sisäpuolella tilaa on noin 8 cm (Kuva 39). Tarvittaessa lukkoventtiiliä voidaan kiertää, joten ongelmia ei pitäisi syntyä. Kaivinkoneen hydraulijärjestelmään lisättiin suuntaventtiili kahmarin liittämistä varten.



Kuvat 38. ja 39. Sylinterin letkuliittimet ja suunniteltu tila

3.9.3 Hydraulisylinterin mitoitus

Hydraulisylinterin mitoituksessa käytettiin hyödyksi kaivinkoneen hydraulijärjestelmän tietoja, eli tilavuusvirtaa $q_v = 60 \text{ l/min (dm}^3/\text{min)}$, ja järjestelmän korkeinta painetta $p = 250 \text{ MPa (250 bar)}$. Laskuissa sylinteri oletettiin vuodottomaksi ($\eta_v = 1$).

$$\left[\begin{array}{l} \text{Pa (Pascal)} = \text{N/m}^2 \mid 1 \text{ MPa} = 10^6 \text{ Pa} \mid 1 \text{ bar} = 10^5 \text{ Pa} \\ 1 \text{ l/min} = \frac{1}{60000} \text{ m}^3/\text{s} \mid \text{N} = \text{kg} \times \text{m/s}^2 \end{array} \right]$$

Sylinterin plus-liikkeen työntövoima F_+ [N] saadaan laskettua kaavasta

$$(9) \quad F_+ = p_e \times A_{\text{tulo}}, \text{ jossa}$$

$$p_e = \text{paine [Pa]}$$

$$A_{\text{tulo}} = \text{tulopuolen männän pinta-ala [m}^2\text{]}$$

$$F_+ = p_e \times A_{\text{tulo}} = p_e \times \frac{\pi \times d^2}{4}$$

$$F_+ = 25 \times 10^6 \text{ Pa} \times \frac{\pi \times (63 \times 10^{-3} \text{ m})^2}{4} = 77931,113 \text{ N} \approx 78 \text{ kN}$$

Sylinterin miinus-liikkeen voima F_- [N] saadaan vastaavasti laskettua kaavasta

$$(10) \quad F_- = p_e \times (A_{\text{tulo}} - A_{\text{lähtö}}), \text{ jossa}$$

$$p_e = \text{paine [Pa]}$$

$$A_{\text{tulo}} = \text{tulopuolen männän pinta-ala [m}^2\text{]}$$

$$A_{\text{lähtö}} = \text{lähtöpuolen männän pinta-ala [m}^2\text{]}$$

$$F_- = p_e \times (A_{\text{tulo}} - A_{\text{lähtö}}) = p_e \times \left(\frac{\pi \times (d_1)^2}{4} - \frac{\pi \times (d_2)^2}{4} \right)$$

$$F_- = 25 \times 10^6 \text{ Pa} \times \left(\frac{\pi \times (63 \times 10^{-3} \text{ m})^2}{4} - \frac{\pi \times (40 \times 10^{-3} \text{ m})^2}{4} \right) = 46515,206 \text{ N} \approx 46,5 \text{ kN}$$

Sylinterin plus-liikkeen liikenopeus v_+ saadaan laskettua seuraavasti

$$(11) \quad v_+ = \frac{q_{v, \text{tulo}} \times \eta_v}{A_{\text{tulo}}}, \text{ jossa}$$

$$q_{v, \text{tulo}} = \text{sylinterille tuotu tilavuusvirta [m}^3\text{/s]}$$

$$A_{\text{tulo}} = \text{tulopuolen männän pinta-ala [m}^2\text{]}$$

$$\eta_v = \text{volumetrinen hyötysuhde}$$

$$v_+ = \frac{\left(\frac{60}{60000} \right) \frac{\text{m}^3}{\text{s}} \times 1}{\left(\frac{\pi \times (63 \times 10^{-3} \text{ m})^2}{4} \right)} = 0,3208 \approx 0,32 \text{ m/s}$$

Sylinterin miinus-liikkeen liikenopeus v_- saadaan vastaavasti

$$(12) \quad v_- = \frac{q_{v, \text{tulo}} \times \eta_v}{A_{\text{lähtö}}}, \text{ jossa}$$

$$q_{v, \text{tulo}} = \text{sylinterille tuotu tilavuusvirta} \left[\text{m}^3/\text{s} \right]$$

$$A_{\text{lähtö}} = \text{lähtöpuolen männän pinta-ala} \left[\text{m}^2 \right]$$

$$\eta_v = \text{volumetrinen hyötysuhde}$$

$$v_- = \frac{\left(\frac{60}{60000} \right) \frac{\text{m}^3}{\text{s}} \times 1}{\left(\frac{\pi \times (63 \times 10^{-3} \text{ m})^2}{4} - \frac{\pi \times (40 \times 10^{-3} \text{ m})^2}{4} \right)} = 0,5375 \approx 0,54 \text{ m/s}$$

Sylinterin iskunpituuteen käytetty aika t saadaan kaavasta

$$(13) \quad t = \frac{s \times A_{\text{tulo}}}{q_{v, \text{tulo}} \times \eta_v}, \text{ jossa}$$

$$q_{v, \text{tulo}} = \text{sylinterille tuotu tilavuusvirta} \left[\text{m}^3/\text{s} \right]$$

$$A_{\text{lähtö}} = \text{lähtöpuolen männän pinta-ala} \left[\text{m}^2 \right]$$

$$\eta_v = \text{volumetrinen hyötysuhde}$$

$$s = \text{iskunpituus} \left[\text{m} \right]$$

$$t = \frac{220 \times 10^{-3} \text{ m} \times \left(\frac{\pi \times (63 \times 10^{-3} \text{ m})^2}{4} \right)}{\left(\frac{60}{60000} \right) \frac{\text{m}^3}{\text{s}} \times 1} = 0,6858 \approx 0,69 \text{ s}$$

”Jos sylinteriin kohdistuu aksiaalisia ja radiaalisia voimia, kun männänvarsi on ulkoasennossa, on syytä tarkistaa sylinterin nurjahdusvaara. Varsinkin, jos männänvarsi on ohut ja iskunpituus pitkä, nurjahdusvaara on suuri jo pienillä voimilla. Sylinterin nurjahdusvoimaa on usein melko vaikea määrittellä, koska sylinteri koostuu kahdesta osasta, putkesta ja männänvarresta. Putken nurjahdusvoima on 4...10 kertaa suurempi kuin männänvarren. Tämän vuoksi ollaan varmalla puolella, jos lasketaan nurjahdusvoima männänvarrelle, jonka pituus on koko sylinterin pituus. Nurjahdusvarmuuden tulisi olla 4.” (Fonselius, Rinkinen & Vilenius 1997, 97.)

Sylinterin nurjahdusvoima saadaan Eulerin yhtälöstä

$$(14) \quad F = \frac{\pi^2 \times E \times I}{n \times (\beta \times l)^2} = \frac{\pi^3 \times E \times d^4}{n \times 64 \times (\beta \times l)^2}, \text{ jossa}$$

F = sylinterin nurjahdusvoima [N]

E = metallin kimmokerroin $\left[\text{N/m}^2 = \text{Pa} \right]$

I = hitausmomentti $\left(I = \frac{\pi \times d^4}{64} \right) \left[\text{m}^4 \right]$

d = männänvarren halkaisija [m]

l = kiinnitysten välinen etäisyys [m]

β = redusoidun pituuden kerroin ($S_k = \beta \times l$)

S_k = nurjahduspituus [m]

n = varmuusluku

Koska sylinteri on valmistettu muualla, eikä tarkasta varren materiaalista ole tietoa, oletetaan että metallin kimmokerroin $E = 210 \times 10^9 \text{ Pa}$. Kiinnitysten välinen etäisyys $l = 550 \text{ mm}$. Redusoitu nurjahduspituus palauttaa asennustapauksen vastaamaan nurjahdavan sauvan perustapausta. Työn tapauksessa redusoidun pituuden kerroin $\beta = 1$, kun molemmat päät on nivelellä kiinnitetty (ns. perustapaus tai tapaus 2).

$$F = \frac{\pi^3 \times 210 \times 10^9 \text{ Pa} \times (40 \times 10^{-3} \text{ m})^4}{4 \times 64 \times (1 \times 550 \times 10^{-3} \text{ m})^2} = 215250,19 \text{ N} \approx 215 \text{ kN} > 78 \text{ kN}$$

Nurjahdustilanne tarkistettiin myös Hydraulikka 3 Suunnittelu kirjan nurjahdusdiagrammista (Mäkinen 1981, 29).

3.10 Hymas S40-sovitteen kiinnitys

Kahmarin kiinnitys kaivinkoneeseen tapahtuu 2.2.1 otsikossa mainitun Hymas S40-sovitteen avulla (Kuva 7). Koska tilaajan kaivinkonetta ei ole varustettu kauhan pyörittäjällä, haluttiin sovitteesta irrotettava ja 45 asteen välein asemoitava. Sovitteen kiinnitys kahmarin katto-osaan toteutetaan ruuviliitoksena.

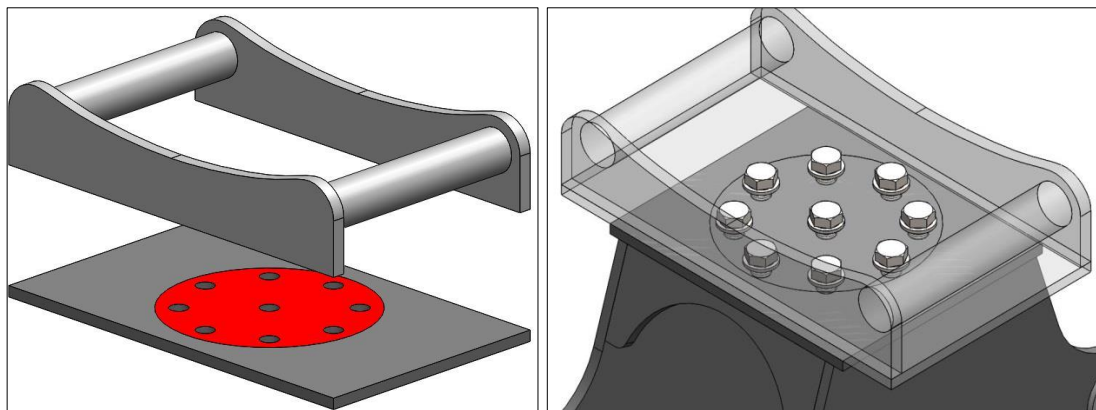
”Ruuviliitoksen osat ovat:

- Liitososat (edullisimmin 2 kpl), joissa on yhteenpuristamiseen sopivat liitospinnat ja reiät ruuveja varten, reiänkannat tarvittaessa tasattuja tai upotettuja (vaapaareikiä, takimmaisiet voivat olla kierreikiä).
- Ruuvit ja niiden kierrepäihin kiristettävät mutterit.
- Tarvittaessa aluslaatat reiänkantojen päällä.
- Tarvittaessa lisävarmistus aukikiertymistä vastaan (mutteriin tai ruuviin sisältyvä tai erillinen lukituselin tai kierreliimaus).”

(Blom ym. 2006, 39.)

Koska sovite haluttiin asemoida 45 ° välein, päädyttiin ratkaisuun jossa Hymas S40-sovitteelle polttoleikattiin pohjapala (Kuva 40) mikä kiinnitetään ympyrämaisella ruuviliitoksella kahmarin rungon katto-osaan (Kuva 41). 45 asteen takia ruuvien lukumääräksi valittiin yhdeksän. Liitoksen normaalivoimana käytettiin kaivinkoneen kaivuvoimaa 2920 daN (29,2 kN \approx 30 kN). Käytännössä Volvo EC35 kaivinkone ei kykene nostamaan 3000 kg massaa, mutta ruuviliitos mitoitettiin ns. varman päälle.

Koska tarkkoja voimia oli vaikea arvioida, ja koska ruuviliitoksen täydellinen mitoitus on varsin monimutkaista, tehtiin ruuviliitokselle vain karkea mitoitus. Tarkempi kuormitusanalyysi suoritettiin SolidWorksin simuloinnilla.



Kuvat 40. ja 41. Hymas S40-sovitteen pohja sekä ruuvikiinnitys

3.10.1 Ruuviliitoksen karkea mitoitus

”Moniruuviseen ruuviliitokseen vaikuttavat kuormitukset on ositettava sen eri yksiruuviliitoksille. Liitosgeometrioiden ja kuormitustyyppien moninaisuuden vuoksi on osituskäytösten tarkkuus rajallinen, mutta yleensä riittävä. Likimääräiset oletukset tehdään turvalliseen suuntaan.” (Blom ym. 2006, 55.)

Karkeassa mitoituksessa oletettiin, että kuormitus jakautuu tasan yksiruuviliitoksille

$$(15) \quad F_N = \frac{N}{n}, \text{ jossa}$$

F_N = kunkin yksiruuviliitoksen normaalivoimakkuormitus (veto positiivista)

n = ruuvien lukumäärä

$$F_N = \frac{30000 \text{ N}}{9} = 3333,333... \approx 3300 \text{ N}$$

Jaon jälkeen hyödynnettiin Koneenelimet ja mekanismit kirjan sivun 91 (Blom ym. 2006, 91) yksiruuviliitoksen karkean mitoituksen ohjeistusta. Käytännön tilanteessa kahmarin ruuviliitokseen todennäköisesti syntyy normaalivoiman lisäksi myös momenttien ja leikkausvoimien kuormituksia. Karkean mitoituksen lähtökohtana käytettiin kuitenkin aiemmin mainittua normaalivoiman kuormitusta, jolloin kirjan taulukon avulla päädyttiin turvalliseen suuntaan valittuna M16-10.9-kuusioruuveihin.

M16 ISO-vakiokierteisen kuusioruuvien nimellismitat voidaan tarkistaa taulukoista tai laskea. M16-ruuvien nousu $P = 2 \text{ mm}$.

Nimellispinta-ala A_N saadaan laskettua seuraavasti

$$(16) \quad A_N = \frac{\pi \times d^2}{4}, \text{ jossa}$$

d = ruuvien nimellinen ulkohalkaisija [mm]

$$A_N = \frac{\pi \times (16 \text{ mm})^2}{4} = 201,06 \approx 201 \text{ mm}^2$$

Sydänpinta-ala A_3 kaavalla

$$(17) \quad A_3 = \frac{\pi \times d_3^2}{4}, \text{ jossa}$$

d_3 = sydänhalkaisija (kierteen pohjasta mitattu läpimitta) [mm]

$$A_3 = \frac{\pi \times (13,546 \text{ mm})^2}{4} = 144,116 \approx 144 \text{ mm}^2$$

Jännityspinta-ala A_s vastaavasti

$$(18) \quad A_s = \frac{\pi \times (d_2 + d_3)^2}{16}, \text{ jossa}$$

d_2 = kylkihalkaisija (engl. pitch diameter) [mm]

d_3 = sydänhalkaisija (kierteen pohjasta mitattu läpimitta) [mm]

Kylkihalkaisija d_2 saadaan vähentämällä ruuvien ulkohalkaisijasta D/d 1,299 mm.

$d_2 = 16 \text{ mm} - 1,299 \text{ mm} = 14,701 \text{ mm}$, jolloin

$$A_s = \frac{\pi \times (14,701 \text{ mm} + 13,546 \text{ mm})^2}{16} = 156,666 \approx 157 \text{ mm}^2$$

”Ruuvien vakiomateriaalit ovat seostamattomia tai niukasti seostettuja teräksiä. Hehku-
tetusta tangosta katkaistuun aihioon tyssätään ja valssataan kierre kylmänä. Lujat ruuvit
($R_m \geq 800 \text{ N/mm}^2$) nuorrutetaan.” (Blom ym. 2006, 44.)

Valittujen M16-ruuvien 10.9 lujuusluokan vetomurtolujuus R_m saadaan seuraavasti

$$(19) \quad R_m = \text{lujuusluokan kokonaisluku} \times 100 \frac{\text{N}}{\text{mm}^2}$$

$$R_m = 10 \times 100 \frac{\text{N}}{\text{mm}^2} = 1000 \text{ N/mm}^2$$

Vastaavasti vetomyötölujuus $R_{p0,2}$ saadaan

$$(20) \quad R_{p0,2} = \text{lujuusluokan desimaaliluku} \times R_m$$

$$R_{p0,2} = 0,9 \times 1000 \frac{\text{N}}{\text{mm}^2} = 900 \text{ N/mm}^2$$

M16-10.9-ruuvien vetomurto- ja myötövoimat saadaan kertomalla ruuvien lujuudet ruuvien jännityspinta-alalla A_s .

$$\text{Vetomurtovoima} = 1000 \frac{\text{N}}{\text{mm}^2} \times 157 \text{ mm}^2 = 157000 \text{ N} = 157 \text{ kN}$$

$$\text{Myötövoima} = 900 \frac{\text{N}}{\text{mm}^2} \times 157 \text{ mm}^2 = 141300 \text{ N} = 141,3 \text{ kN}$$

$$\text{Taattu myötövoima} = 830 \frac{\text{N}}{\text{mm}^2} \times 157 \text{ mm}^2 = 130310 \text{ N} = 130,3 \text{ kN}$$

Käytännössä 10.9 lujuusluokan vetomurtolujuudelle luvataan 1040 MPa arvo ja veto-myötölujuudelle 940 MPa. Nimellinen murtovenymä A5 on 9 %. Kahmariin suunnitellut ruuvit ovat lyhytvartisia (45 mm) ja täten täyskierteisiä. Osakierteisten M16-ruuvien pituudet alkavat vasta 65 millimetristä. Valitut M16-ruuvit ovat standardiltaan ISO 4017 tai DIN933.

”Mutterien vakiomateriaalit ovat seostamattomia tai niukasti seostettuja teräksiä. Hehkutetusta tangosta leikattu aihio tyssätään kuusiomuotoon ja reikä lävistetään kylmänä. Kierre lastutaan. M16-mutterit ja sitä suuremmat lujuusluokassa 8 sekä kaikki lujuusluokissa 10 ja 12 nuorrutetaan.” (Blom ym. 2006, 49.)

Ruuviliitoksen muttereiksi valitaan ruuveja vastaavan lujuusluokan mutterit, eli tässä tapauksessa lujuusluokka 10 (ISO 4032/DIN 934). Mutterin korkeus on vähintään $0,8 \times d$. Lisäksi ruuviliitokseen suunniteltiin käytettäväksi ISO 7089/DIN 125 aluslaattoja.

Koneenelimet ja mekanismit kirjan sivuilla 54 (Blom ym. 2006, 54) suositellaan vaativille (kitka)liitoksille seuraavia ehtoja:

$$(21) \quad \text{Ruuvijako } t = d_w + s, \text{ jossa}$$

d_w = ruuvin/mutterin kantopinnan ulkohalkaisija [mm]

s = ohuemman liitososan paksuus [mm]. Paksuuteen saa sisällyttää aluslaatan.

$$t = 22,5 \text{ mm} + (10 \text{ mm} + 3 \text{ mm}) = 35,5 \text{ mm}$$

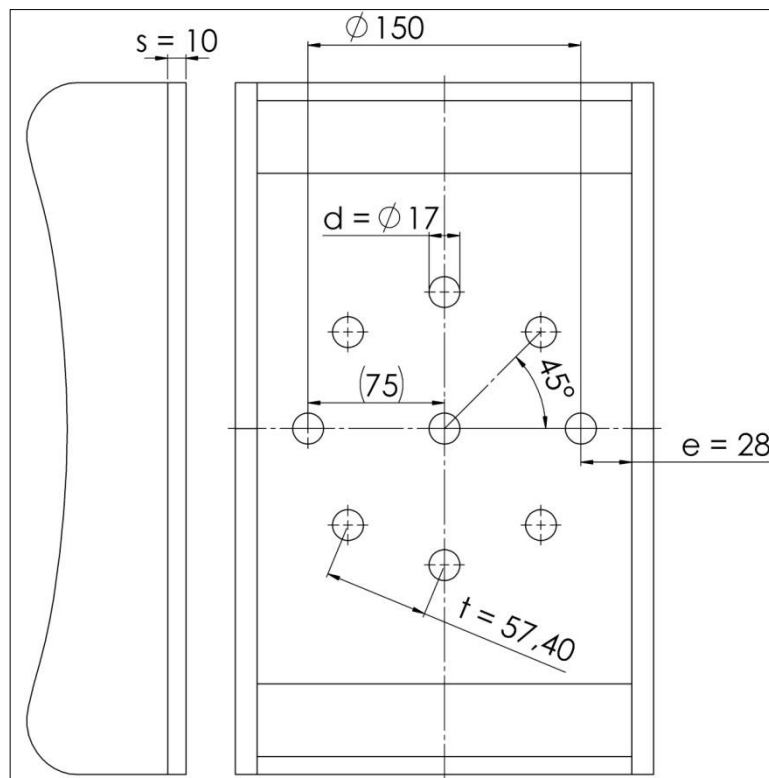
Toisaalta sivulla 55 suositellaan liitososien heikentymisen rajoittamiseksi, että ruuvijako $t \geq 3 \times d$ ja reunatäisyys $e \geq 1,5 \times d$. Tiiveyden varmistamiseksi taas suositellaan, että $t \leq 14 \times s$ ja $e \leq 6 \times s$ (Blom ym. 2006, 55). Kuvasta 42 nähdään suunnitellun kahmarin ruuviliitoksen mitat. Vapaareiät on koneistettu viistämättömiksi hienosarjan (H12) rei'iksi, eli $d = 17 \text{ mm}$.

$$3 \times 16 \text{ mm} = 48 \text{ mm} \leq 57,4 \text{ mm}$$

$$1,5 \times 16 \text{ mm} = 24 \text{ mm} \leq 28 \text{ mm}$$

$$14 \times (10 \text{ mm} + 3 \text{ mm}) = 182 \text{ mm} \geq 57,4 \text{ mm}$$

$$6 \times (10 \text{ mm} + 3 \text{ mm}) = 78 \text{ mm} \geq 28 \text{ mm}$$



Kuva 42. Hymas S40 ja ruuviliitoksen mitat

”Oikean kiristysmomentin avulla saadaan ruuviliitokseen syntymään esijännitys, joka on vetojännityksen ja kiertojännityksen summa. Esijännityksen pitää olla alempi kuin ruuvin myötöraja. Oikein kiristetty ruuviliitos lukittuu kitkan avulla, joka säilyy ruuvin jousivoiman ansiosta.” (Würth Elektronik, ruuviliitoksen suunnittelu, 18.)

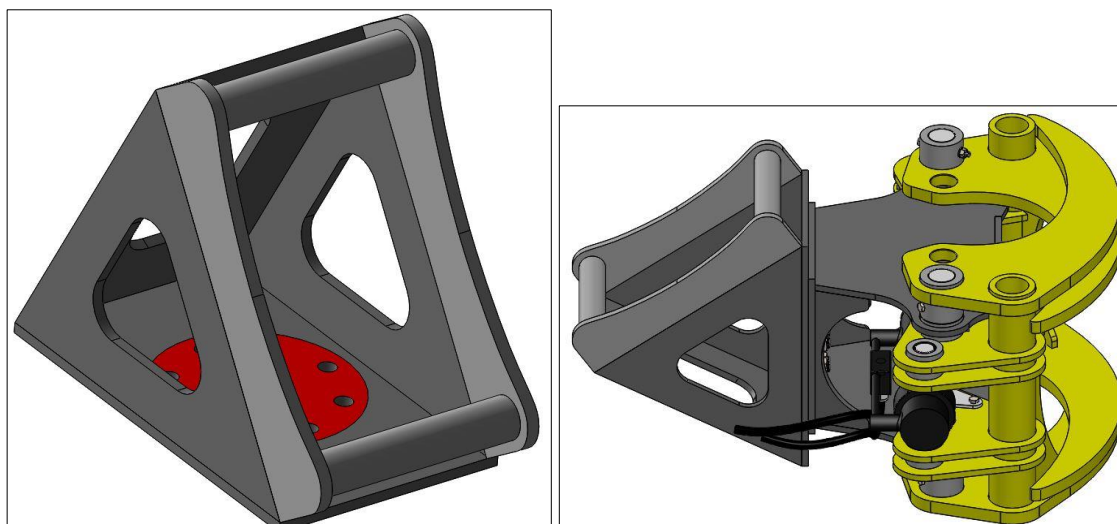
Kiristysmomenttina suunnittelussa käytettiin 280 Nm ja liitoksen kitkakertoimenä 0,2. Koska ruuviliitos kiristetään todennäköisesti aina ilman momenttiavainta käsituntumalla, ei kiristysmomenttiin tai siitä syntyvään esijännitykseen liittyviä kaavoja koettu tarpeelliseksi sisällyttää työhön. Kiristysmomentti kuitenkin laskettiin ja tarkistettiin simulointia varten.

3.10.2 Kiinnityksen variaatio

Koska kaivinkoneen puomi on alkujaan suunniteltu kaivutyöhön, syntyy ongelma jossa kahmaria ei saa lähietäisyydellä vaakatasoon (ts. 90 ° verrattuna riipukkeelliseen kiinnitykseen). Kaivinkoneen työkalu (esim. kauha) kääntyy tarkoituksella enemmän kaivinkoneen ohjaamoon päin kuin ulospäin, mikä aiheuttaa ongelman tilanteessa missä kahmarilla halutaan vaakatasossa tarttua esimerkiksi pystyssä olevaan puun runkoon.

Kahmariin suunniteltiin tilaajan toivomuksesta vaihtoehtoinen sovite millä pyrittiin ratkaisemaan kyseisen ongelma (Kuvat 43 ja 44). Volvo EC-35 kaivinkoneen kauhan kulman muutos mitattiin eri asennoissa digitaalisella kulmamitalla, jonka jälkeen sovite mallinnettiin niin, että se mahdollistaa kahmarin vaakatasossa käyttämisen silloinkin kun kaivinkoneen puomi on lähellä kaivinkonetta. Sovitteen avulla kahmaria voidaan käyttää vaakatasossa sekä sisä- että ulospäin suunnattuna.

Kulman korjaava sovite on tarkoitettu käytettäväksi ainoastaan ilman pyörittäjää. Sovite kiinnitetään kahmariin tavallisen sovitteen tavoin ruuviliitoksella, joten sovitetta voidaan vaihtaa tilanteen mukaan. Nähtäväksi jää kuinka paljon sovitteen muutos lisää ruuviliitoksen rasituksia.



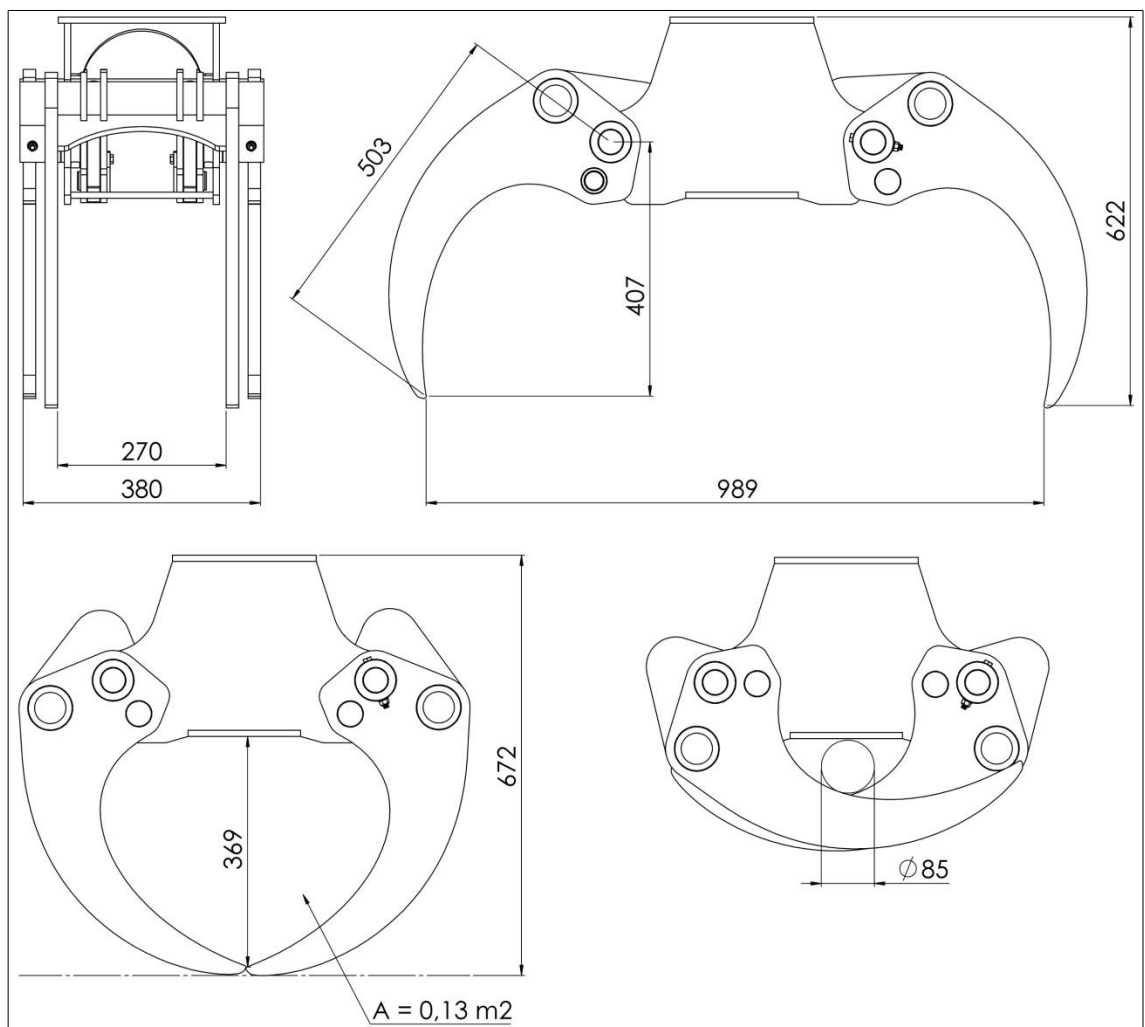
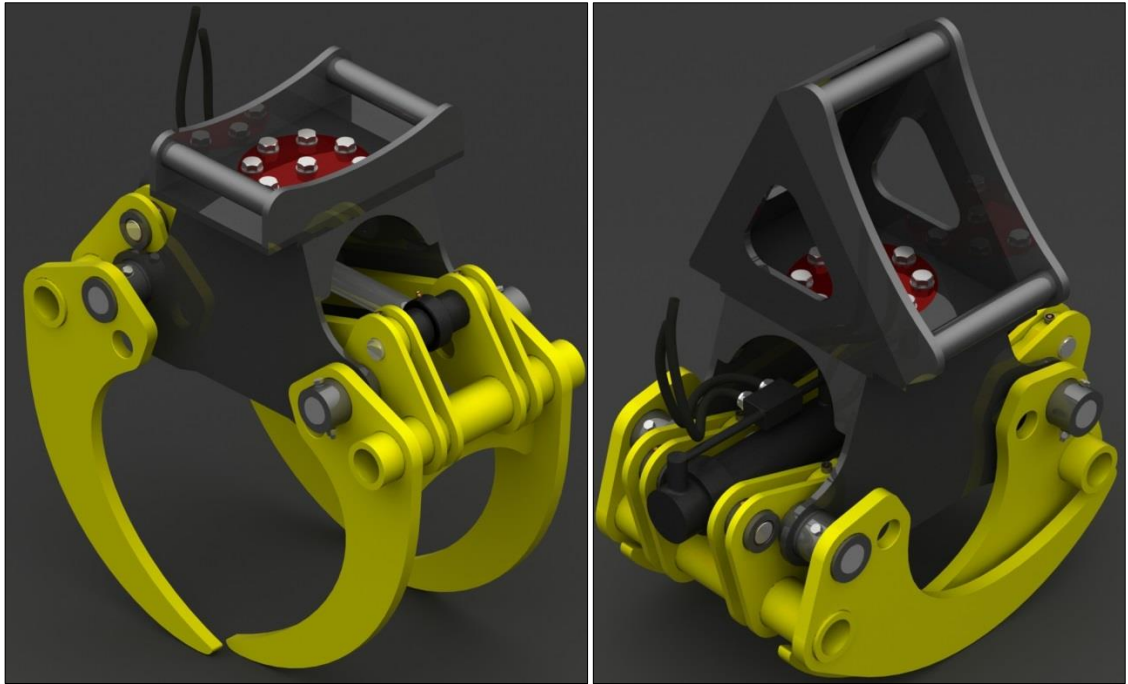
Kuvat 43. ja 44. Hymas S40-sovitteen variaatio

3.11 Kahmarin malli ja tekniset tiedot

Taulukkoon 9 on listattu kahmarin laskennallinen kokonaismassa sekä eri osakokoonpanojen laskennalliset massat. Arvot ovat SolidWorksin Mass Properties-työkalun antamia arvoja, ja massa-arvoista puuttuvat hitsien tuoma lisäpaino. Kuvissa 45 ja 46 on mallinnettu kahmari. Kuvassa 47 on valmiin kahmarin tekniset mitat. Suuremmat mallinnuskuvat löytyvät liitteistä 4.1 – 4.6.

Taulukko 9. Kahmarin ja osakokoonpanojen massat m

Nimike	m (kg)
Runko (sis. Hymas S40-sovitteen)	41,52
Leveä leuka (sis. sylinterin)	48,64
Kapea leuka	34,35
Reaktiotanko (2 kpl)	7,80
Kahmarin kokonaismassa (sis. akselitapit ym.)	138,80



Kuvat 45., 46. ja 47. Kahmarin mallinnuskuvat sekä tekniset mitat

4 KAHMARIN SIMULOINTI

4.1 Yleistä simuloinnista

FEA-/FEM-simuloinnissa (engl. finite element analysis/method), tai toiselta nimeltään elementtijärjestelmässä, monimutkainen kappale tai malli jaetaan yksinkertaisempiin osiin/elementteihin. Eri elementit liittyvät toisiinsa pisteissä, joita sanotaan solmuiksi. Elementit ja solmut yhdessä muodostavat elementtiverkon (engl. mesh).

Lyhyesti käsiteltynä jännitys kuvaa ulkoisesti kappaleeseen vaikuttavien voimien aiheuttamia sisäisiä rasituksia. Koska voima on vektori, jolla on suuruus ja suunta, on jännitykselläkin todellisuudessa suunta. Teoriassa 3D-kappaleella voi olla kolme eri normaali-jännityksen suuntaa, sekä kolme leikkausjännityksen suuntaa, jolloin kappaleella voi teoriassa olla kuusi erilaista jännitysarvoa. Näiden kuuden eri jännitysarvon yhdistämiseen käytetään useimmiten Richard Edlerin von Mises yhtälöä (Mutalik 2013).

Suurimmat ongelmat FEM-laskennassa ovat virheelliset rakenteen kiinnitykset eli reunaehdot (engl. fixtures ja contacts), sekä väärät kuormitusten määrittelyt (engl. external loads). Myös elementtiverkolla on suuri merkitys oikeiden tulosten aikaansaamisessa. Kaikki tämän työn simuloinnit tehtiin käyttäen taulukossa 10 listattuja parametreja. Taulukosta nähdään mm. muotoihin perustuva verkotus, sekä suurin ja pienin elementin sallittu koko. Käytännössä kahmarin suurille pinnoille sallittiin suuremmat, muotoon pohjautuvat elementit, ja kriittisemmissä kohdissa elementtiverkosta tehtiin tiheämpi (Kuva 48). Kahmarin todellisesta mallista tehtiin yksinkertaistempi versio simulointia varten, josta mm. rasvanipat, voitelu-urat ja hydraulisylinteri poistettiin. Kaikissa simuloinneissa oletettiin, että hydraulisylinteri kestää sille asetetut vaatimukset.

Taulukko 10. Elementtiverkon parametrit

Mesh type	Mixed Mesh
Mesher Used	Curvature based mesh
Jacobian points	29 points
Jacobian check for shell	On
Mesh Control	Defined
Max Element Size	50 mm
Min Element Size	10 mm
Mesh quality	High



Kuva 48. Kahmarin elementtiverkko (engl. mesh)

4.2 Materiaalit, myötölujuudet ja varmuuskertoimet

Ennen simuloinnin aloittamista jokaiselle kahmarin komponentille asetettiin Solid-Worksissa materiaali. Kaikille kahmarissa käytettäville materiaaleille tehtiin muokatut materiaaliprofiilit (Taulukko 11), koska valmiiden profiilien arvot eivät täysin täsmänneet haluttuihin arvoihin.

Simuloinnissa käytettyjen kappaleiden myötölujuudet olivat seuraavat:

- Hymas S40-sovitteen myötölujuudeksi arvioitiin 355 MPa.
- Kaikkien Durostat 400 teräslevystä valmistettujen levyosien myötölujuutena käytettiin 1000 MPa.
- Holkeille käytettiin 355 MPa materiaaliprofiilia.

- $\varnothing 30$ mm akselitappien myötölujuudeksi asetettiin 650 MPa ja $\varnothing 40$ mm saranatappien myötölujuudeksi 355 MPa.
- Hydraulisynterin varren pään lenkille käytettiin 355 MPa materiaaliprofiilia.
- Hydraulisynterin putki asetettiin simuloinneissa jäykäksi objektiksi (engl. rigid).

Taulukko 11. Durostat 400 teräksen SolidWorks materiaaliprofiili

Property	Value	Units
Elastic Modulus	210000	N/mm ²
Poisson's Ratio	0.28	N/A
Shear Modulus	79000	N/mm ²
Mass Density	7800	kg/m ³
Tensile Strength	1250	N/mm ²
Compressive Strength		N/mm ²
Yield Strength	1000	N/mm ²
Thermal Expansion Coefficient	1.3e-005	/K
Thermal Conductivity	50	W/(m·K)
Specific Heat	460	J/(kg·K)
Material Damping Ratio		N/A

Teoriassa materiaalien myötölujuudet voitaisiin jakaa esimerkiksi varmuuskertoimella 1,5, jolloin Durostat 400 teräsosille sallittaisiin vain 667 MPa rasitus. Kahmarin eri osien myötölujuuksille ei kuitenkaan laskettu etukäteen varmuuskertoimia, vaan simuloinnit analysoitiin tapauskohtaisesti niin, että jokaisesta simuloinnista tehtiin varmuustarkastelutuloste (engl. factor of safety plot) minkä perusteella rakenteen varmuuksia voitiin tarkastella yksityiskohtaisemmin. Kahmarin vähemmän kriittisille kohdille sallittiin tilanteesta riippuen usein pienemmät varmuuskertoimet.

Ruuviliitoksen simuloinneissa varmuuskertoimena käytettiin arvoa 1,3. Ruuviliitoksen kestävyys on kuitenkin lähes suoraan verrannollinen liitoksen esijännitysvoimaan, joten ruuviliitoksen tuloksia pidettiin lähinnä suuntaa antavina. Prototyypin todellinen koestus vasta kertoo liitoksen todellisen kestävyuden.

4.3 Kahmarin simulointi

Työn kahmaria simuloitiin suunnittelun aikana monilla eri tavoilla. Seuraavissa otsikoissa tarkastellaan kolmea erilaista simulointitilannetta, joiden toivotaan kuvaavan riittävän tarkasti kahmarin todellista käyttöä. Kaikki kolme simulointitapausta olivat luonteeltaan staattisia simulointeja (engl. static). **Suuren kuvamäärän ja kuvakokojen takia kaikki simulointitulokset siirrettiin opinnäytetyön liitteiksi 5.1 – 7.9.**

Kaikissa kahmarin simuloinneissa liukulaakerit korvattiin laakeriliitoksella (engl. bearing connector). Ruuviliitoksessa (engl. bolt connector) käytetyt tärkeimmät parametrit nähdään kuvassa 49.

Strength Data

- ☒ Known Tensile Stress Area
- ☐ Calculated Tensile Stress Area
- 157 mm²
- Bolt Strength
- 1040 N/mm² (MPa)
- Safety Factor
- 1.3

Pre-load

- SI
- ☐ Axial
- ☒ Torque
- 280 N.m
- 0.2

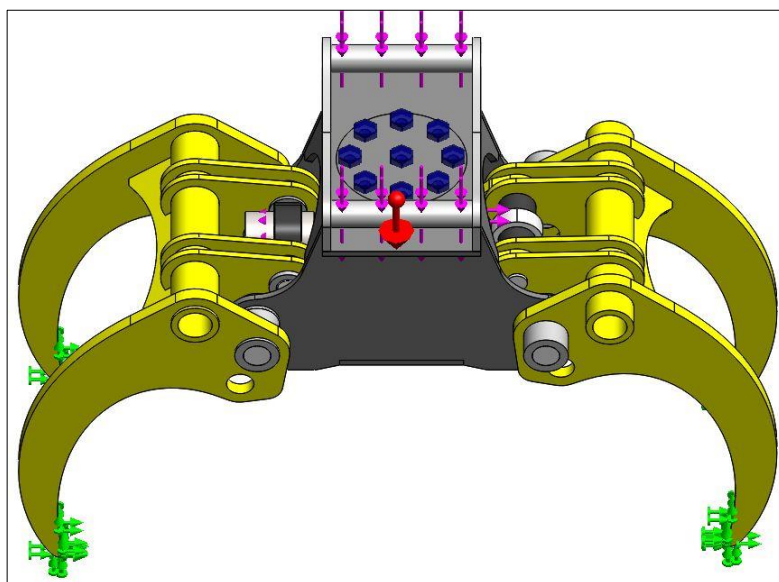
Kuva 49. Ruuviliitoksessa käytetyt ruuvien parametrit

FEM-simuloinnin lisäksi kahmarille tehtiin yksinkertainen liikeanalyysi (engl. motion study), jonka avulla voitiin varmentaa mekanismin ja hydraulisylinterin yhteensopivuus. Liikeanalyysissä kahmariin asetettiin virtuaalinen sylinteri, minkä voimat sekä iskunpituus vastasivat todellisia sylinterin arvoja.

4.3.1 Tilanne 1 (-Y)

Ensimmäisessä raportoidussa simulointitilanteessa kahmarin leuat ovat auki suurimman avautuman verran (Kuva 50). Ajatuksena oli, että simulointi kuvaa tilannetta missä kahmari painetaan kaivinkoneella kiinteään materiaaliin kaivinkoneen puomin sylinterin maksimivoimalla.

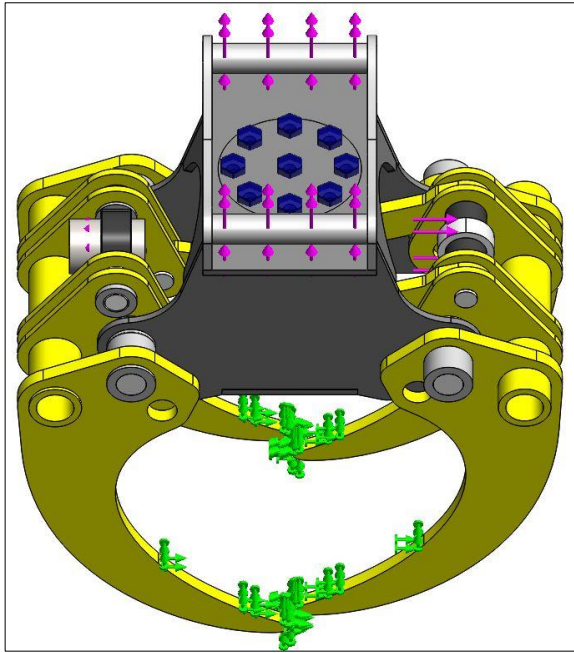
Koska puomisynterin männän halkaisijaa ei saatu selville, käytettiin kahmari alaspäin painavana voimana kahmarin oman sylinterin korkeinta 78 kN voimaa. 78 kN alaspäin painavan voiman (-Y) lisäksi kahmari rasittaa hydraulisynterin työntövoima joka on asetettu kohdistuvaksi kumpaankin leukapariin 78 kN voimalla (+X ja -X). Tilanteen 1 simulointikuvat löytyvät liitteistä 5.1 – 5.9.



Kuva 50. Kahmarin simulointitilanteen 1 kiinnitykset ja voimat

4.3.2 Tilanne 2 (+Y)

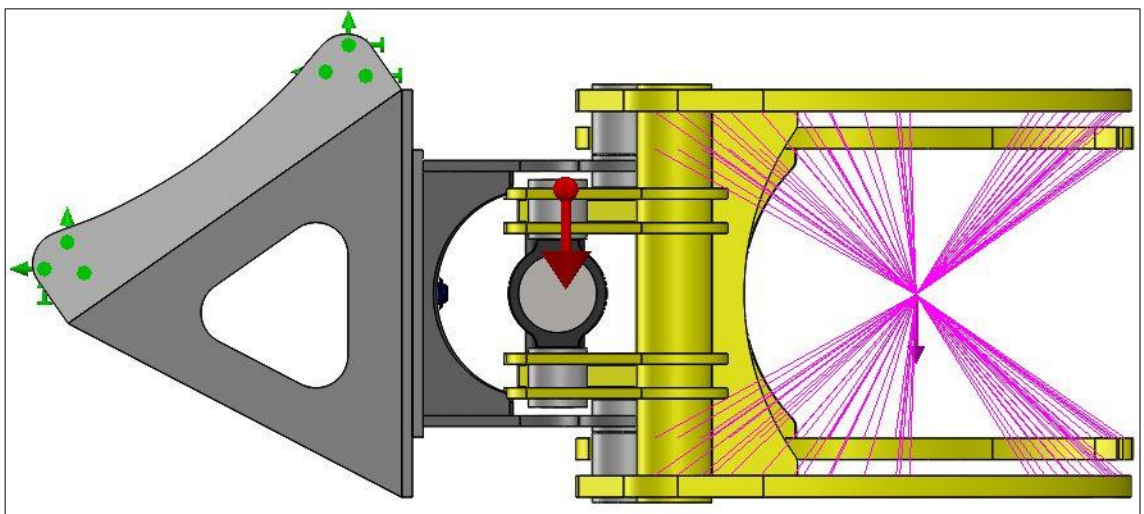
Tapauksessa 2 simuloitiin tilannetta, jossa kahmarilla nostetaan ja puristetaan objektia samanaikaisesti. Simuloinnissa kahmarin sylinteri työntää kumpaakin leukaparia ulospäin voimalla 78 kN (+X ja -X) samalla kun kaivinkone nostaa sovitteen pyörötangoista ylöspäin (+Y) voimalla 30 kN (Kuva 51). Käytännössä työssä käytetty kaivinkone ei ikinä pysty nostamaan 3000 kg massaa tavallisessa tilanteessa. Tilanteen 2 simulointikuvat löytyvät liitteistä 6.1 – 6.9.



Kuva 51. Kahmarin simulointitilanteen 2 kiinnitykset ja voimat

4.3.3 Tilanne 3 (-Z)

Kolmannessa simuloinnissa tavoitteena oli analysoida tilannetta, jossa kahmari on kiinnitetty kaivinkoneeseen vaakatason käytön mahdollistavalla sovitteella, ja sillä nostetaan vaakatasossa massaltaan 3000 kg objektiä. Tilanteessa 3 kahmari on kiinnitetty pysyvästi sovitteen pyörötangoista ja kahmarin leukojen keskipisteeseen on asetettu suunnaltaan alaspäin oleva 30 kN (-Z) kaukokuormitus (engl. remote load). Tilanteen 3 simulointikuvat löytyvät liitteistä 7.1 – 7.9.

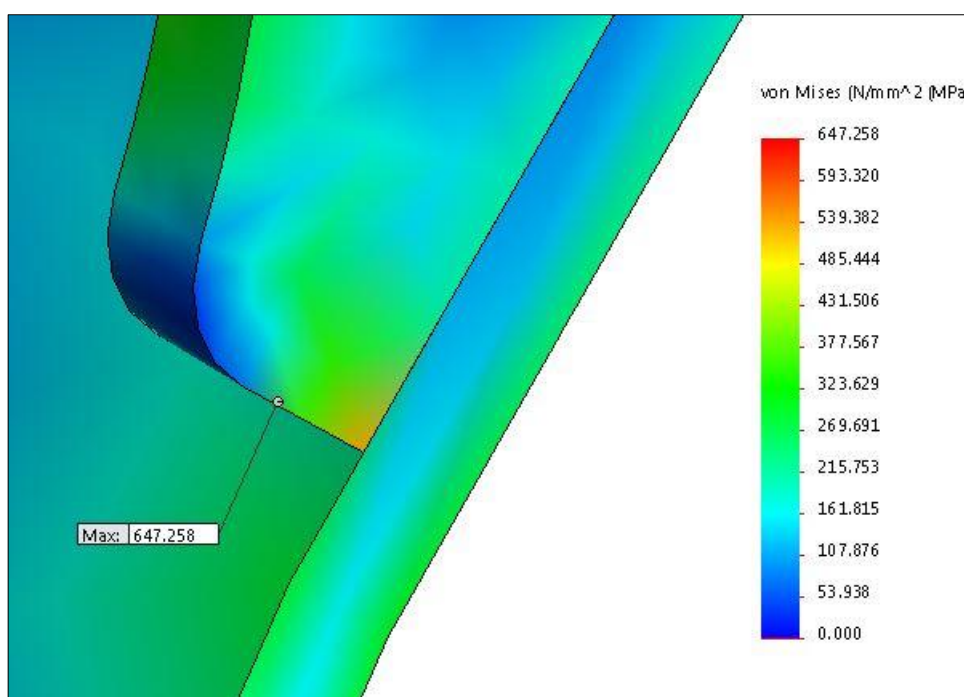


Kuva 52. Kahmarin simulointitilanteen 3 kiinnitykset ja voimat

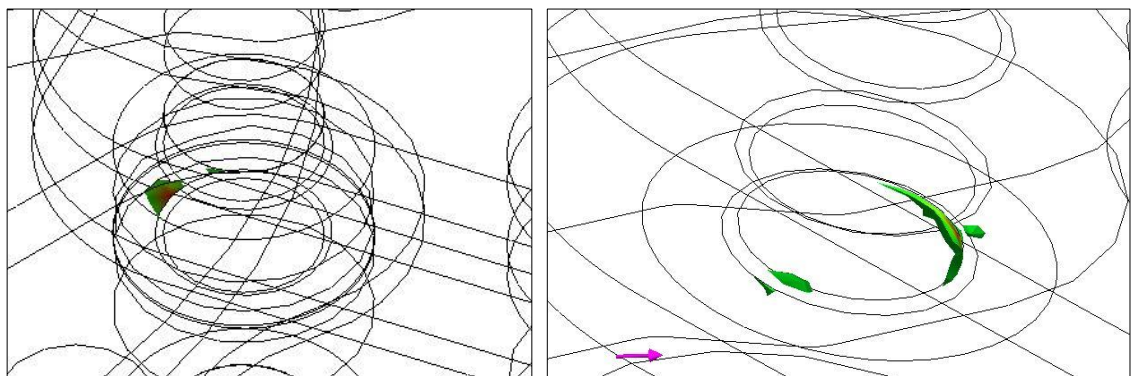
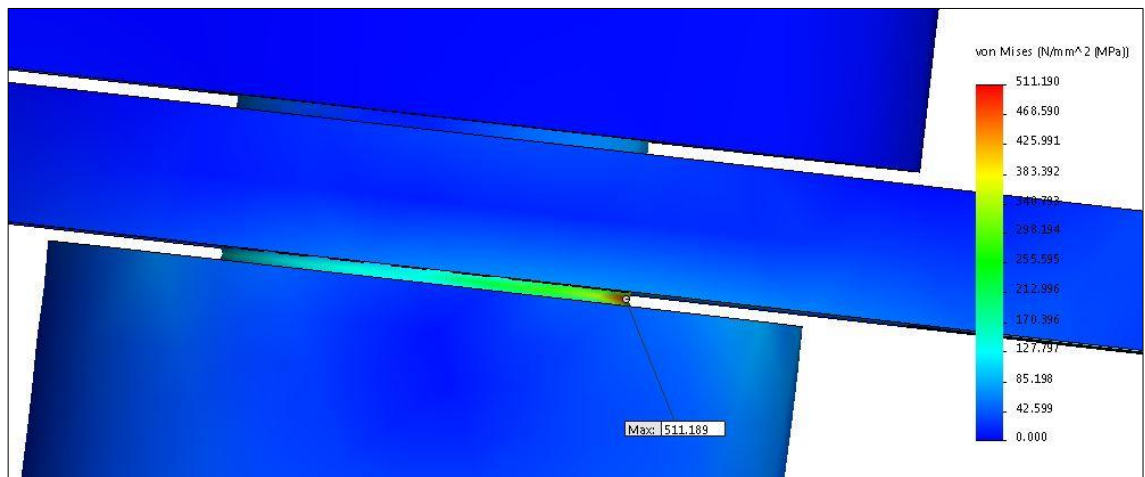
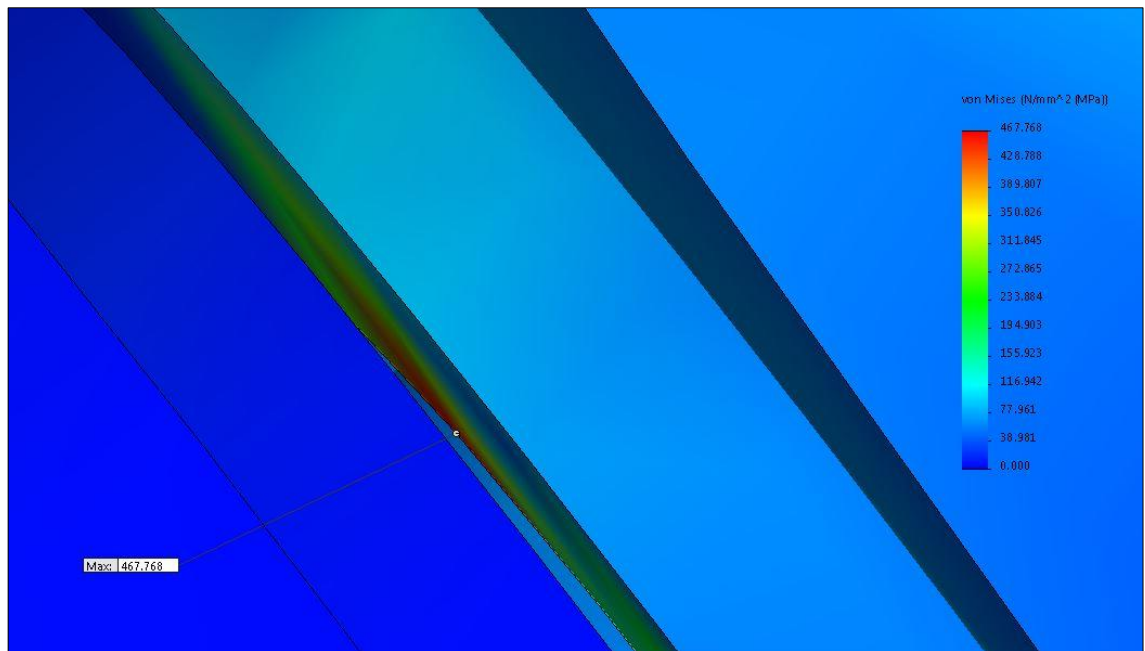
4.4 Simulointitulosten analysointi

Simulointituloksia analysoitaessa törmättiin usein tilanteeseen, jossa erittäin pienelle alueelle kohdistuu suuri rasitus (Kuvat 54 ja 55). Kyseessä oli aina jonkin kappaleen terävä reuna, usein joko holkin tai akselitappien. Tulosten analysoinnista tekee hankalan se, että kyseessä voi olla todellinen riskialtis kohta, mallinnuksellinen ongelma tai elementtiverkkoon liittyvä ongelma. Lisäksi pienikin leukojen siirtäminen muutti alueen sijaintia ja voimakkuutta erittäin radikaalisti. Koska alueet vaihtelivat suuresti eri simulointien välillä, ja koska Iso Clipping-työkalulla tarkastellessa (Kuvat 56 ja 57) alueet olivat niin pieniä jopa 240 MPa raja-arvolla, ei kahmarin konstruktiota päätetty muuttaa.

Toisaalta osa suuren rasituksen alueista oli sellaisissa kohdissa mihin kokoonpanovaiheessa tulee hitsisauma (Kuva 53). Kyseisten ongelmakohtien kohdalla päädytään ratkaisuun, jossa kahmarin kokoonpanijaa suositellaan hitsaamaan kohta suuremmalla ammitalla. On myös huomattava että tilanne, jossa kahmarilla nostetaan vaakatasossa yli 3000 kg objektia sylinterin samalla puristaessa maksimivoimalla, on erittäin epätodennäköinen. Vastaavasti kahmariin voi kohdistua väärinkäytöksen seurauksena suurempiakin voimia mitä on simuloinnissa oletettu. Vaakatason ruuviliitoksen simuloinnin kahden hälytysrajan ylittäneen ruuvin ei koettu aiheuttavan lisätoimia.



Kuva 53. Hitsattava kohta



Kuvat 54., 55., 56. ja 57. Kahmarin simulointitulosten analysointia

5 ESIVALMISTUS JA KOKOONPANO

”Standardin SFS-EN 1090-2 + A1 määritelmän mukaisesti esivalmistusta ovat kaikki terästuotteille tehtävät toimenpiteet, kun niistä valmistetaan kokoonpanoon asennus- ja liittämisvalmiita osia.” (SFS-EN 1090-2 + A1 2012.)

Alkuperäisestä toimintasuunnitelmasta poiketen kahmari kokoonpannaan vasta myöhempanä ajankohtana. Kahmarin osien esivalmistus oli kuitenkin edennyt kohtuullisen pitkälle, joten esivalmistus päätettiin sisällyttää opinnäytetyöhön lyhyesti.

Kaikki kahmarin levyosat NC-polttoleikattiin ulkopuolisen tahon toimesta kahmarin 3D-mallista otettujen DXF-piirustuksien perusteella. DXF-piirustuksia luodessa on syytä huomioida että suhde on 1:1, ja että piirustukset eivät sisällä ylimääräisiä piirrosviivoja. Itse polttovaiheessa pitää huomioida mahdolliset koneistusvarat, sekä leikkaamisprosessissa syntyvä railoleveys.

Tilaajan toivomuksesta kaikkien levyosien sisäreiät koneistettiin. Koneistamisen ensisijaisena ajatuksena oli helpottaa kahmarin kokoonpanoa ja hitsaamista, koska minkäänlaista kokoonpanojigiä ei ollut olemassa. Jos kyseessä olisi sarjatuotantoon siirtyvä tuote, olisi lähes itsestään selvää että kyseinen koneistusvaihe jätettäisiin lisäkustannuksien takia pois. Nähtäväksi myös jää kuinka paljon hitsaamisvaihe muuttaa mittatoleransseja. Kuvissa 58 ja 59 on polttoleikatut ja koneistetut kahmarin levyosat.

Kahmarin hitsausprosessista ei ole tarkempaa tietoa kuin se, että hitsaus tapahtuu MIG/MAG-menetelmällä. Hitsaamisvaiheeseen liittyvistä kysymysmerkeistä johtuen hitsien syvällisempi tarkastelu jätettiin työn ulkopuolelle. Kahmarin suunnittelussa kuitenkin huomioitiin hitsaamisvaihe sen verran, että jokainen hitsisauma mallinnettiin SolidWorksilla, ja jokaiseen hitsikohtaan varattiin suunnittelussa tilaa vähintään a5-pienahitsille.

Akselit ja holkit sorvattiin hankintana. Ruuvit, rasvanipat, laakerit ynnä muut pienet osat hankitaan tarvittaessa. Kahmari on lopuksi tarkoitus maalata matalapaineruiskulla. Liitteissä 2.1 – 2.6 on esimerkkinä muutamia valmistus- ja koneistuspiirustuksia, ja liit-

teissä 3.1 – 3.5 taas on kahmarin pääkoonpano- sekä osakoonpanokuvat. Mitoitetut valmistus- ja hitsauskoonpanokuvat on jätetty pois raportin liitteistä, mutta ne toimitetaan tilaajalle projektin puitteissa. Kahmarin esivalmistukseen liittyen tehtiin kaikkiaan 11 DXF-piirustusta, 16 valmistus- tai koneistuspiirusta ja 5 kokoonpanopiirustusta.



Kuvat 58. ja 59. Polttoleikatut ja koneistetut kahmarin levyosat

6 LOPPUSANAT

Opinnäytetyön tavoitteena oli suunnitella tilaajalle kaivinkoneen yleiskahmarin prototyyppi. Eri vaiheiden viivästymisistä johtuen kahmarin kokoonpano ei ehtinyt työn sisältöön. Tulevaisuudessa kokoonpantava prototyyppi toivottavasti kuitenkin kertoo, onko lähes tyhjältä suunniteltu kahmari käyttökelpoinen vai ei.

Omat motiivini työtä kohtaan olivat SolidWorksin syvällisemmässä opettelussa, sekä mallinnetun konstruktion muuttamisessa CAD-ympäristöstä todelliseksi fyysiseksi tuotteeksi. Tiesin työn sisältämistä haasteista ennen työn aloittamista, etenkin kahmarin mekanismin osalta. Arviolta noin 500 – 800 tuntia työllistänyt suunnittelutyö koostui suurimmaksi osaksi mallintamisesta ja simuloinnista. Loput ajasta voidaan jakaa tiedonhankintaan, esivalmistukseen liittyvien asioiden hoitamiseen ja tämän dokumentin laatimiseen.

Opinnäytetyön kirjallinen osuus pyrittiin kirjoittamaan mahdollisimman selkeälukuiseksi hyödyntäen tekstiä tukevia kuvia. Työn eri osa-alueiden laajuudesta johtuen syvällisempi teoria jätettiin tarkoituksella työn ulkopuolelle. Lisäksi kirjallista osuutta ei haluttu paisuttaa suhteettomasti, mistä johtuen osa simulointiin, mekanismiin, toleransseihin, valmistusmenetelmiin, lujuuslaskentaan ja mallintamiseen liittyvistä asioista jouduttiin kylmästi karsimaan pois. Kahmarin suunnittelutyö yhdisti kuitenkin tavoitteiden mukaisesti opintojen aikana opittuja asioita varsin laajalti.

LÄHTEET

AST Bearings LLC www-sivut. ASTT90 3020-laakerin tuotetiedot. Viitattu 11.4.2015.
<http://www.astbearings.com/>
http://www.astbearings.com/product.html?product=ASTT90_3020

AST Bearings LLC www-sivut. Liukulaakerin kuormitustapaukset kuva.
<http://www.astbearings.com/bushings-and-plain-bearings-load-capacity-and-service-life.html>

Blom S., Lahtinen P., Nuutio E., Pekkola K., Pyy S., Rautiainen H., Sampo A., Seppänen P., Suosara E. 2006. Koneenelimet ja mekanismit. 5.-6. painos. Helsinki: Edita Prima Oy.

D&E Trading Oy www-sivut. WB802-liukulaakerin tiedot ja kuva. Viitattu 11.4.2015.
<http://www.detrading.fi/fi>
<http://www.detrading.fi/fi/tuotteet/liukulaakerit/rullattu-Pronssi/WB802>
http://www.detrading.fi/files/produkter/WB802/pdf/GWB802_FIN.pdf
<http://www.detrading.se/files/produkter/WB802/bilder/WB802.jpg>

DryWall Cranes www-sivut. Kinshofer KM 634 puutavarakouran kuva.
<http://www.drywallcranes.com/crane-attachments.php>

Engcon Group www-sivut. Engcon EC05B kuva.
<http://engcon.com/international/en/engcon-international.html>
<http://engcon.com/international/en/engcon-international/products/excavators/tiltrotators/product.html?productName=EC05B>

Fonselius J., Rinkinen J., Vilenius M. 1997. Hydraulikka II. 2. painos. Helsinki: Oy Edita Ab.

Hasari H., Salonen P. 2012. Teknillinen piirtäminen. 1.–4. painos. Keuruu: Otavan Kirjapaino Oy.

Heinonen M., Maaranen K. 2013. Tekniset piirustukset: Konetekniikka. 1. painos. Helsinki: Sanoma Pro Oy.

Intermercato Grapples www-sivut. Engcon pyörittäjän ja puutavarakouran kuva.
<http://www.grapples.com.au/log-grapples-for-cranes.htm>

Johnson Metall Ab Oy www-sivut. Liukulaakerit. Viitattu 24.4.2015.
<http://www.johnson-metall.fi/etusivu/>
<http://www.johnson-metall.fi/liukulaakerit-2/>

Kauranne H., Kajaste J., Vilenius M. 2008. Hydraulitekniikka. 1. painos. WSOY Oppimateriaalit Oy.

Koivisto K., Laitinen E., Niinimäki M., Tiainen T., Tiilikka P., Tuomikoski J. 2010. Konetekniikan materiaalioppi. 12.–13. painos. Helsinki: Edita Prima Oy.

Koneviesti www-sivut. Kesla proG20-kahmarin ja riipukkeen kuva.

<http://www.koneviesti.fi/>

http://www.koneviesti.fi/lisamateriaali/fi_FI/kesla/

Machinery Park www-sivut. Lasco kahmarin kuva.

<http://de.machinerypark.com/>

<http://de.machinerypark.com/sonstige-ez-14-sortiergreifer-holzgreifer-neu-de-83367>

Mäkinen R. 1981. Hydraulikka 3 Suunnittelu. Keuruu: Kustannusosakeyhtiö Otava.

Rautaruukin teräkset, hitsaajan opas. Rautaruukki. 1998. Keuruu: Otava.

Roy Mutalik. SolidWorks Simulation: What is von Mises Stress? Design Point Solutions blogi. 2.1.2013. Viitattu 28.4.2015.

<http://blog.design-point.com/>

<http://blog.design-point.com/blog/2013/january/solidworks-simulation-what-is-von-mises-stress-part-1-of-2>

<http://blog.design-point.com/blog/2013/january/solidworks-simulation-what-is-von-mises-stress-part-2-of-2>

Salhydro Oy www-sivut. Viitattu 24.4.2015.

<http://www.salhydro.fi/>

SFS-EN 1090-2 + A1. Teräsrakenteiden esivalmistus, hitsaus ja testaus. 2012. Suomen standardisoimisliitto SFS Ry. Viitattu 20.4.2015.

<http://www.sfs.fi/>

http://www.sfs.fi/files/1479/SFSEN1090hitsaus_netti.pdf

Voestalpine Steel Division www-sivut. Durostat tuotetiedot. Viitattu 11.4.2015.

<http://www.voestalpine.com/stahl/en/Products/Brand-names/durostat-R>

http://www.voestalpine.com/division_stahl/content/download/4243/34276/file/durostat_E_15012014.pdf

http://www.voestalpine.com/division_stahl/content/download/4233/34296/file/voestalpine%20heavy%20plate_TTD_DUROSTAT_E_08012014.pdf

VolvoCE.com www-sivut. Volvo EC35:n kuva.

<http://www.volvoce.com/>

<http://www.volvoce.com/constructionequipment/asia/en-sg/products/excavators/compactexcavators/EC35/Pages/specifications.aspx>

VolvoCE.com www-sivut. Volvo Compact Excavators EC35 & EC45 Pro tuotetiedot. Viitattu 8.4.2015.

http://www.volvoce.com/SiteCollectionDocuments/VCE/Documents%20Global/compact%20excavators/brochureEC35-EC45Pro_2114321167_2005-07.pdf

Würth Elektronik Oy [www-sivut](http://www.wurthelektronik.fi/). Ruuviliitoksen suunnittelu. Viitattu 27.4.2015.
<http://www.wurthelektronik.fi/>
<http://www.wurthelektronik.fi/site/media/pdf/we/kuvasto/suunnitteluopas06.pdf>

LIITTEET

1.1 Volvo EC35 kaivinkoneen spesifikaatiot 1/2 (VolvoCE.com [www-sivut](http://www.wurthelektronik.fi/) 2015)

1.2 Volvo EC35 kaivinkoneen spesifikaatiot 2/2 (VolvoCE.com [www-sivut](http://www.wurthelektronik.fi/) 2015)

2.1 Leveän leuan saranatapin valmistuspiirustus

2.2 Rungon holkin/laakeripesän valmistuspiirustus

2.3 Rungon katon koneistuspiirustus

2.4 Leuan poskilevyn koneistuspiirustus

2.5 Rungon poskilevyn koneistuspiirustus

2.6 Reaktiotangon koneistuspiirustus

3.1 Kaivinkoneen yleiskahmari, pääkokoonpano (räjäytyskuva)

3.2 Runko, osakokoonpano (räjäytyskuva)

3.3 Leveä leuka, osakokoonpano (räjäytyskuva)

3.4 Kapea leuka, osakokoonpano (räjäytyskuva)

3.5 Reaktiotanko, osakokoonpano (räjäytyskuva)

4.1 Mallinnuskuva 1

4.2 Mallinnuskuva 2

4.3 Mallinnuskuva 3

4.4 Mallinnuskuva 4

4.5 Mallinnuskuva 5

4.6 Mallinnuskuva 6

5.1 SolidWorks Simulation – Tilanne 1 | Mesh/Fixtures/Forces (78 kN/78 kN/78 kN)

5.2 SolidWorks Simulation – Tilanne 1 | Stress – von Mises

5.3 SolidWorks Simulation – Tilanne 1 | Stress – 0-100 MPa von Mises

5.4 SolidWorks Simulation – Tilanne 1 | Strain - ESTRN

5.5 SolidWorks Simulation – Tilanne 1 | Displacement - URES

5.6 SolidWorks Simulation – Tilanne 1 | Factor of Safety – 0-10

5.7 SolidWorks Simulation – Tilanne 1 | Factor of Safety – RED ≤ 2

5.8 SolidWorks Simulation – Tilanne 1 | Design Insight

5.9 SolidWorks Simulation – Tilanne 1 | Bolt Check

6.1 SolidWorks Simulation – Tilanne 2 | Mesh/Fixtures/Forces (78 kN/78 kN/30 kN)

6.2 SolidWorks Simulation – Tilanne 2 | Stress – von Mises

6.3 SolidWorks Simulation – Tilanne 2 | Stress – 0-100 MPa von Mises

6.4 SolidWorks Simulation – Tilanne 2 | Strain - ESTRN

6.5 SolidWorks Simulation – Tilanne 2 | Displacement - URES

6.6 SolidWorks Simulation – Tilanne 2 | Factor of Safety – 0-10

6.7 SolidWorks Simulation – Tilanne 2 | Factor of Safety – $RED \leq 2$

6.8 SolidWorks Simulation – Tilanne 2 | Design Insight

6.9 SolidWorks Simulation – Tilanne 2 | Bolt Check

7.1 SolidWorks Simulation – Tilanne 3 | Mesh/Fixtures/Forces (30 kN Remote Load)

7.2 SolidWorks Simulation – Tilanne 3 | Stress –von Mises

7.3 SolidWorks Simulation – Tilanne 3 | Stress – 0-100 MPa von Mises

7.4 SolidWorks Simulation – Tilanne 3 | Strain - ESTRN

7.5 SolidWorks Simulation – Tilanne 3 | Displacement - URES

7.6 SolidWorks Simulation – Tilanne 3 | Factor of Safety – 0-10

7.7 SolidWorks Simulation – Tilanne 3 | Factor of Safety – $RED \leq 2$

7.8 SolidWorks Simulation – Tilanne 3 | Design Insight

7.9 SolidWorks Simulation – Tilanne 3 | Bolt Check

SPECIFICATIONS

Engine

Water-cooled Volvo 4-cylinder diesel engine.

Model	D2.2
Gross power, rated (ISO 9249)	27.1 kW (36.3 hp) at 2200 r/min
Power, installed (ISO 9249)	26 kW (34.9 hp) at 2200 r/min
Maximum torque (ISO 9249)	1140 Nm @ 1100 rpm ± 100rpm
Bore x stroke	88 mm x 90 mm

Electrical system

Rated voltage	12 V
Battery capacity	12 V - 74 Ah
Alternator rating	12 V - 55 A
Starter motor output	12 V - 2.3 kW

Hydraulic system

Closed-centre Load-Sensing hydraulic system providing total independence of each movement.

Control	power-assisted hydraulic controls
----------------	-----------------------------------

Variable displacement Load Sensing pump for all the equipment and travel circuits:

Maximum flow	105 l/min
Maximum operating pressure	EC35: 23 MPa (230 bars) EC45 Pro: 26 MPa (260 bars)

Double-acting hydraulic circuit for accessories:

Maximum flow	60 l/min
Maximum operating pressure	EC35: 23 MPa (230 bars) EC45 Pro: 26 MPa (260 bars)

End-of-stroke cushions

On the boom ram	at the end of the rod extension
On dipper ram	at the end of the rod retraction
On offset ram	on both sides

Offset ram lock

The equipment's offset ram is equipped with a balancing valve which holds the boom offset angle in the position chosen by the operator in all working conditions.

Slewing system

Turntable slewing is provided by a radial piston hydraulic motor which drives directly (without a reduction gear) a ball internal crown wheel with remote lubrication.

Slewing speed	10 r/min
Turntable braking	Automatic multi-disc brake
Absorption of hydraulic shocks	Shockless valve

Bucket performance

Breakout force	EC35: 2920 daN EC45 Pro: 3360 daN
Tearout force	EC35: 2190 daN EC45 Pro: 2420 daN

Undercarriage

The undercarriage is made up of an "X" box fabricated centre part for more rigidity and of sloping side members for a better clearance of materials. The rollers and the tensioning wheels are lubricated for life.

Bottom/top rollers per side	4/1
Track width	300 mm
Track tension	by grease piston
Blade (width x height)	1650 x 370 mm

Travel system

Each track is driven by an axial piston hydraulic motor equipped with two speeds and an epicyclic reduction gear. Braking is performed automatically by an oil bath multiple disc brake on each motor.

Max. speed (low/high speed)	EC35: 2.8 km/h / 4.3 km/h EC45 Pro: 3 km/h / 4.4 km/h
Max. tractive force	EC35: 3630 daN EC45 Pro: 4080 daN

The forward movement control is automatically locked when the operator raises the left console.

Service fill capacities

Fuel tank	66 l
Hydraulic system, total	62 l
Hydraulic tank	37 l
Engine oil	8.6 l
Cooling system	6 l

Weight

EC35		
Operational weight	Rubber Tracks	Steel Tracks
Cab version	3540 kg	3582 kg
Canopy version	3422 kg	3464 kg

Ground pressure	Rubber Tracks	Steel Tracks
Cab version	0,33 kg/cm ²	0,34 kg/cm ²
Canopy version	0,31 kg/cm ²	0,32 kg/cm ²

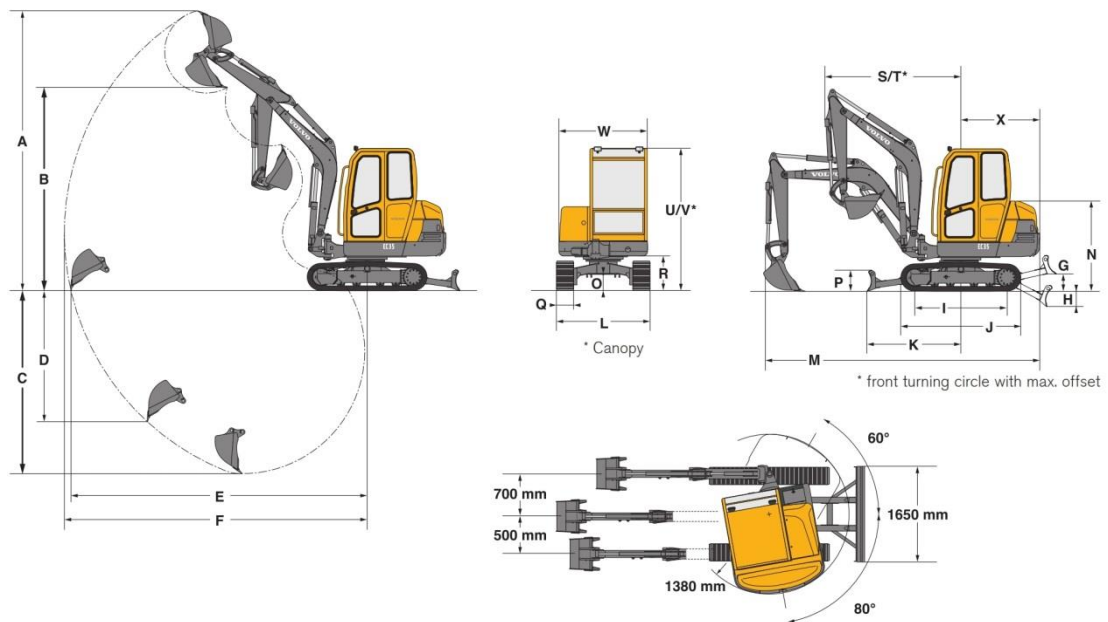
EC45 Pro		
Operational weight	Rubber Tracks	Steel Tracks
Cab version	4550 kg	4687 kg
Canopy version	4413 kg	4550 kg




Ground pressure	Rubber Tracks	Steel Tracks
Cab version	0,25 kg/cm ²	0,26 kg/cm ²
Canopy version	0,24 kg/cm ²	0,25 kg/cm ²

Noise levels

The EC35 and EC45 Pro conform to the 2006 European Machine Directive Noise Level (2000/14/CE) of 96 dB(A) for this class of machine.

SPECIFICATIONS EC35



Buckets			
	Width	Weight	Capacity
Backhoe	300 mm	56 kg	46 l
	450 mm	68 kg	80 l
	600 mm	86 kg	115 l
	750 mm	111 kg	151 l
Ditch	1300 mm	125 kg	175 l


Dipper	A	B	C*	C	D	E	F
1400 mm	4840	3530	3420	3170	2200	5130	5240
1700 mm	5020	3720	3710	3470	2500	5420	5530

* Dig depth with the blade down.

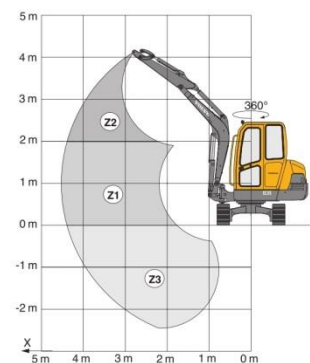
G	H	I	J	K	L	M	N	O
380	510	1600	2070	1620	1620	4750	1560	290

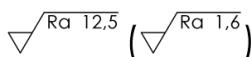
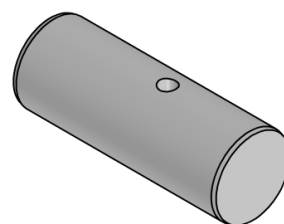
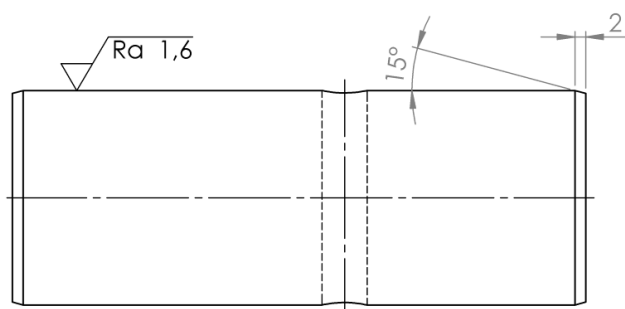
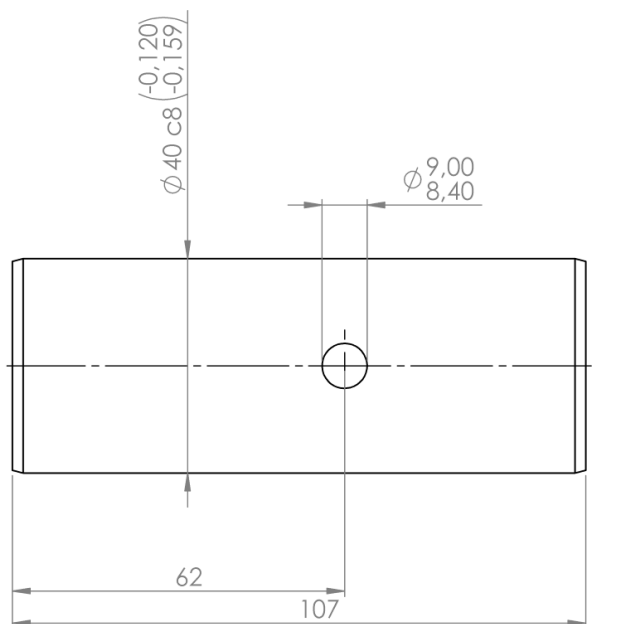
P	Q	R	S	T	U	V	W	X
370	300	600	2040	1570	2460	2350	1570	1360

These capacities are given for a machine without a bucket or quick-release coupling and fitted with rubber tracks for a 360° total rotation lifted load.
The handling capacity is 75% of the tipping load or 87% of the hydraulic limit.
Caution : In accordance with standard EN 474-5, the machine must be equipped with a safety valve on the boom ram and an overload indicator (available as options) to carry out handling operations.

Outreach		1,50 m	2,00 m	2,50 m	3,00 m	3,50 m	4,00 m	4,50 m	4,80 m
	1400 mm	Z2		955	720	570	465		
		Z1	1555*	1190	845	655	530	445	380
		Z3	2040*	1215	855	660	535		
	1700 mm	Z2			730	575	465	385	
		Z1	1395*	1175	835	645	520	435	370
		Z3	1945*	1190	840	645	520	435	

* hydraulic limit

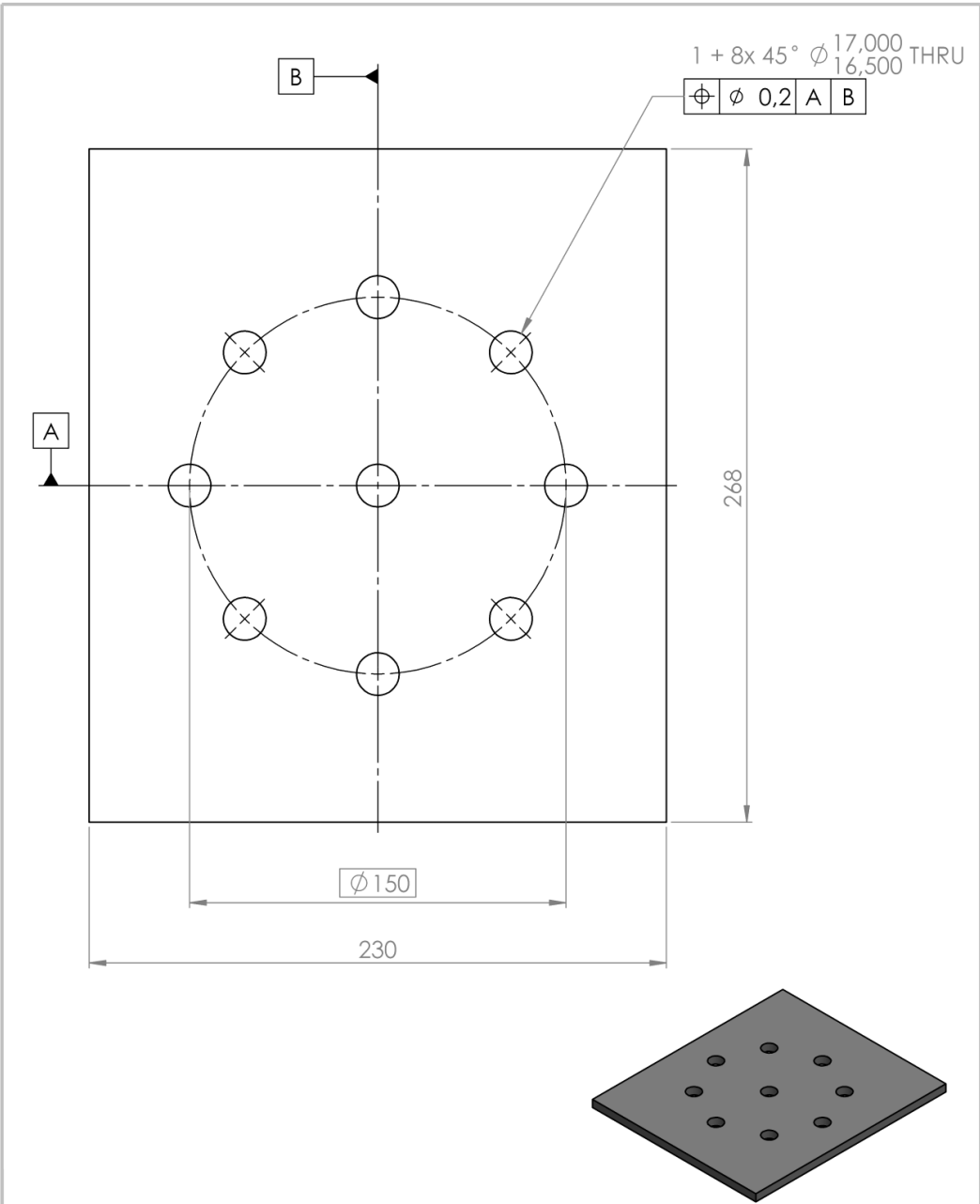




**SolidWorks Student Edition.
For Academic Use Only.**

- Materiaalin myötölujuus ≥ 350 MPa
- Pinnankovuus ≥ 300 HB

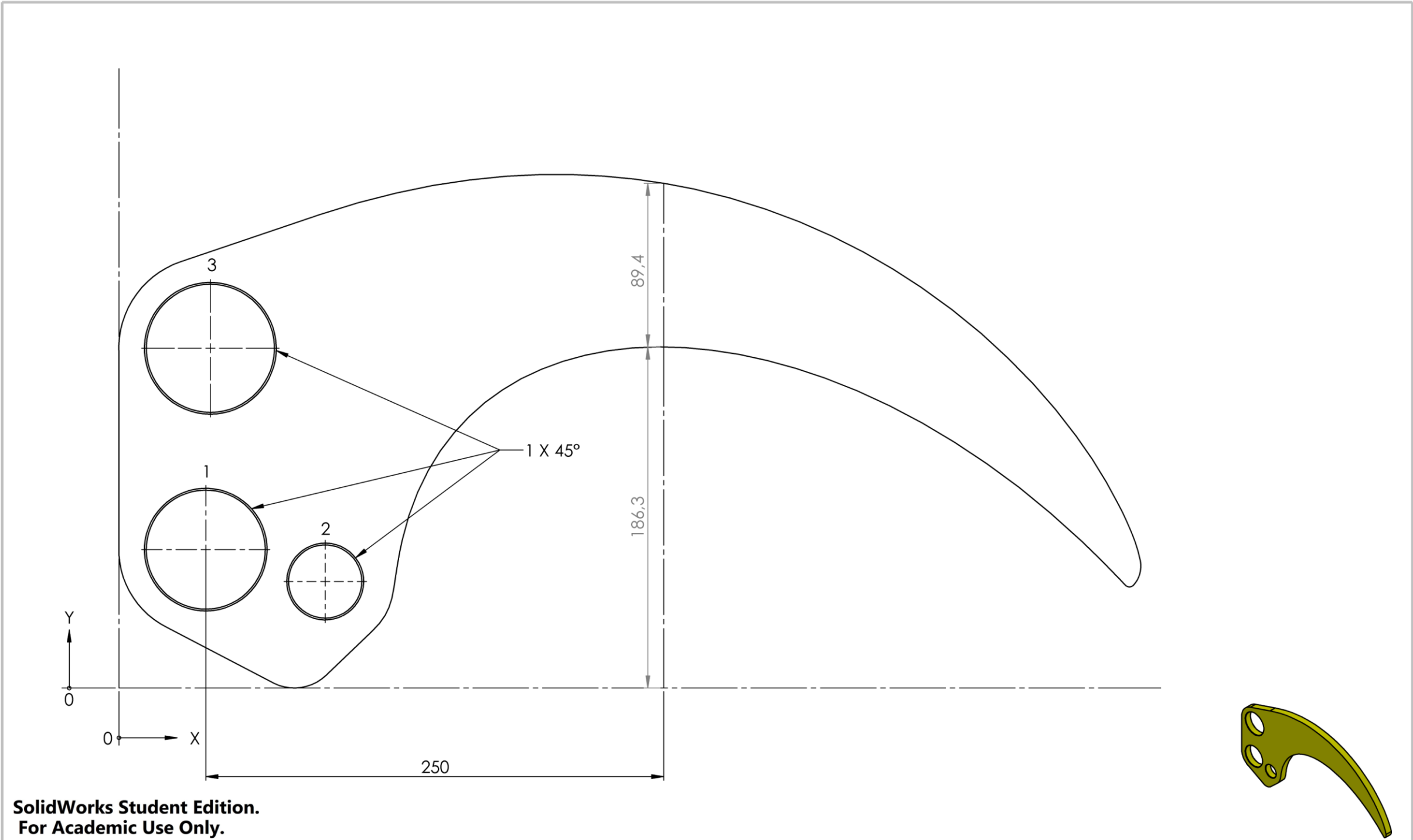
Kappalemäärä	2 kpl	Yleistoleranssit	ISO 2768-m	
		Nimitys	Saranatappi, leveä leuka	
Materiaali		Numero/koodi		A4
		p13		
Massa	1 kg	Mittakaava: 1:1		1 / 1



SolidWorks Student Edition.
For Academic Use Only.

- Vapaareikien koneistus

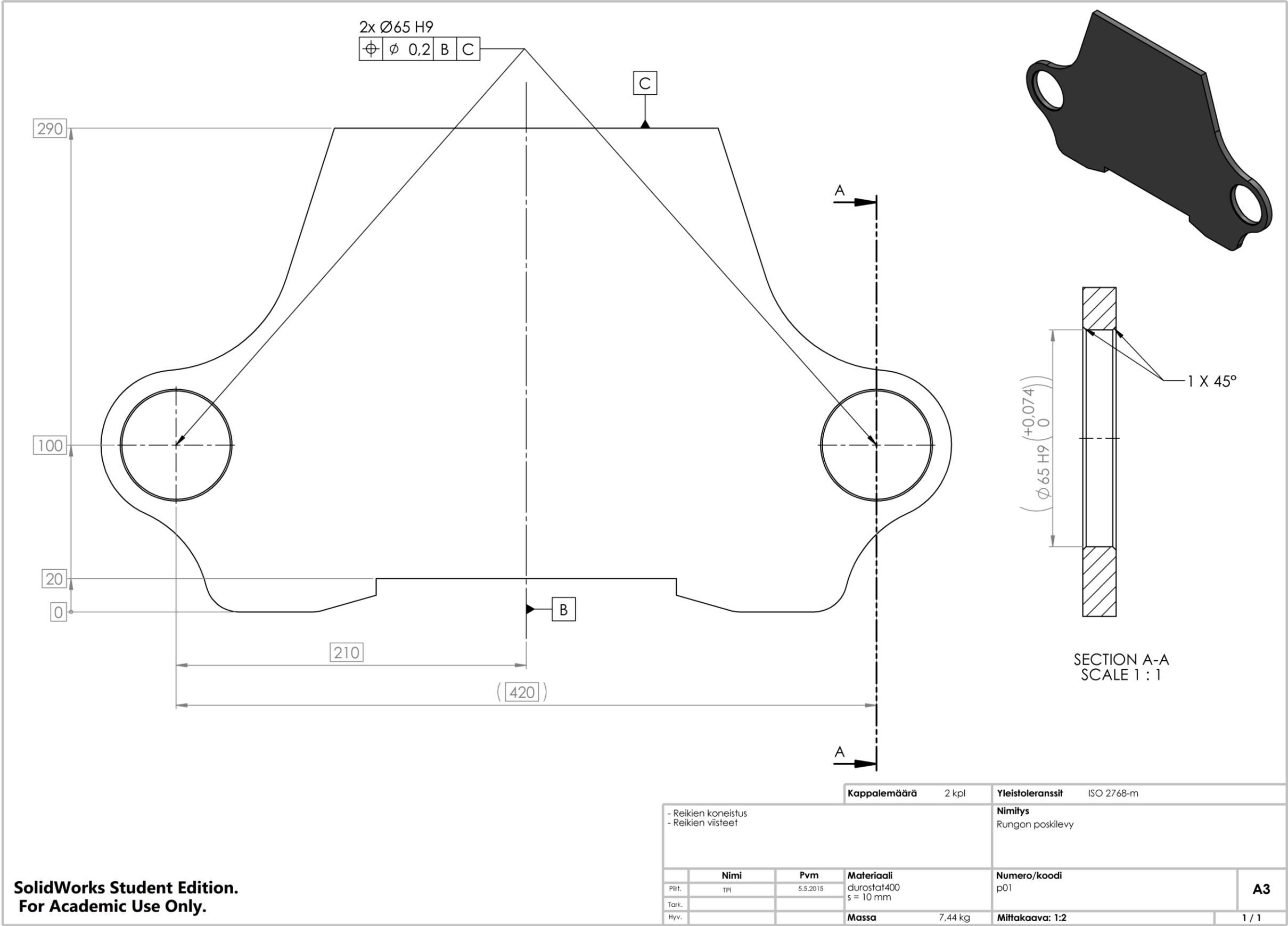
For Academic Use Only.		Kappalemäärä	1 kpl	Yleistoleranssit		ISO 2768-m
- Vapareikiien koneistus				Nimitys		
				Rungon katto		
	Nimi	Pvm	Materiaali	Numero/koodi		A4
Piirt.	TPI	5.5.2015	durostat400	p03		
Tark.			s = 10 mm			
Hyv.			Massa	4,6 kg	Mittakaava: 1:2	

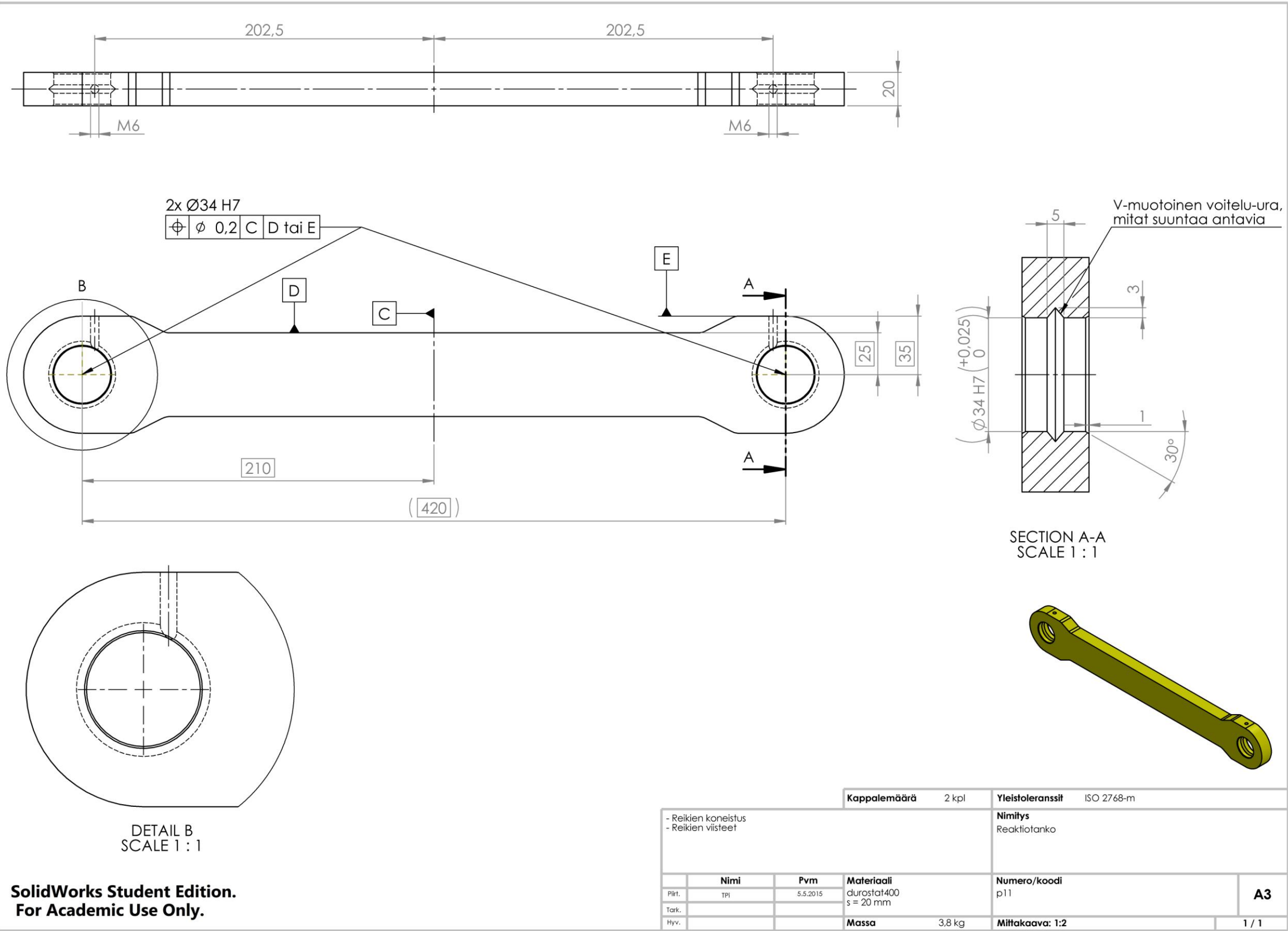


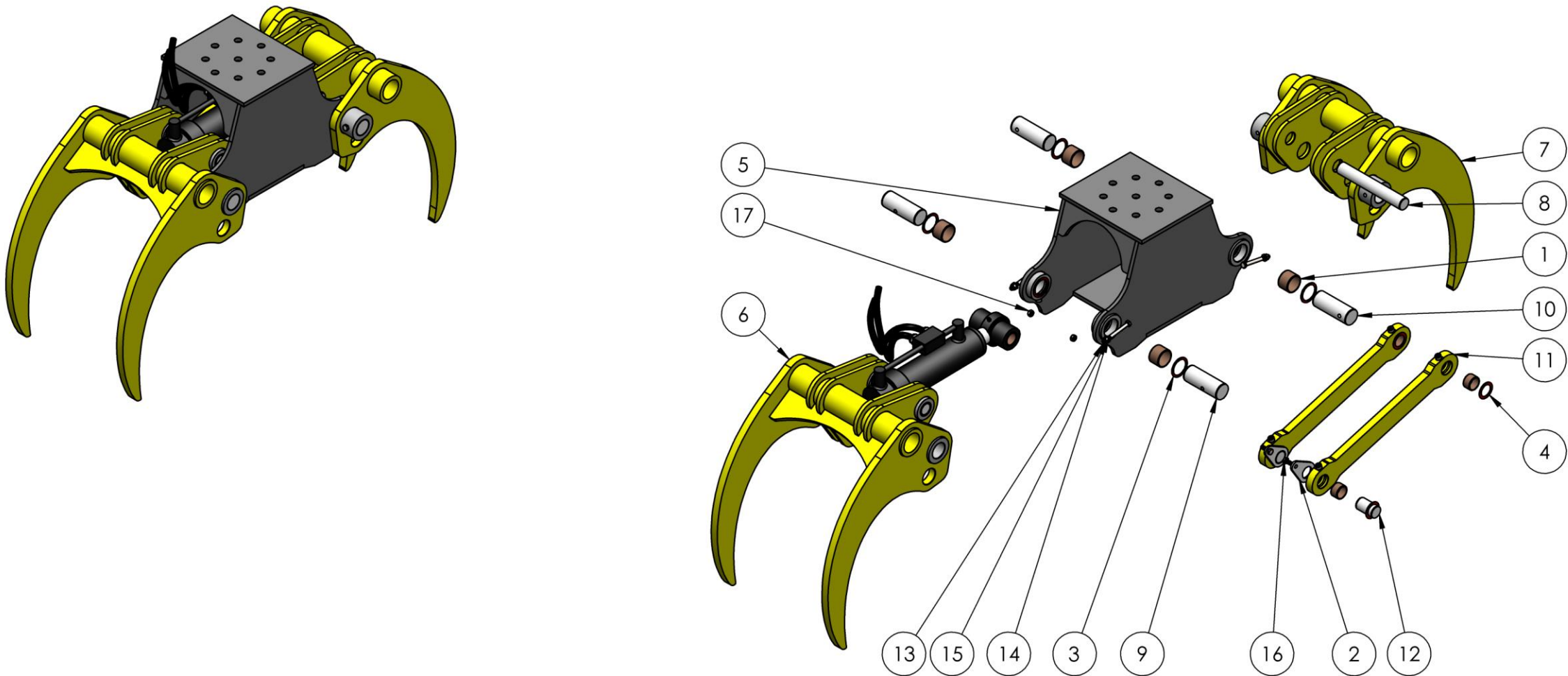
SolidWorks Student Edition.
For Academic Use Only.

TAG	X LOC	Y LOC	SIZE
1	47,4	75,6	$\phi 65 \text{ H9 } \begin{pmatrix} +0,074 \\ 0 \end{pmatrix}$
2	112,6	58,2	$\phi 40 \pm 2$
3	49,9	185,6	$\phi 70 \text{ H9 } \begin{pmatrix} +0,074 \\ 0 \end{pmatrix}$

		Kappalemäärä	4 kpl	Yleistoleranssit	ISO 2768-m
		- Reikien koneistus - Reikien viisteet molemmille puolille		Nimitys Leuka	
	Nimi	Pvm	Materiaali	Numero/koodi	A3
Piirt.	TPI	6.5.2015	durostat400 s = 20 mm	p10	
Tark.					
Hyv.			Massa	9,4 kg	
				Mittakaava: 1:2	2 / 2







SolidWorks Student Edition.
For Academic Use Only.

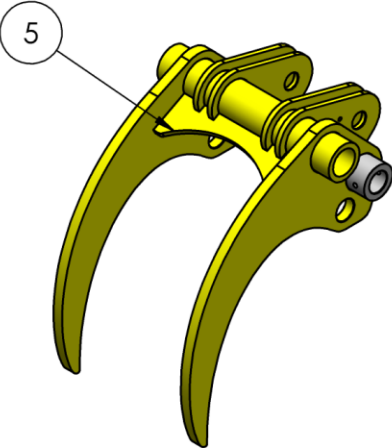
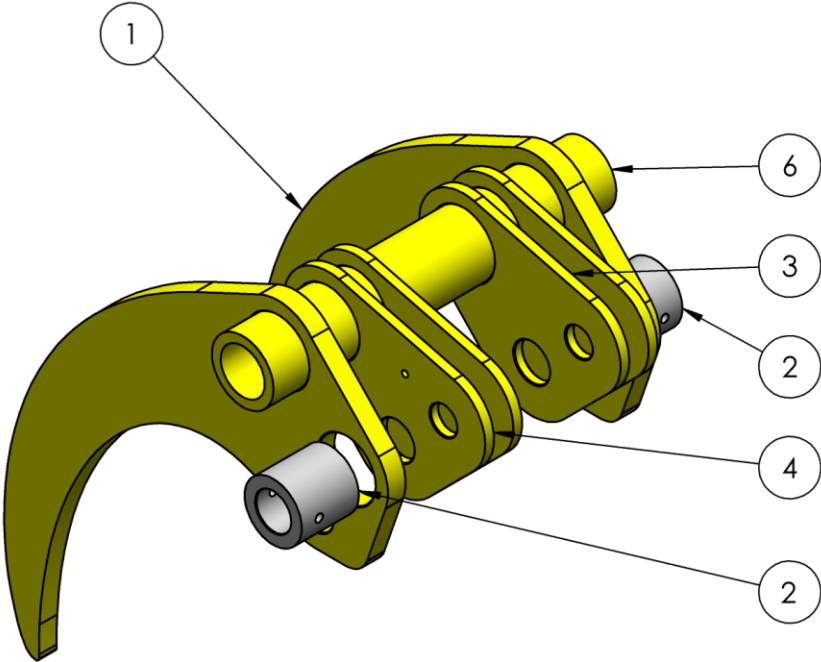
Osa	Koodi	Nimitys	Standardi	Muoto/mitat	Lujuusluokka	Materiaali	Kpl
1		Läpireiällinen liukulaakeri		40x44x30		Tinapronssi	4
2		Akselin lukituslaippa					3
3		Sovitelaatta	DIN 988	40x50x0,5-1,0 Shim			8
4		Sovitelaatta	DIN 988	30x42x0,5-1,0 Shim			10
5		Runko					1
6		Leuka, leveä					1
7		Leuka, kapea					1
8	p19	Kapean leuan akselitappi		Ø30x206			1
9	p13	Saranatappi, leveä leuka		Ø40x107			2
10	p15	Saranatappi, kapea leuka		Ø40x107			2
11		Reaktiotanko					2
12	p20	Reaktiotangon akselitappi		Ø30x52			2
13		Kuusioruuvi	DIN 931	M8x80	8.8		4
14		Aluslaatta	DIN 125	M8	8 / 8.8		4
15		Lukitusmutteri	DIN 985	M8	8 / 8.8		4
16		Kuusioruuvi, lukituslaippa	DIN 933	M8x25	8.8		3
17		Kuusiomutteri, lukituslaippa	DIN 934	M8	8 / 8.8		3

Kappalemäärä			Yleistoleranssit	
			Nimitys	
			Kaivinkoneen yleiskahmari	
			Pääkoonpano, räjäytyskuva	
	Nimi	Pvm	Numero/koodi	
Piirt.	TPI	10.5.2015		
Tark.				
Hyv.				
Massa		140 kg	Mittakaava: 1:10	

**SolidWorks Student Edition.
For Academic Use Only.**

Osa	Koodi	Nimitys	Standardi	Muoto/mitat	Lujuusluokka	Materiaali	Kpl
1	p01	Rungon poskilevy				Durostat 400	2
2	p02	Rungon pohja		248x180x10		Durostat 400	1
3	p03	Rungon katto		268x230x10		Durostat 400	1
4	p04	Rungon päätylappu				Durostat 400	2
5	p12	Rungon saranaholkki		Ø65x30			4
6		Rasvanippa, suora		M6			4
7		Rasvanipan suojus					4
8	p09	Hymas S40 pohja		380x230x10		Durostat 400	1
9		Hymas S40 sovite					1
10		Kuusioruuvi	DIN 933	M16x45	10.9		9
11		Aluslaatta	DIN 6916	M16	10 / 10.9		18
12		Kuusiomutteri	DIN 934	M16	10 / 10.9		9

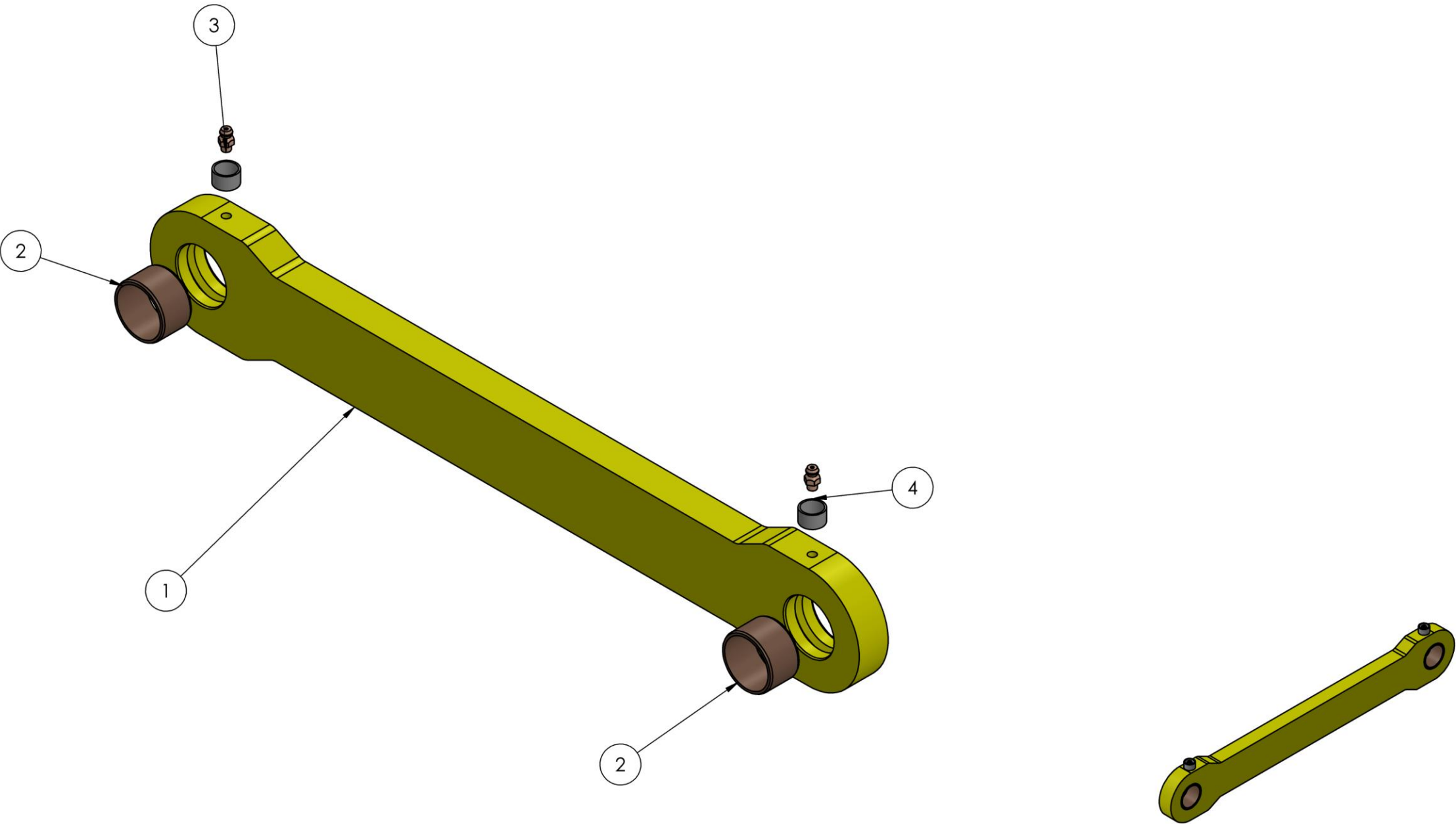
Kappalemäärä			Yleistoleranssit			
			Nimitys			
			Runko			
			Osakokoonpano, räjäytyskuva			
	Nimi	Pvm	Materiaali	Numero/koodi	A3	
Piirt.	TPI	10.5.2015				
Tark.						
Hyv.			Massa	41,5 kg	Mittakaava: 1:5	1 / 1



SolidWorks Student Edition.
For Academic Use Only.

Osa	Koodi	Nimitys	Muoto/mitat	Materiaali	Kpl
1	p10	Leuan poskilevy		Durostat 400	2
2	p16	Leuan saranaholkki	Ø65x65		2
3	p08	Kapea kiinnike		Durostat 400	3
4	p08	Kapea kiinnike, lukitusreiällä		Durostat 400	1
5	p07	Kapean leuan lappu		Durostat 400	1
6	p14	Leukojen ainesputki	Ø70x390		1

Kappalemäärä			Yleistoleranssit	
			Nimitys	
			Leuka, kapea	
			Osakokoonpano, räjäytyskuva	
			Numero/koodi	
			A3	
			Mittakaava: 1:5	
			1 / 1	



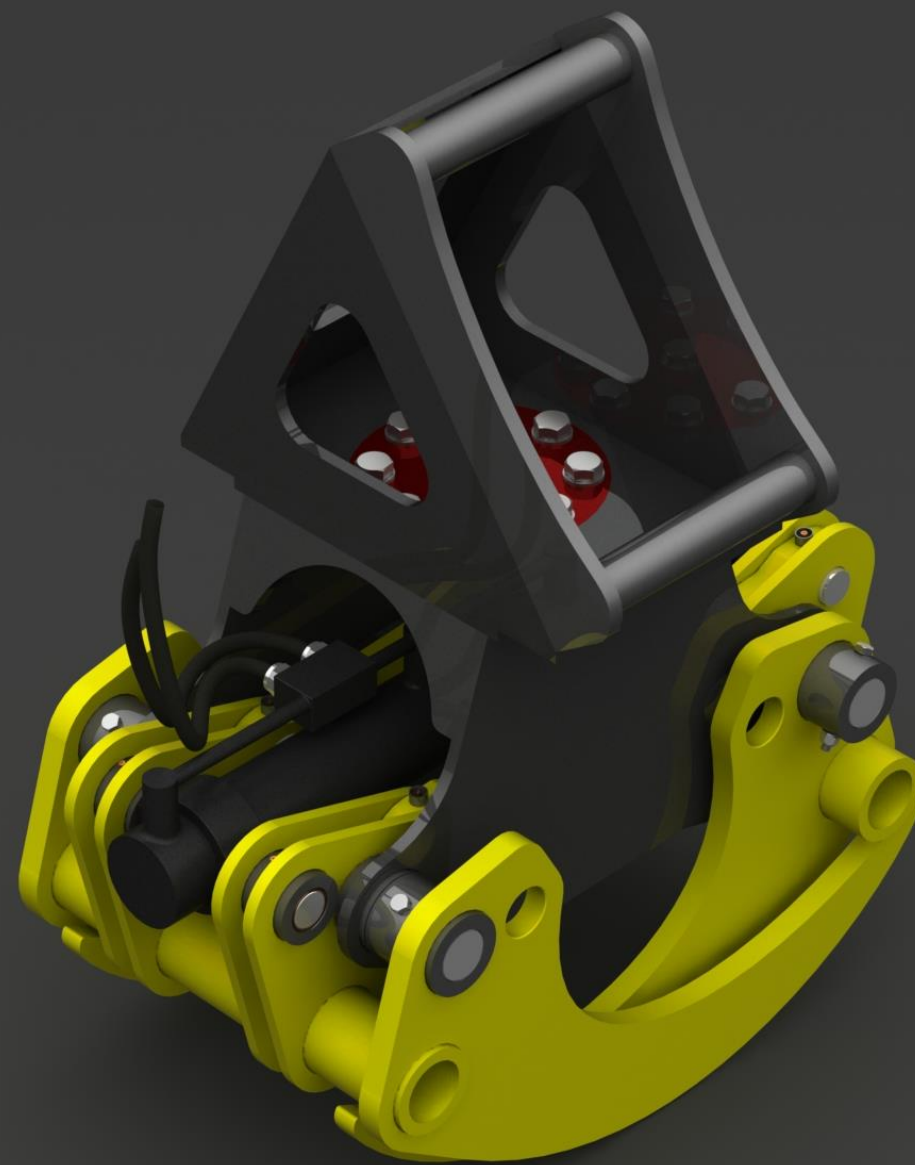
SolidWorks Student Edition.
For Academic Use Only.

Osa	Koodi	Nimitys	Muoto/mitat	Materiaali	Kpl
1	p11	Reaktiotanko		Durostat 400	1
2		Läpireiällinen liukulaakeri	30x34x20	Tinapronssi	2
3		Rasvanippa, suora	M6		2
4		Rasvanipan suojus			2

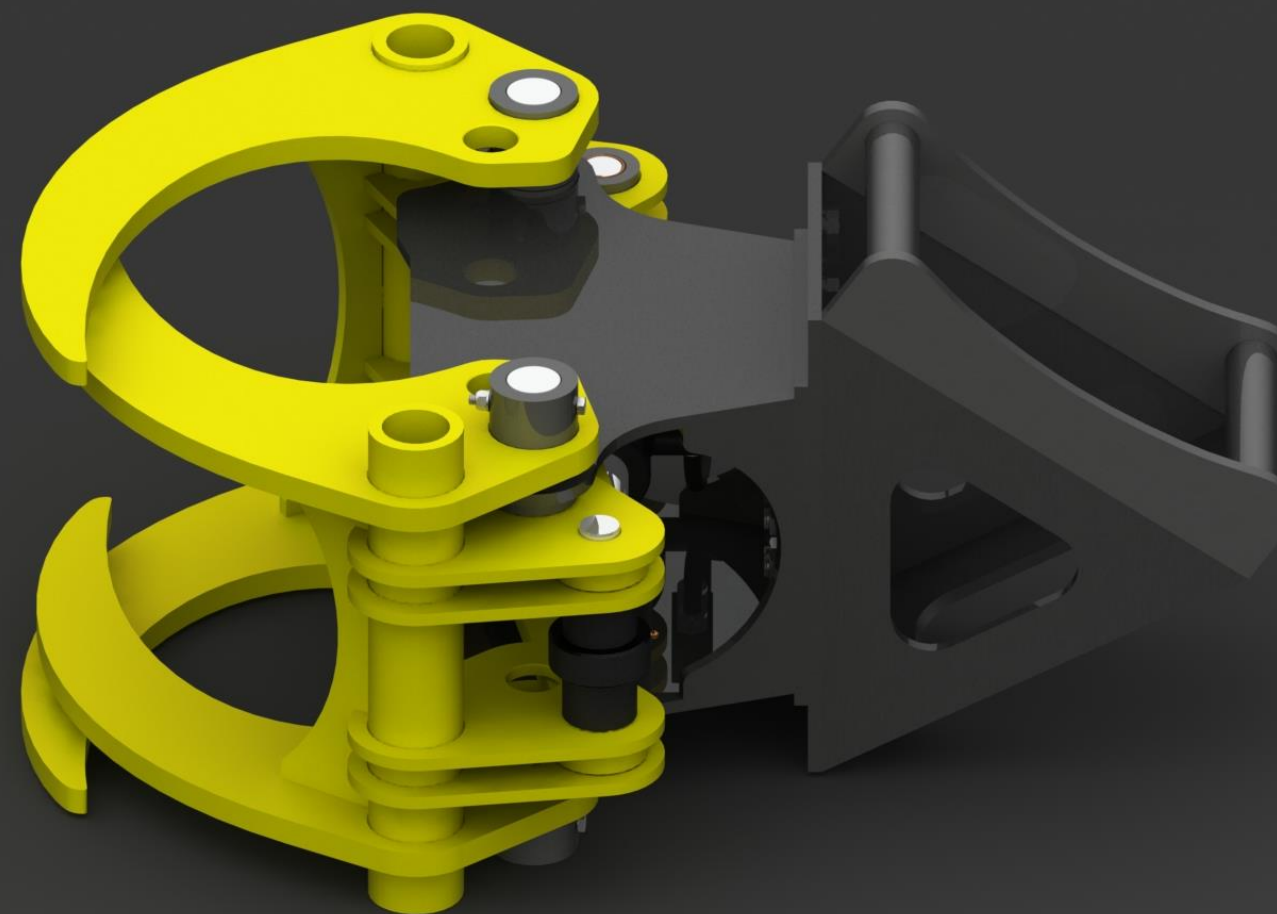
Kappalemäärä			2 kpl	Yleistoleranssit	
				Nimitys	
				Reaktiotanko	
				Osakokoonpano, räjäytyskuva	
				Numero/koodi	
				A3	
Piirt.	TPI	Pvm	6.5.2015		
Tark.					
Hyv.					
			Massa	3,9 kg	Mittakaava: 1:2
					1 / 1

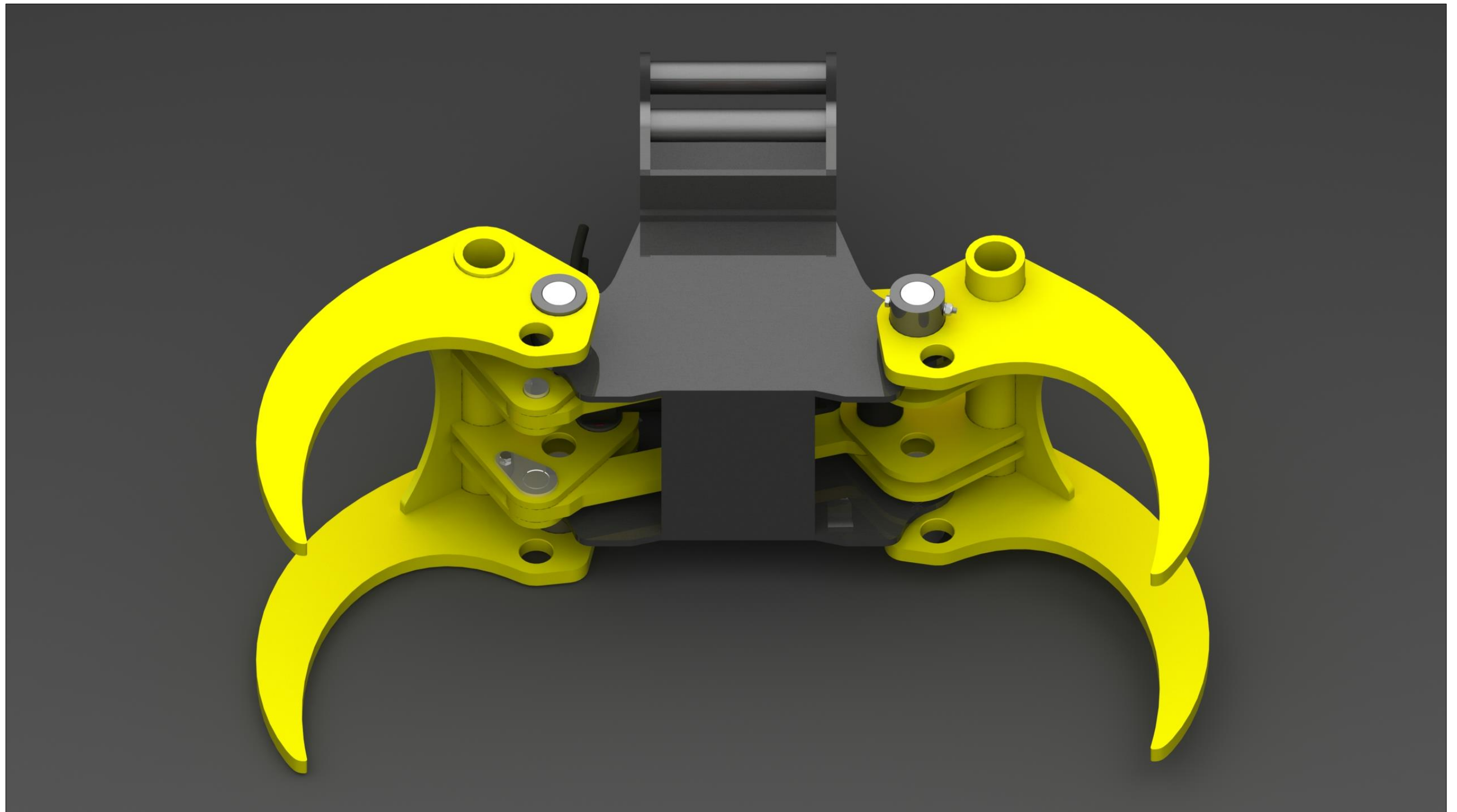


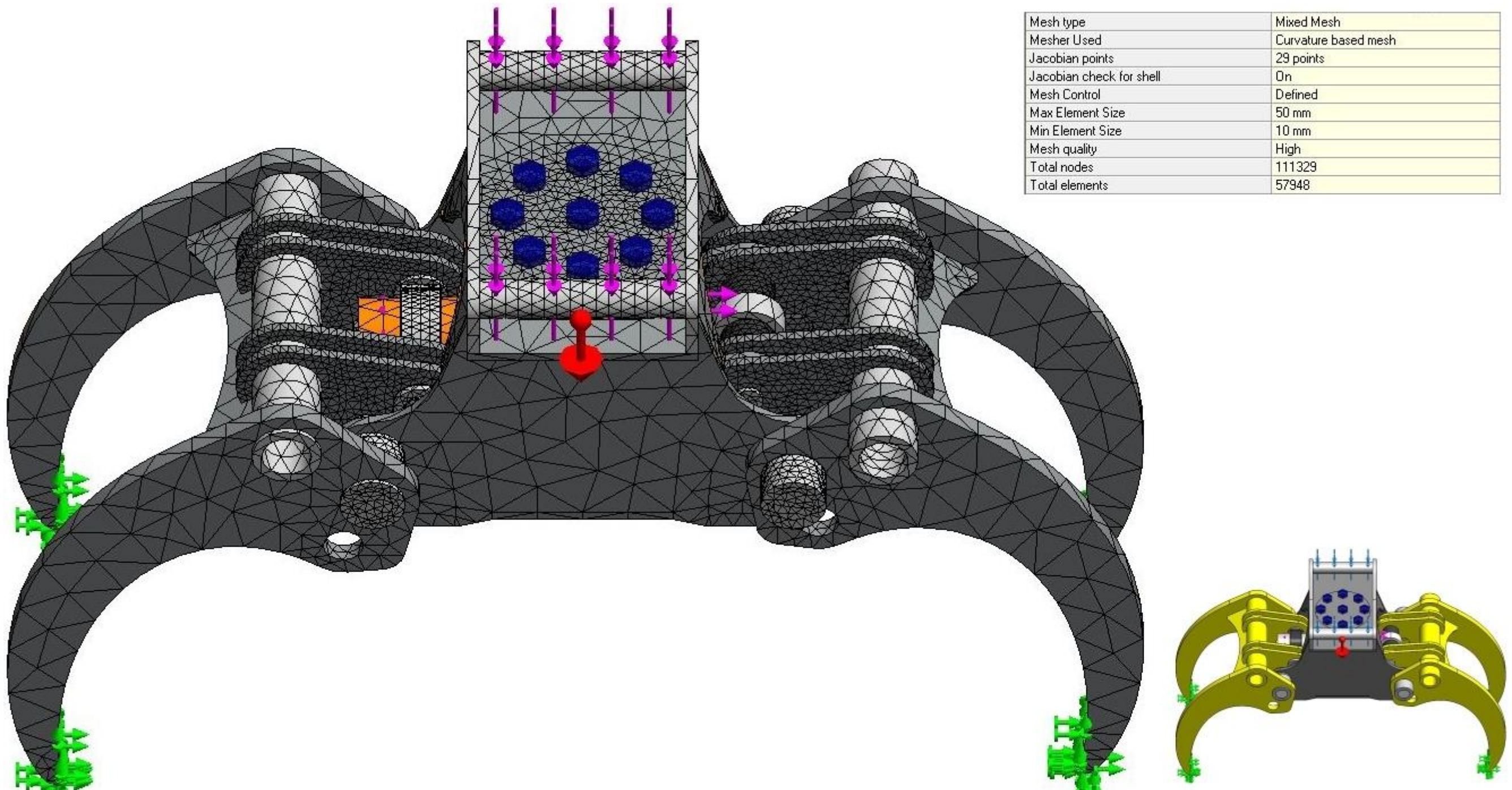


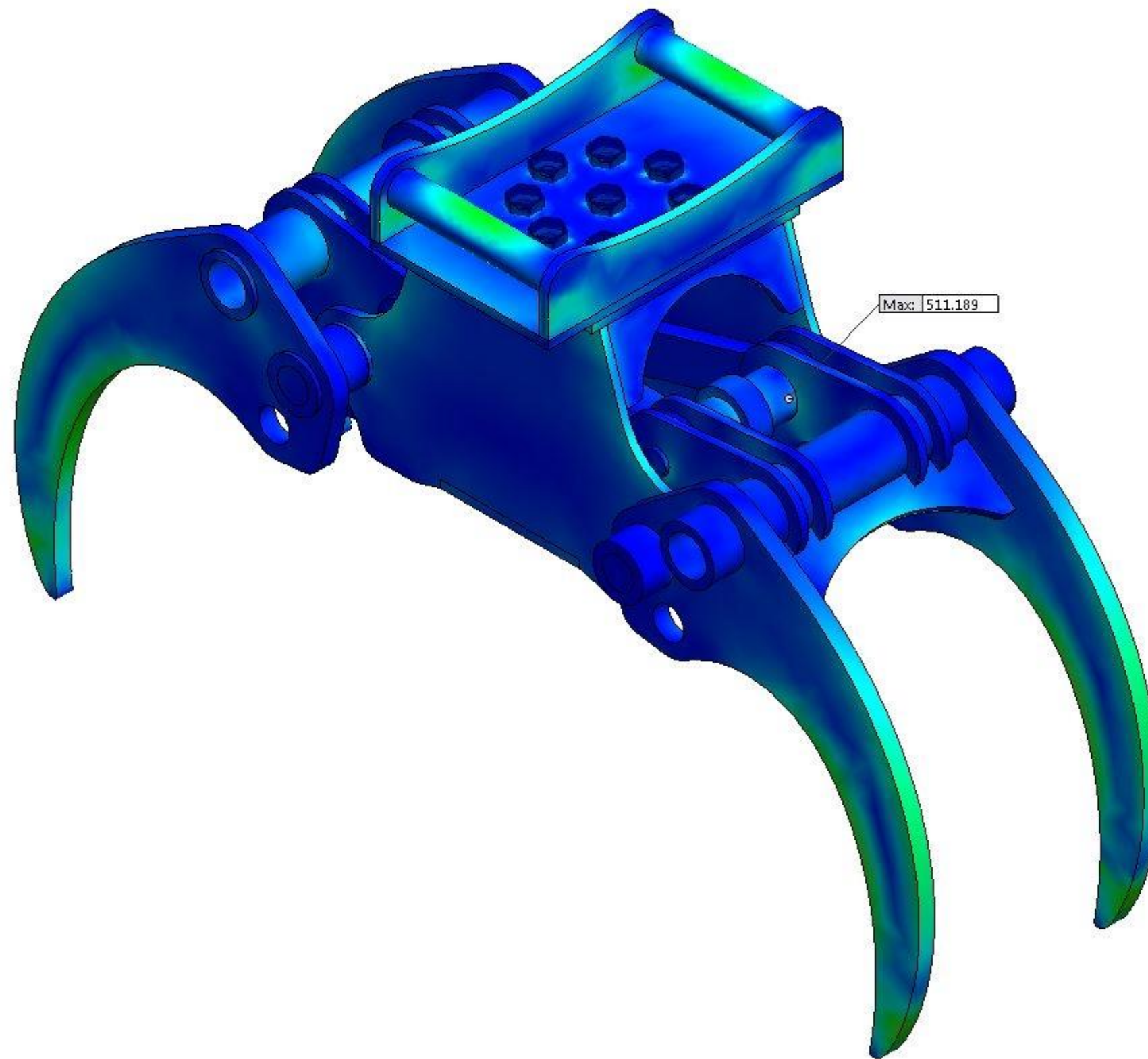
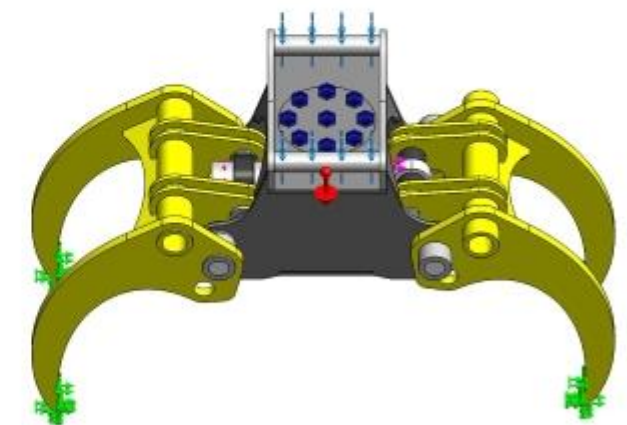
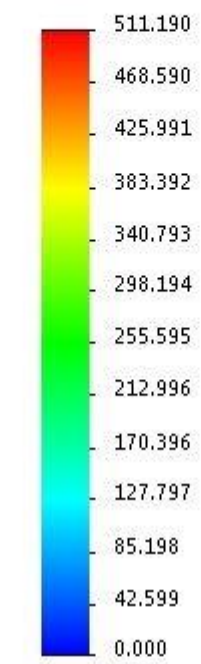


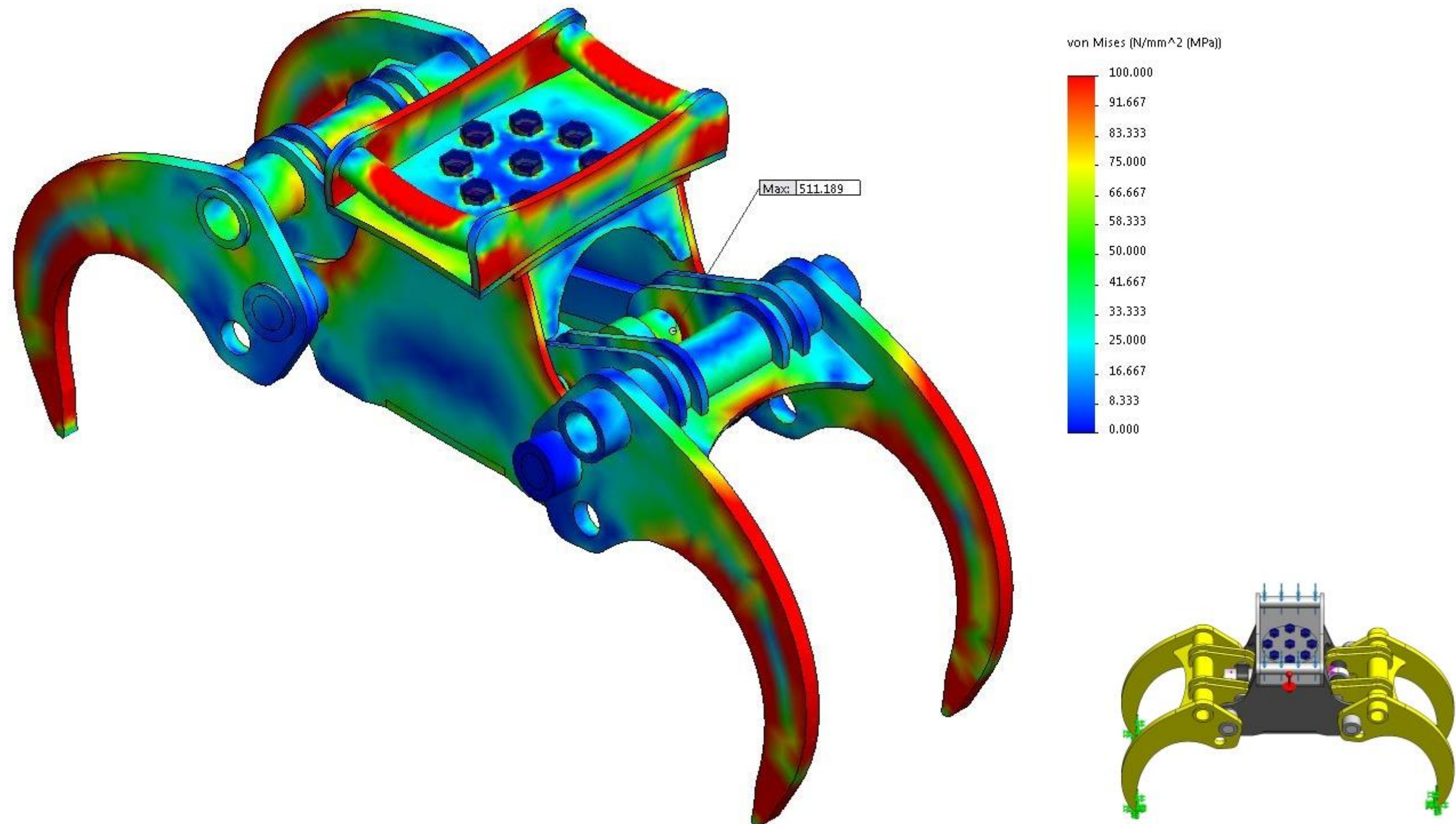


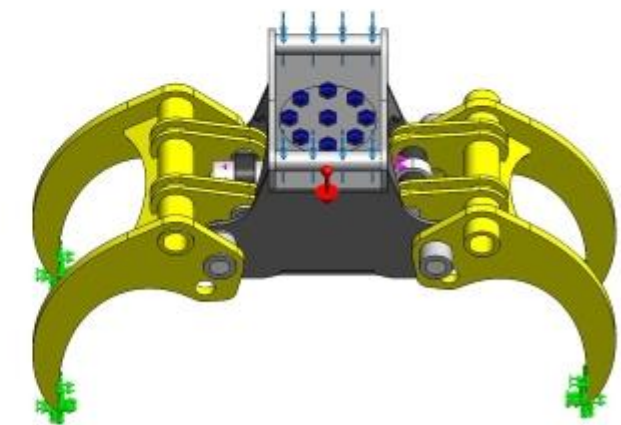
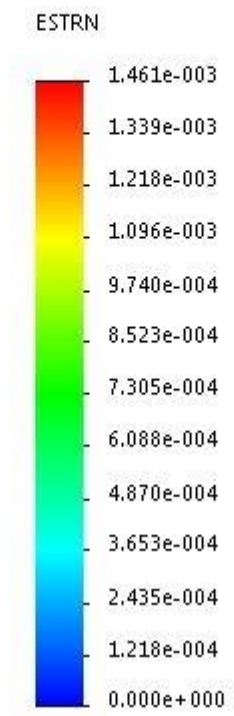


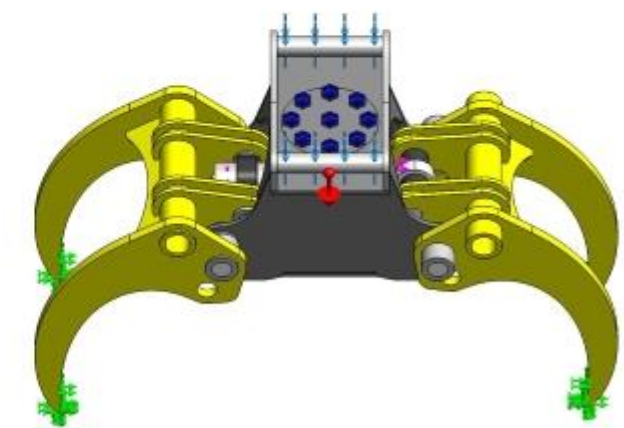
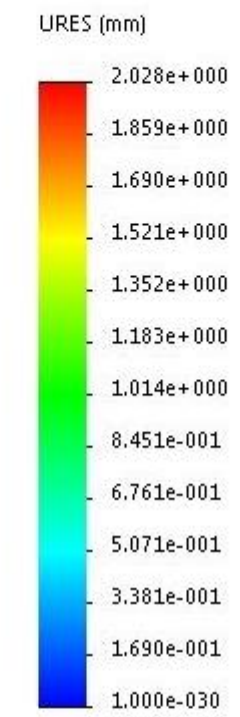
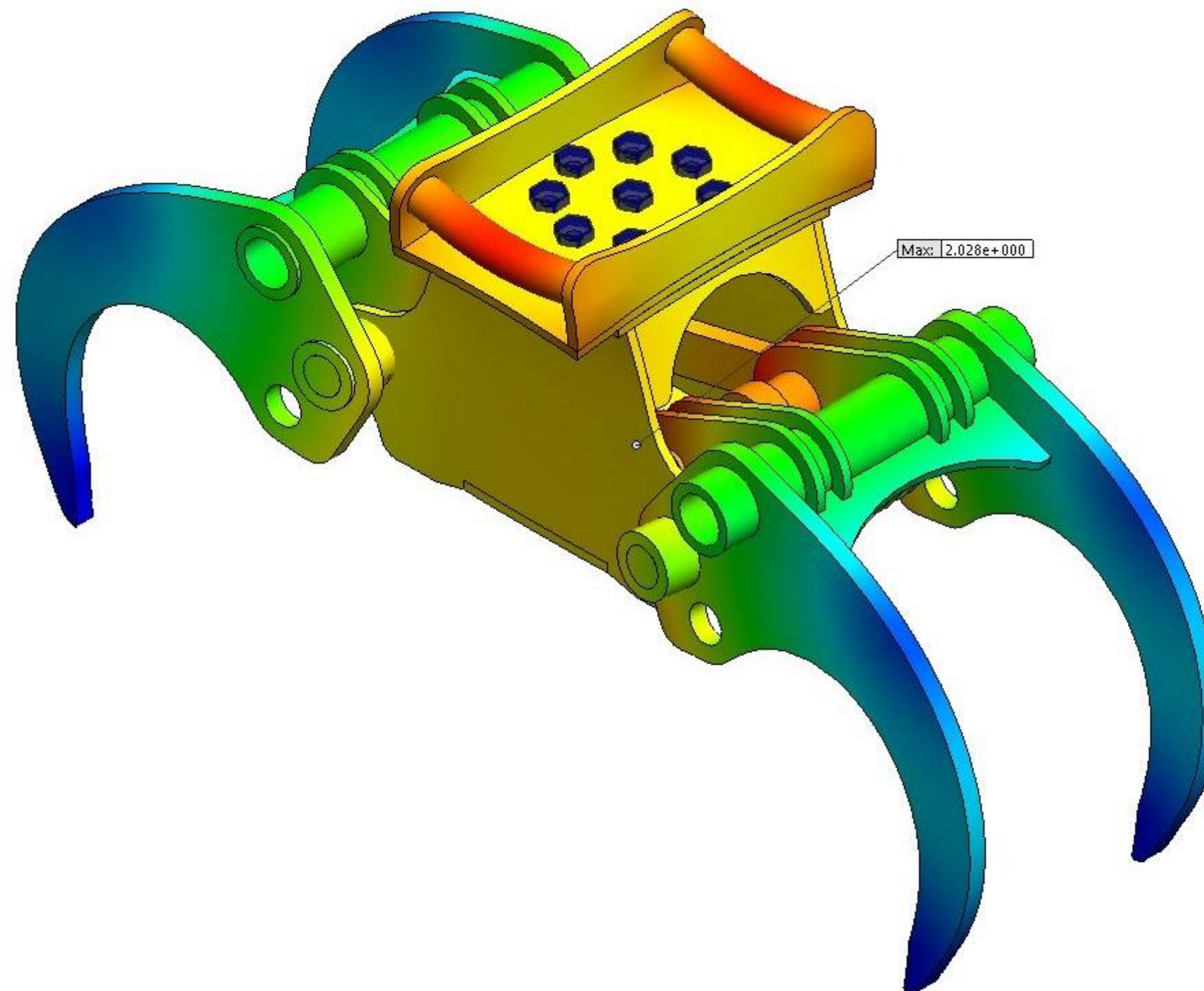


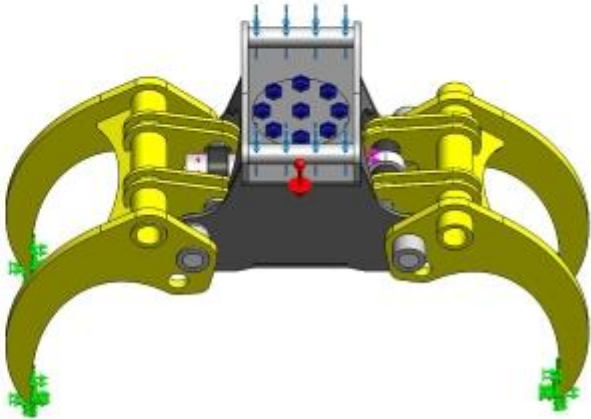
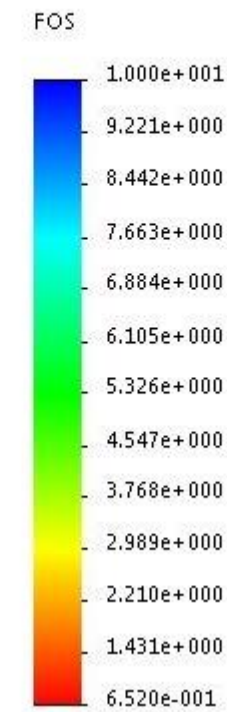
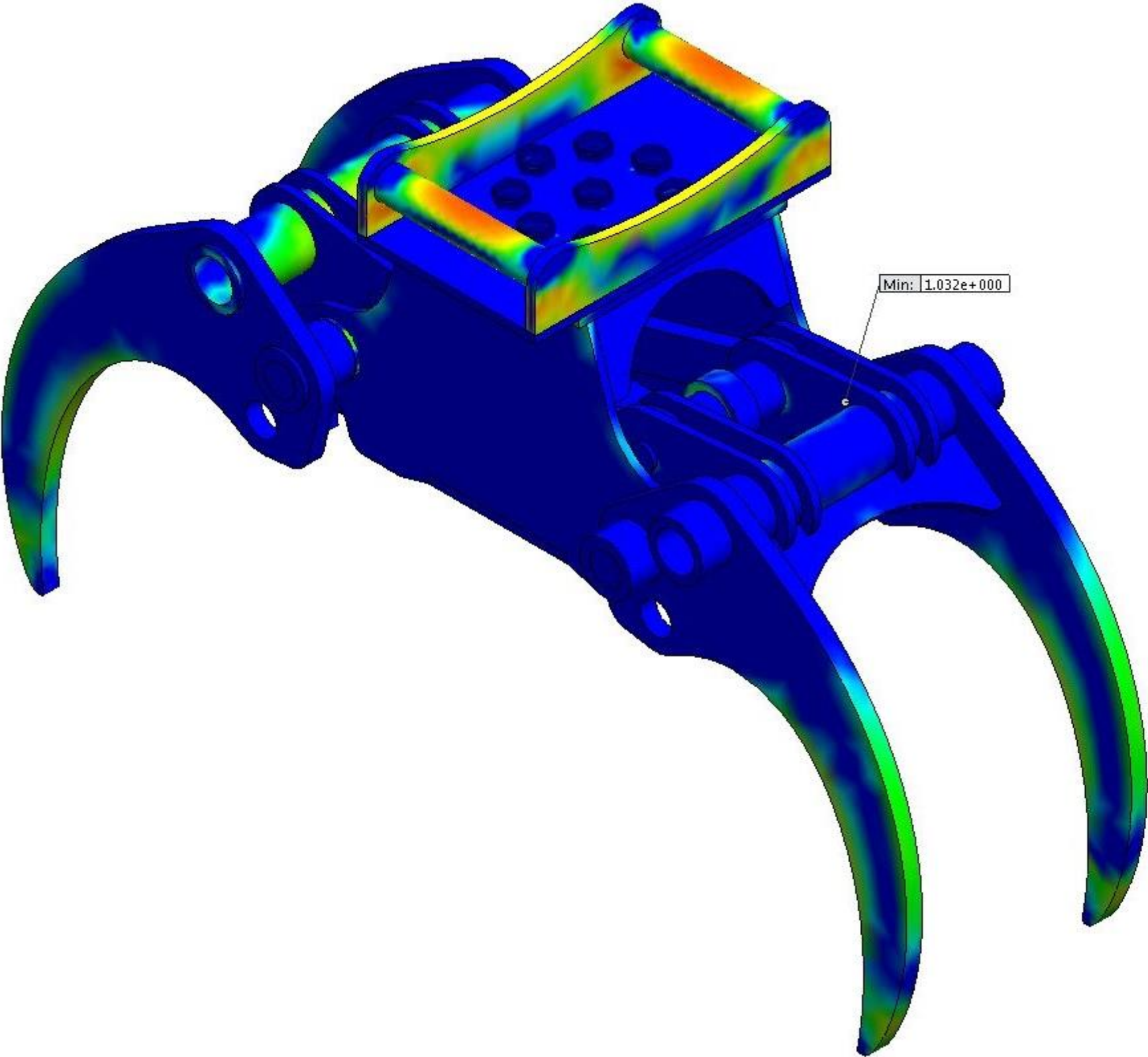


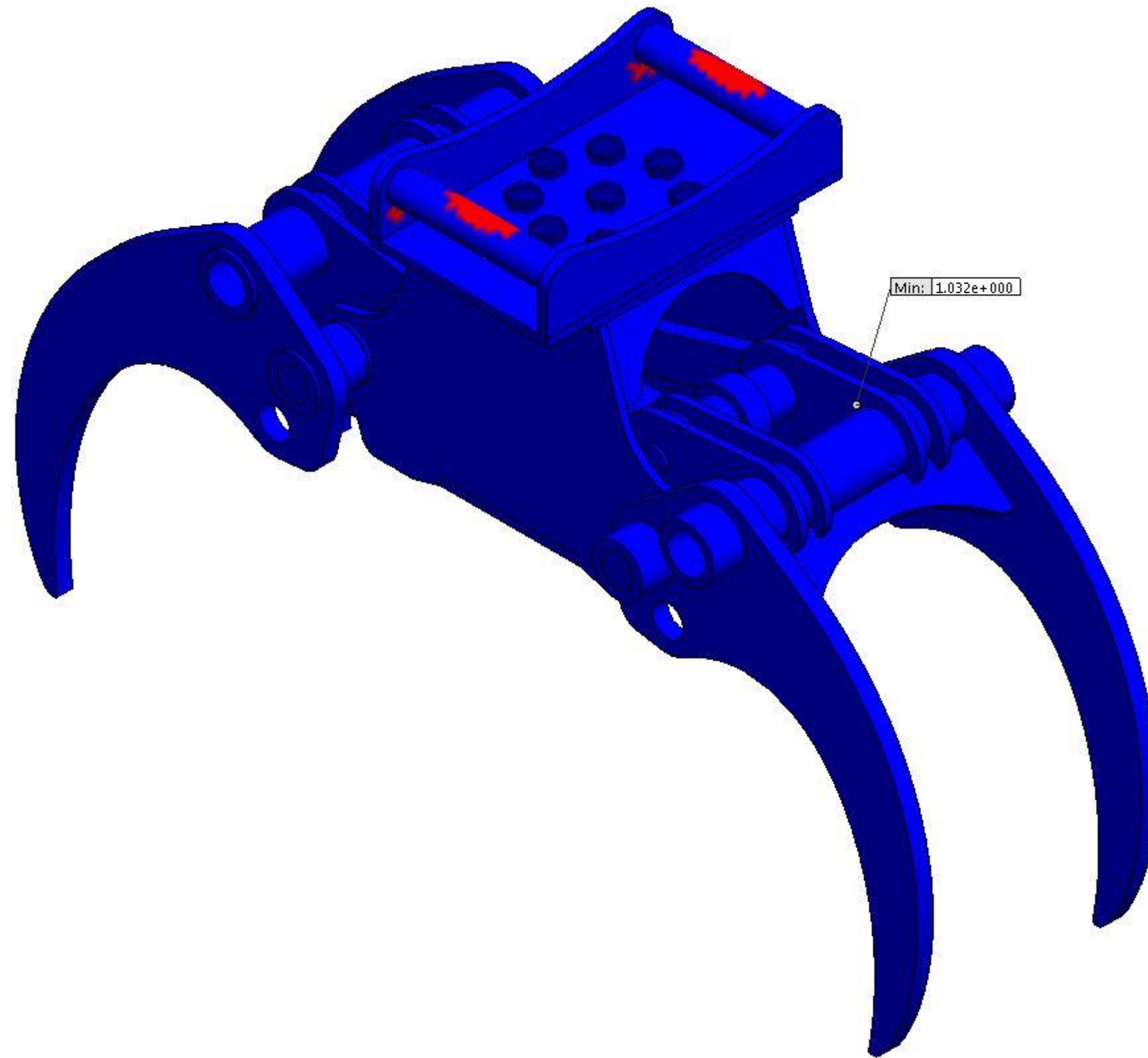
von Mises (N/mm² (MPa))

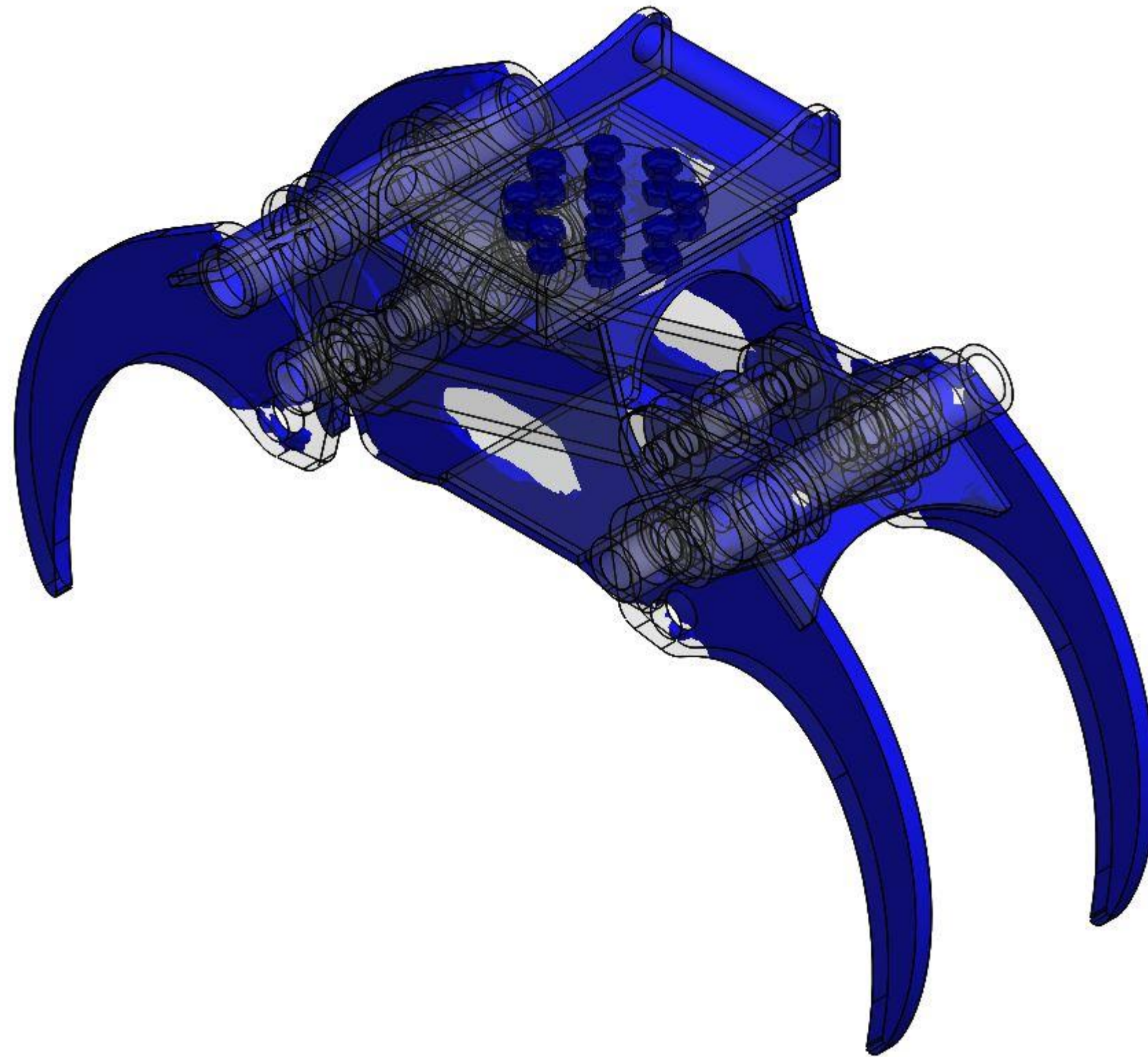


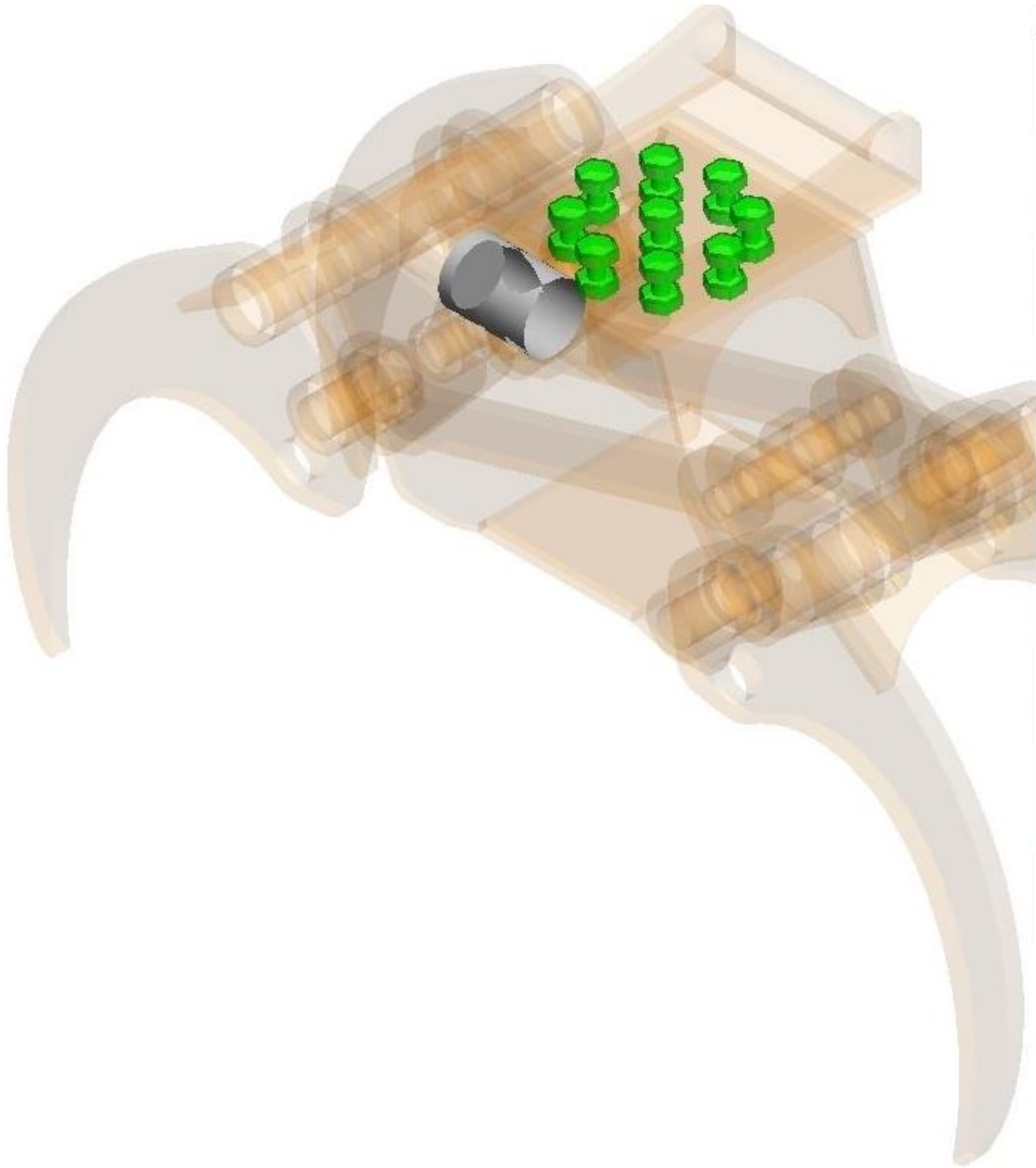




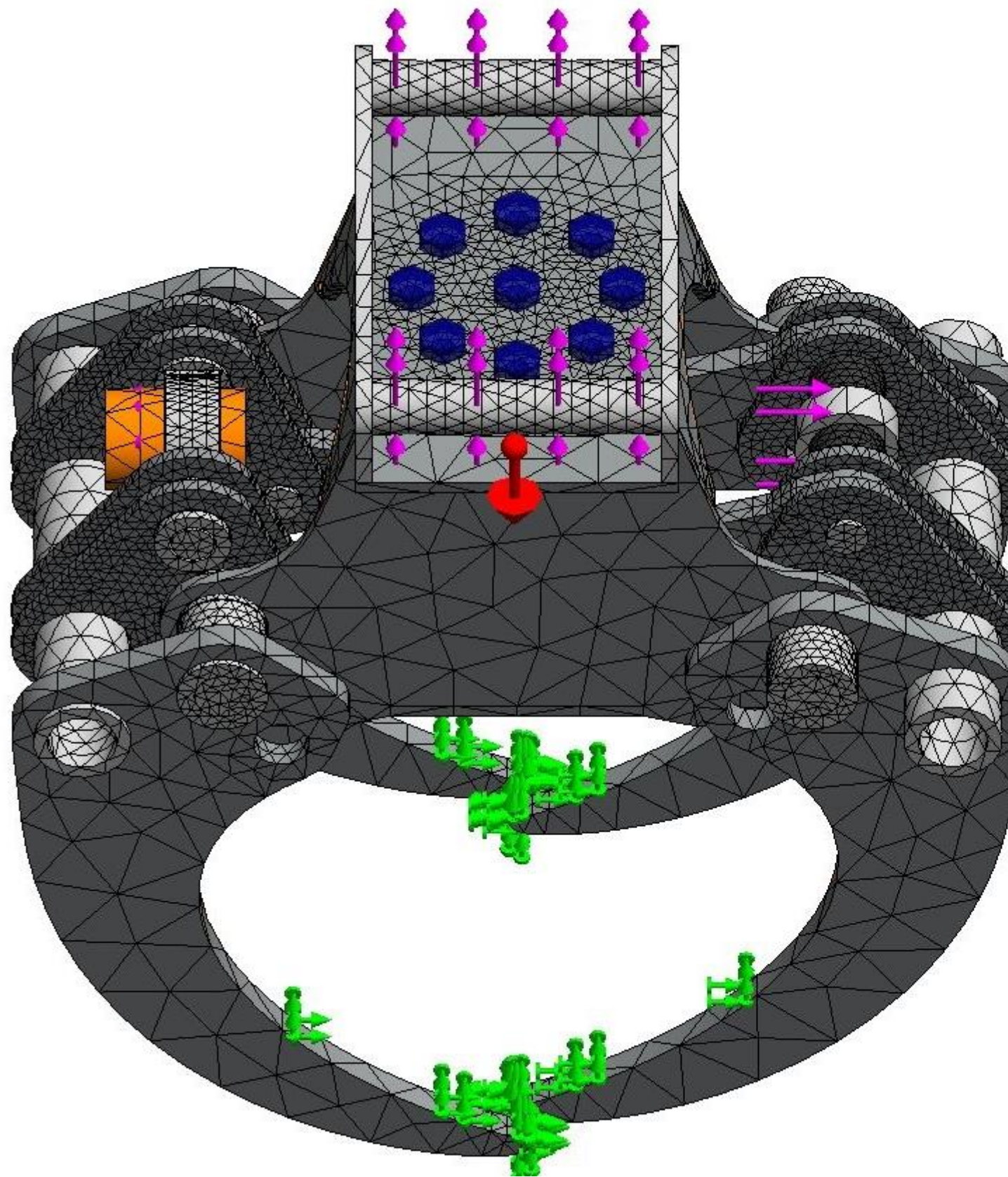




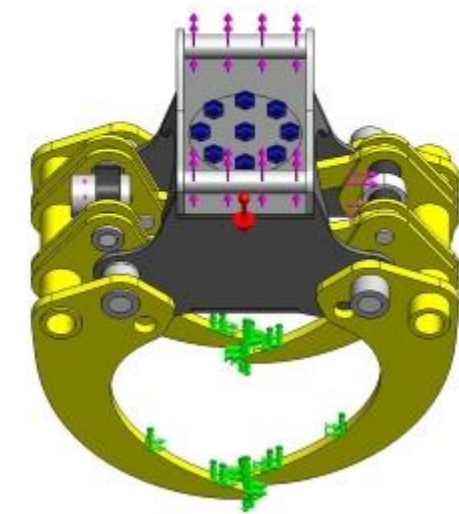


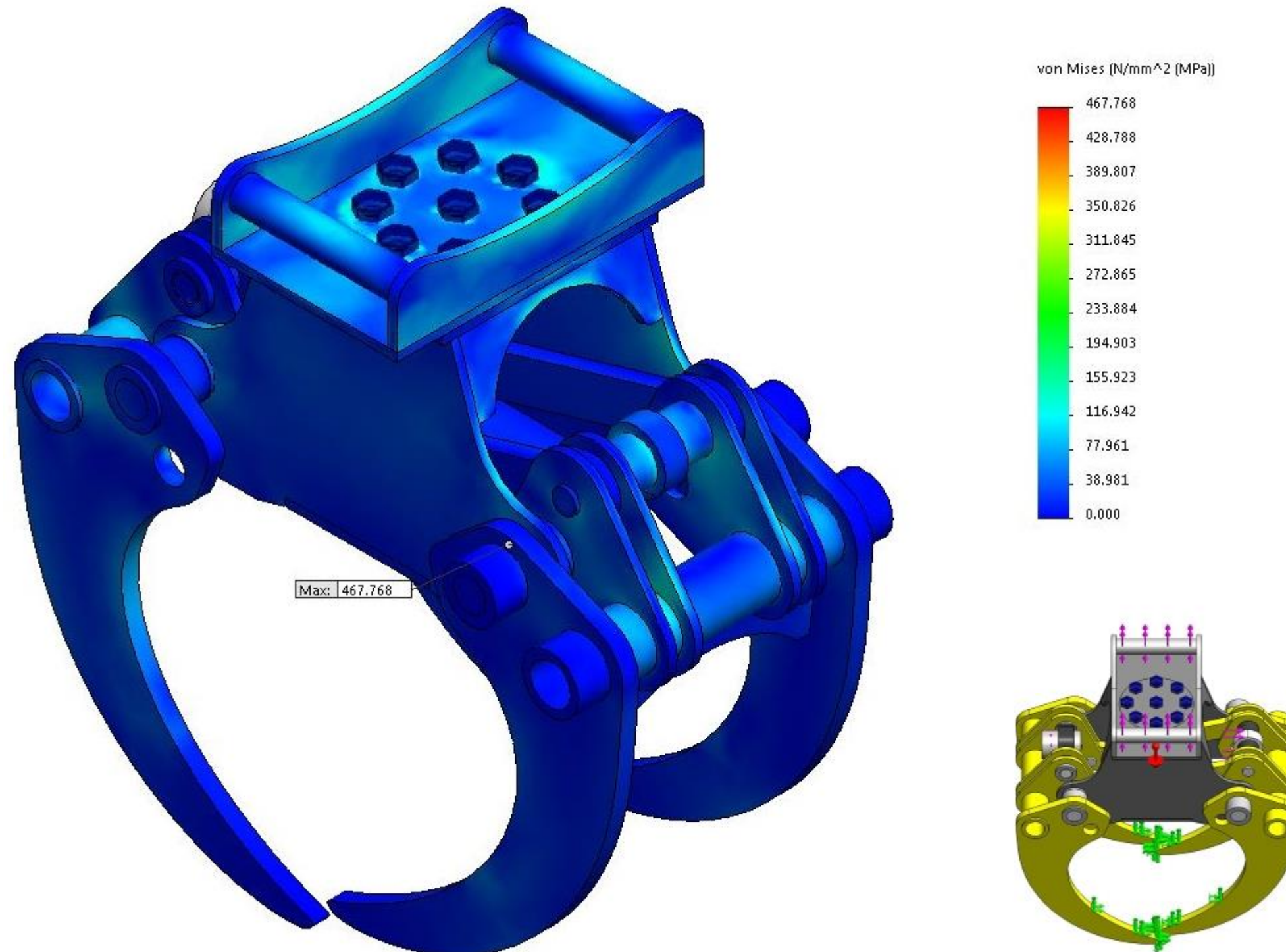


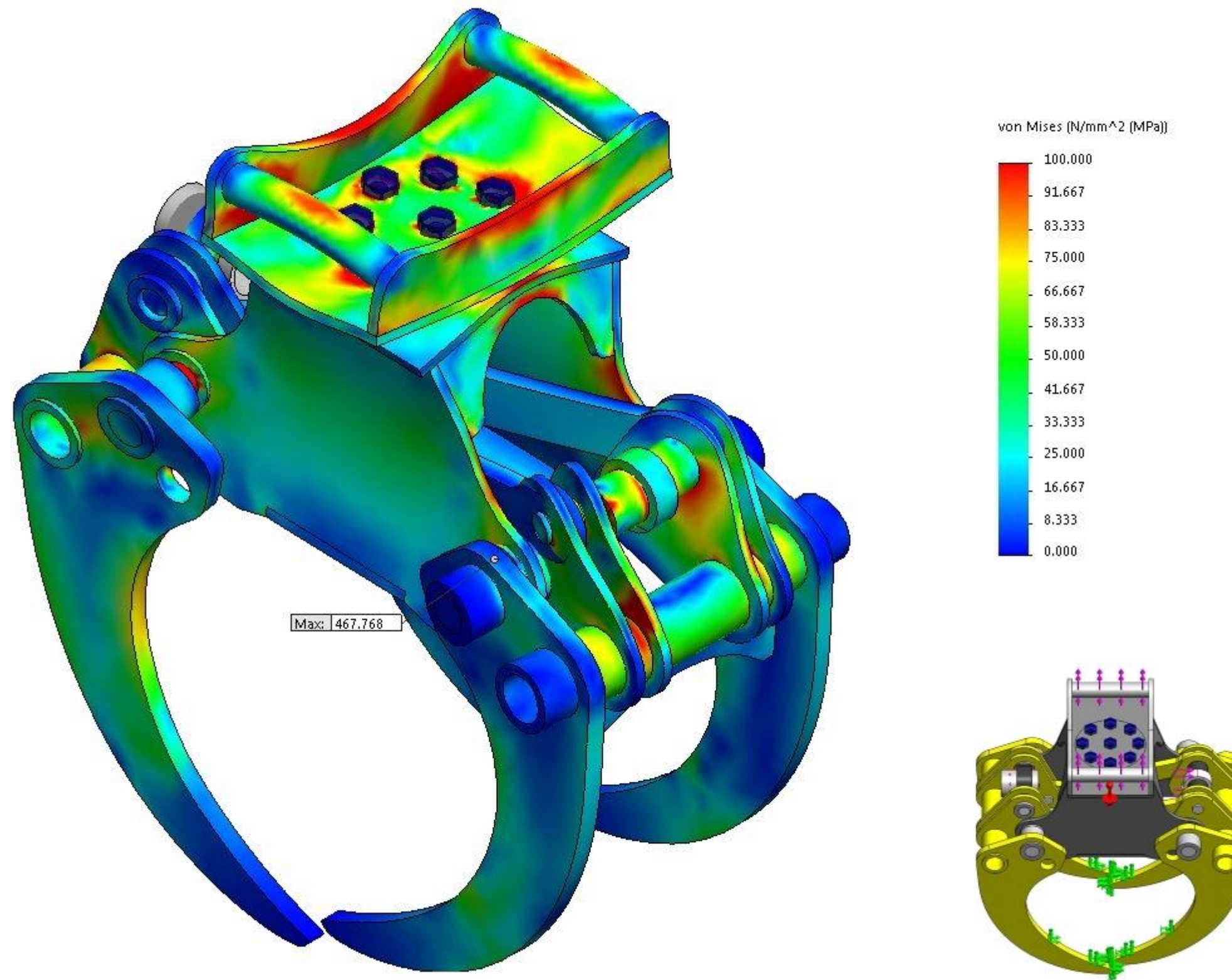
Type	X-Component	Y-Component	Z-Component	Resultant	Connector
Shear Force (N)	-170,7	0	-130,37	214,79	ISO 4017 - M16 x 45-N - 1
Axial Force (N)	0	87934	0	87934	ISO 4017 - M16 x 45-N - 1
Bending moment (N,m)	1,7884	0	-2,5992	3,155	ISO 4017 - M16 x 45-N - 1
Torque (N,m)	0	0	0	0	ISO 4017 - M16 x 45-N - 1
Shear Force (N)	616,67	0	193,56	646,33	ISO 4017 - M16 x 45-N - 2
Axial Force (N)	0	88215	0	88215	ISO 4017 - M16 x 45-N - 2
Bending moment (N,m)	-2,9215	0	6,7679	7,3716	ISO 4017 - M16 x 45-N - 2
Torque (N,m)	0	0	0	0	ISO 4017 - M16 x 45-N - 2
Shear Force (N)	777,96	0	-2410,8	2533,2	ISO 4017 - M16 x 45-N - 3
Axial Force (N)	0	87931	0	87931	ISO 4017 - M16 x 45-N - 3
Bending moment (N,m)	23,228	0	7,4622	24,397	ISO 4017 - M16 x 45-N - 3
Torque (N,m)	0	0	0	0	ISO 4017 - M16 x 45-N - 3
Shear Force (N)	-48,918	0	-1847,9	1848,6	ISO 4017 - M16 x 45-N - 4
Axial Force (N)	0	87605	0	87605	ISO 4017 - M16 x 45-N - 4
Bending moment (N,m)	19,269	0	1,8808	19,361	ISO 4017 - M16 x 45-N - 4
Torque (N,m)	0	0	0	0	ISO 4017 - M16 x 45-N - 4
Shear Force (N)	-979,52	0	-2636,3	2812,4	ISO 4017 - M16 x 45-N - 5
Axial Force (N)	0	88065	0	88065	ISO 4017 - M16 x 45-N - 5
Bending moment (N,m)	26,656	0	-10,428	28,623	ISO 4017 - M16 x 45-N - 5
Torque (N,m)	0	0	0	0	ISO 4017 - M16 x 45-N - 5
Shear Force (N)	-400,18	0	-77,598	407,64	ISO 4017 - M16 x 45-N - 6
Axial Force (N)	0	88275	0	88275	ISO 4017 - M16 x 45-N - 6
Bending moment (N,m)	0,49036	0	-3,8009	3,8324	ISO 4017 - M16 x 45-N - 6
Torque (N,m)	0	0	0	0	ISO 4017 - M16 x 45-N - 6
Shear Force (N)	-649,76	0	2505,3	2588,2	ISO 4017 - M16 x 45-N - 7
Axial Force (N)	0	87955	0	87955	ISO 4017 - M16 x 45-N - 7
Bending moment (N,m)	-25,533	0	-4,784	25,977	ISO 4017 - M16 x 45-N - 7
Torque (N,m)	0	0	0	0	ISO 4017 - M16 x 45-N - 7
Shear Force (N)	-39,2	0	2044,7	2045,1	ISO 4017 - M16 x 45-N - 8
Axial Force (N)	0	87534	0	87534	ISO 4017 - M16 x 45-N - 8
Bending moment (N,m)	-20,699	0	0,040019	20,699	ISO 4017 - M16 x 45-N - 8
Torque (N,m)	0	0	0	0	ISO 4017 - M16 x 45-N - 8
Shear Force (N)	893,65	0	2359,5	2523,1	ISO 4017 - M16 x 45-N - 9
Axial Force (N)	0	87934	0	87934	ISO 4017 - M16 x 45-N - 9
Bending moment (N,m)	-22,461	0	9,1097	24,238	ISO 4017 - M16 x 45-N - 9
Torque (N,m)	0	0	0	0	ISO 4017 - M16 x 45-N - 9

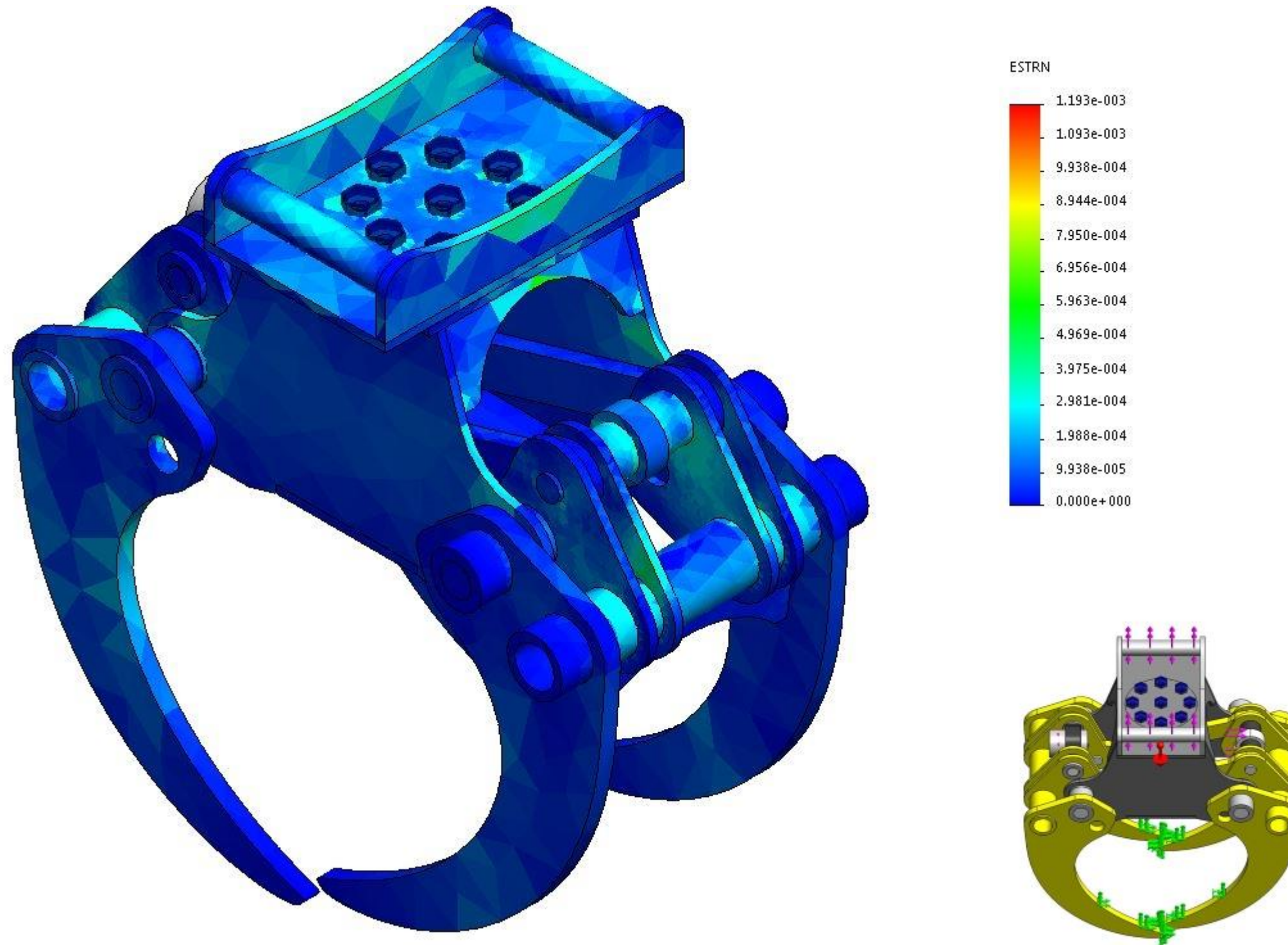


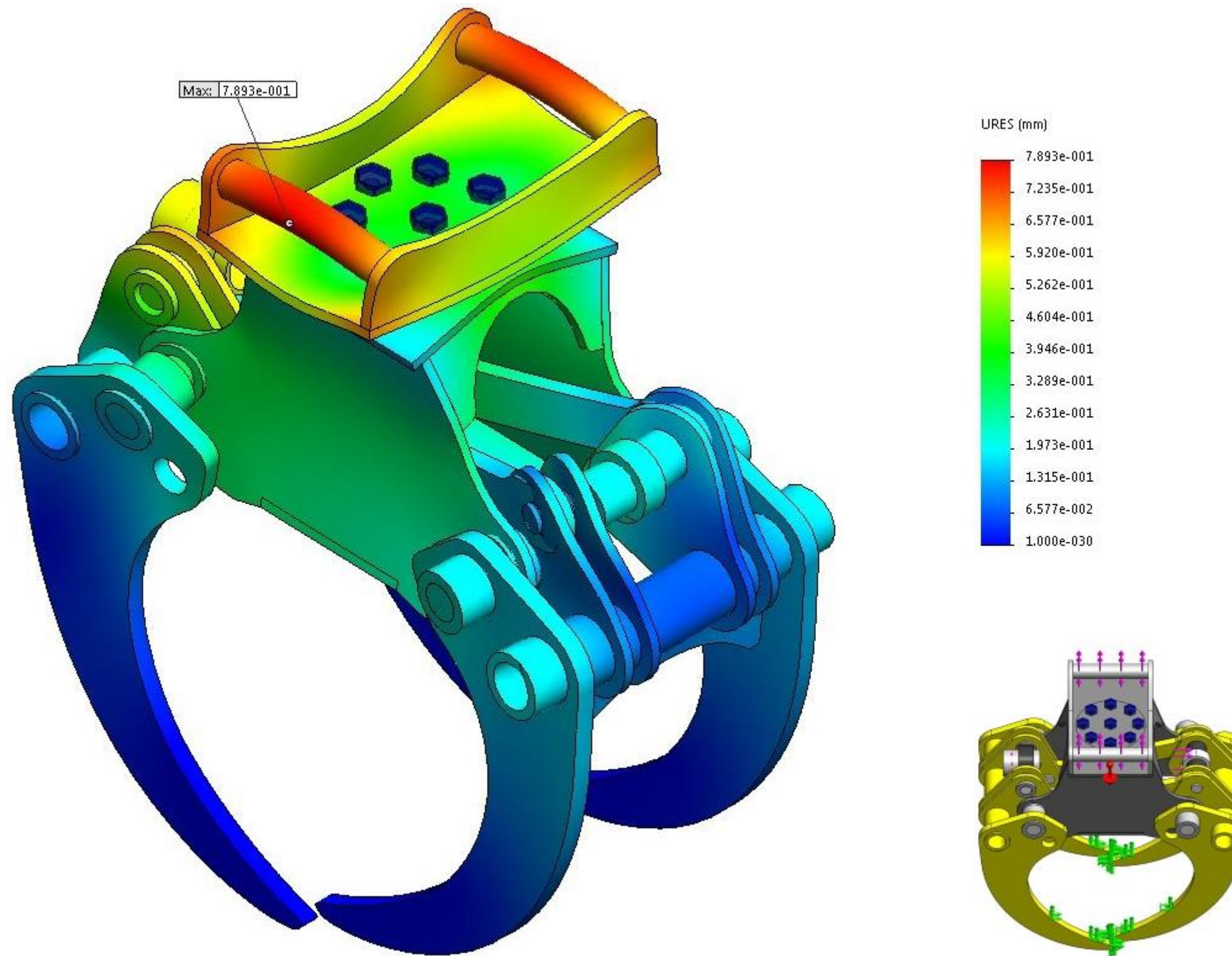
Mesh type	Mixed Mesh
Mesher Used	Curvature based mesh
Jacobian points	29 points
Jacobian check for shell	On
Mesh Control	Defined
Max Element Size	50 mm
Min Element Size	10 mm
Mesh quality	High
Total nodes	111832
Total elements	58204

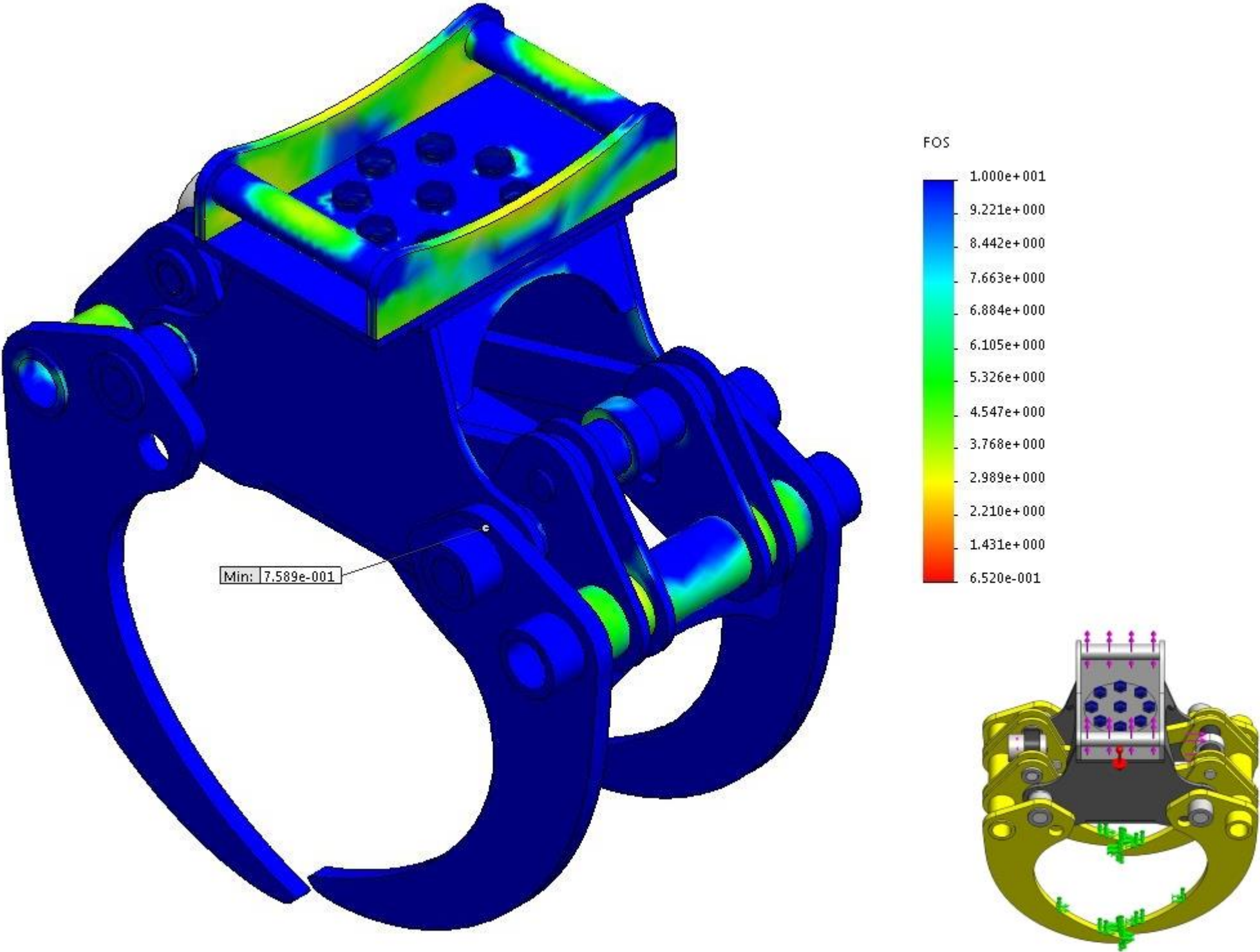


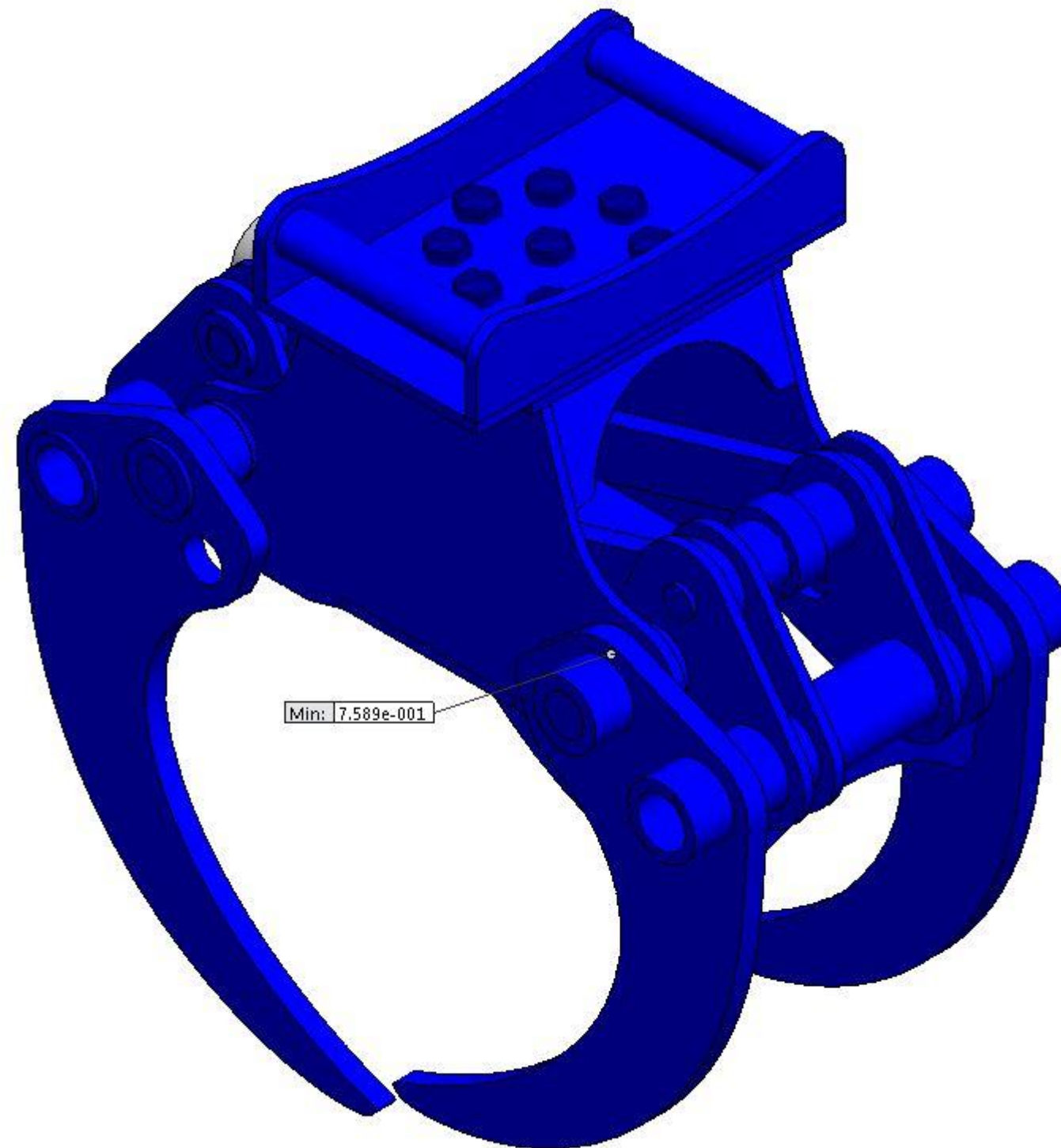


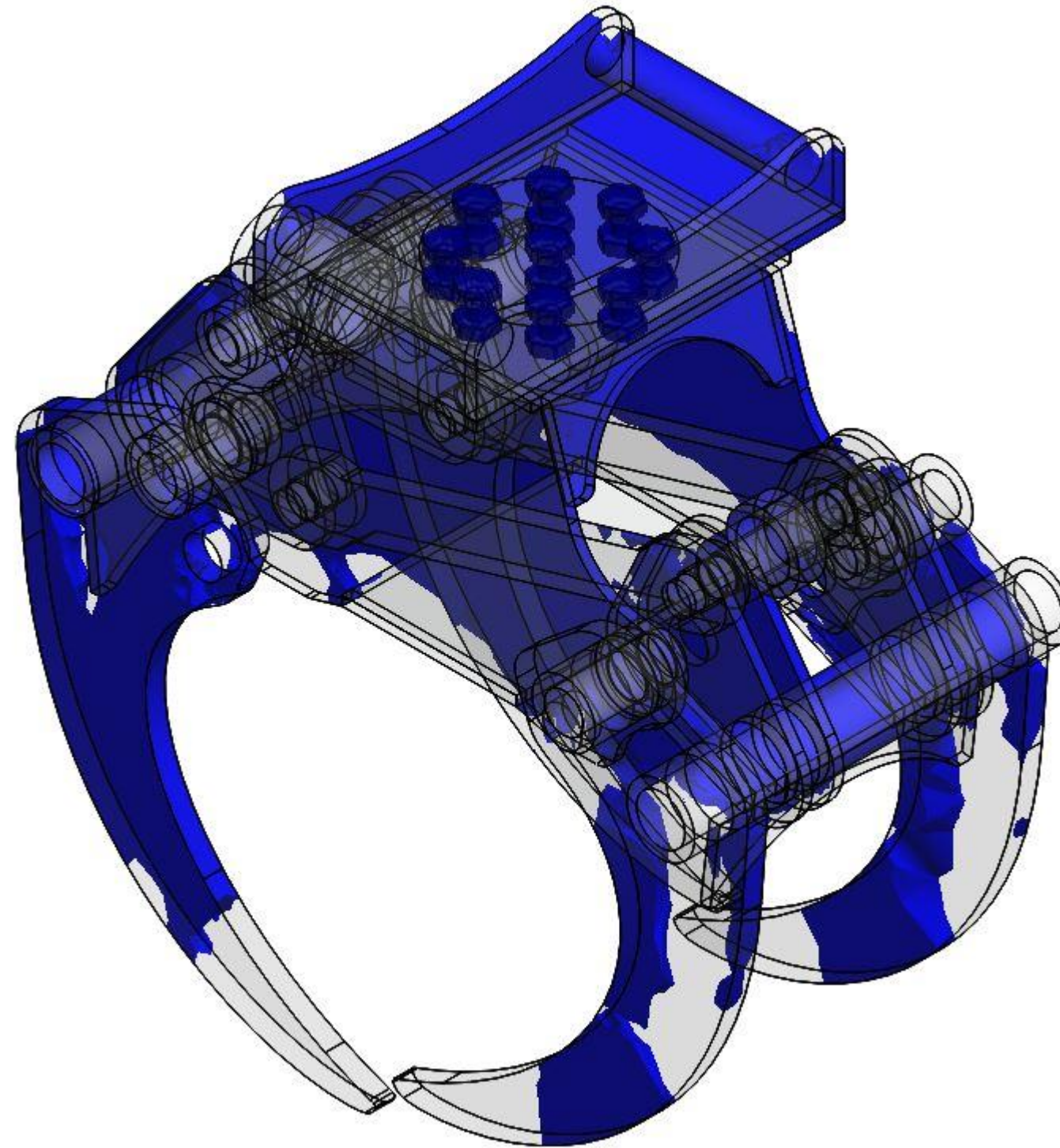


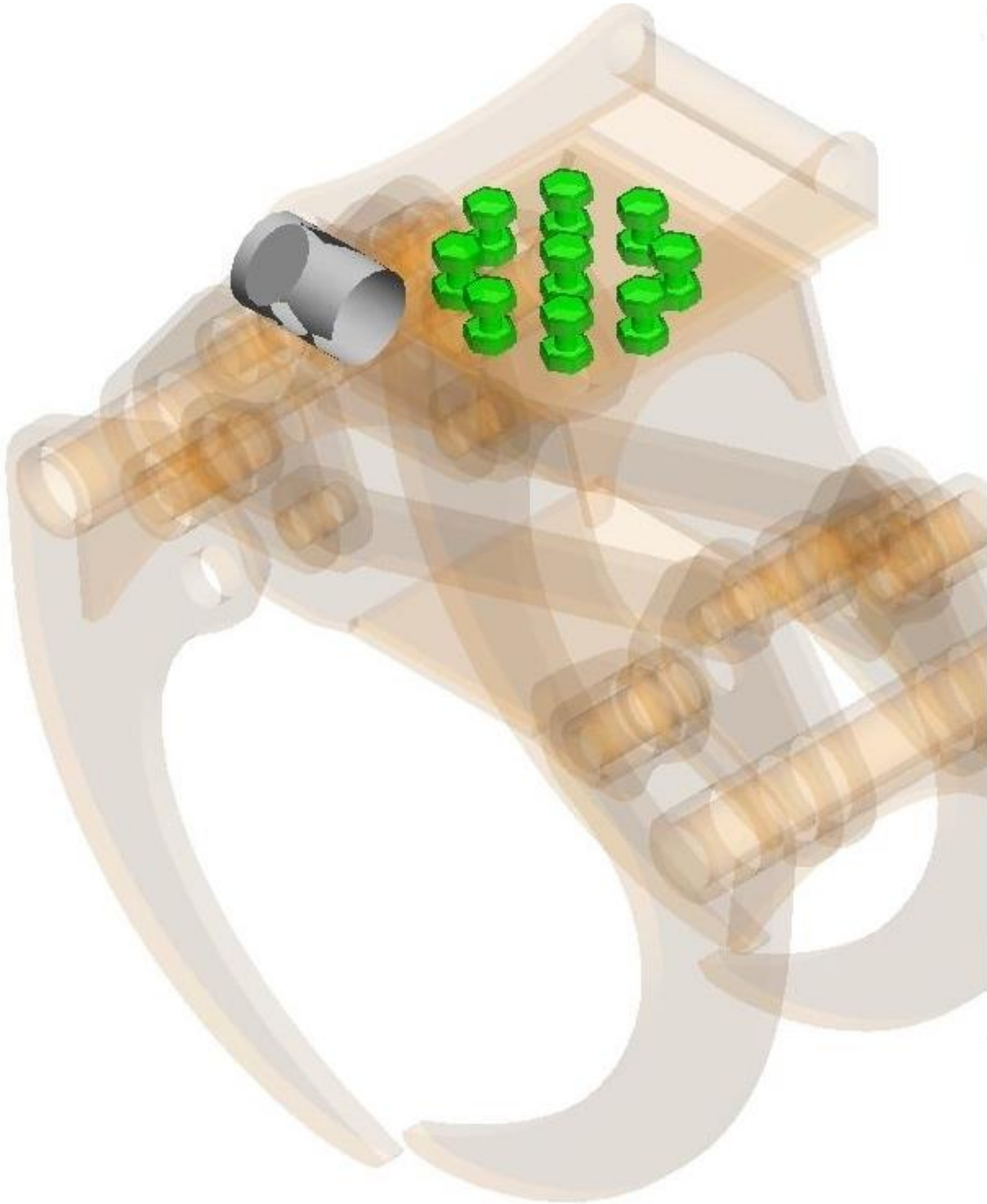




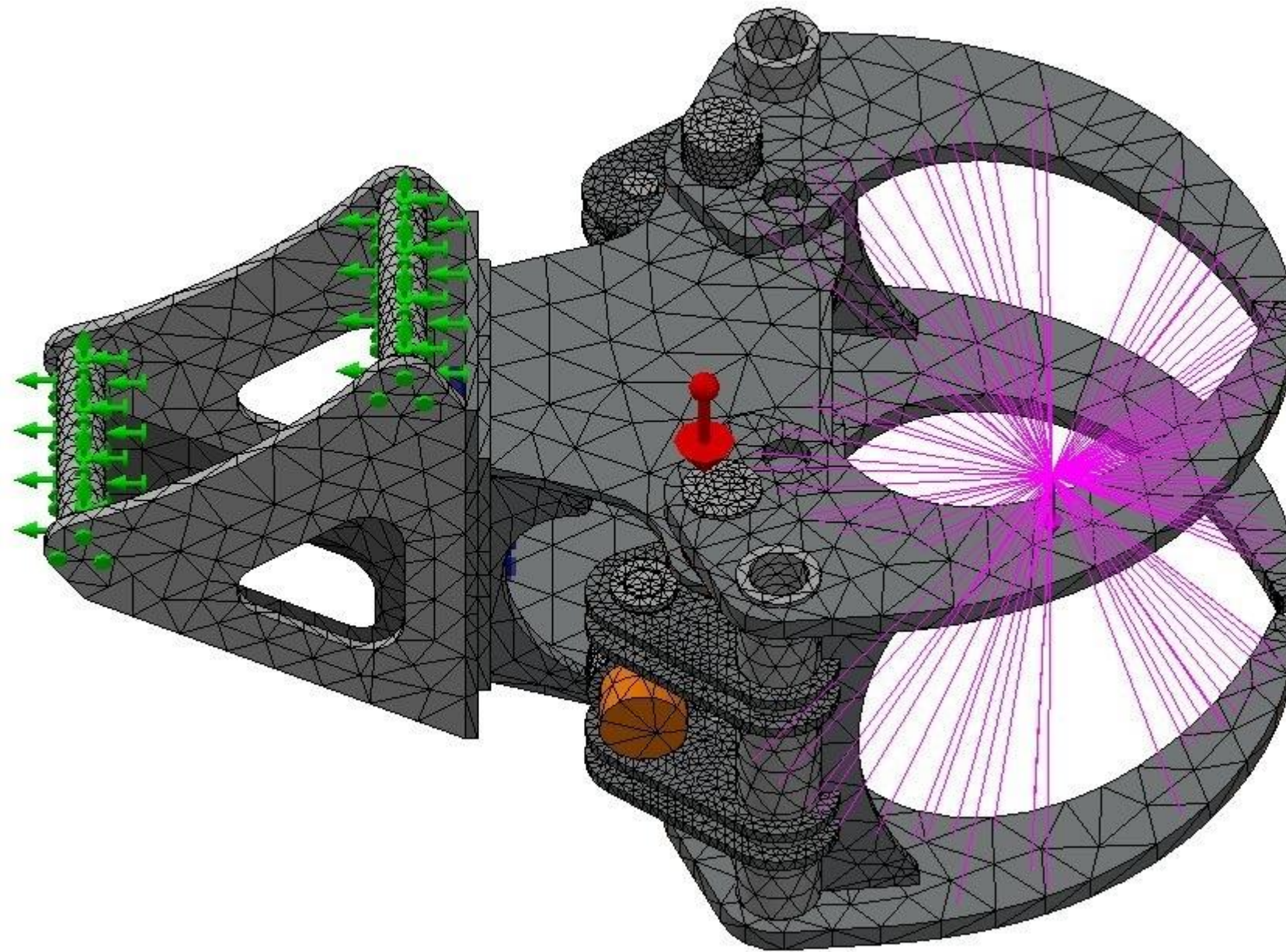




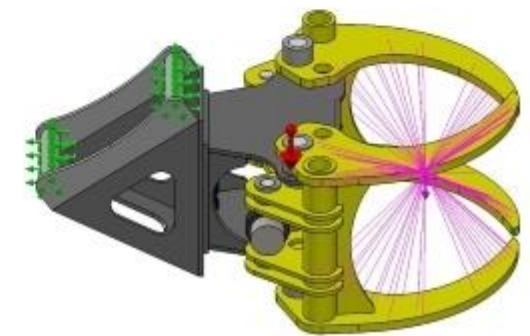


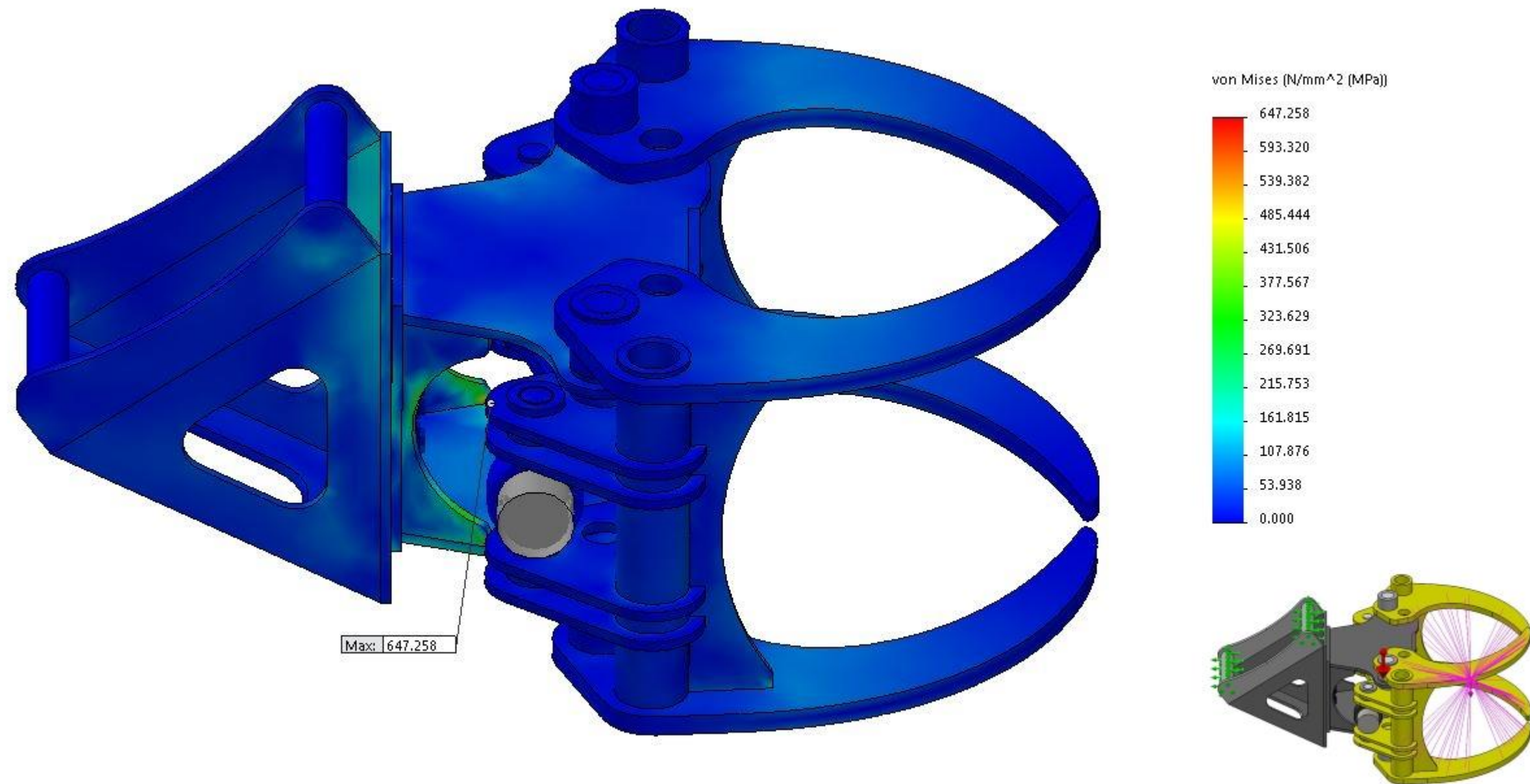


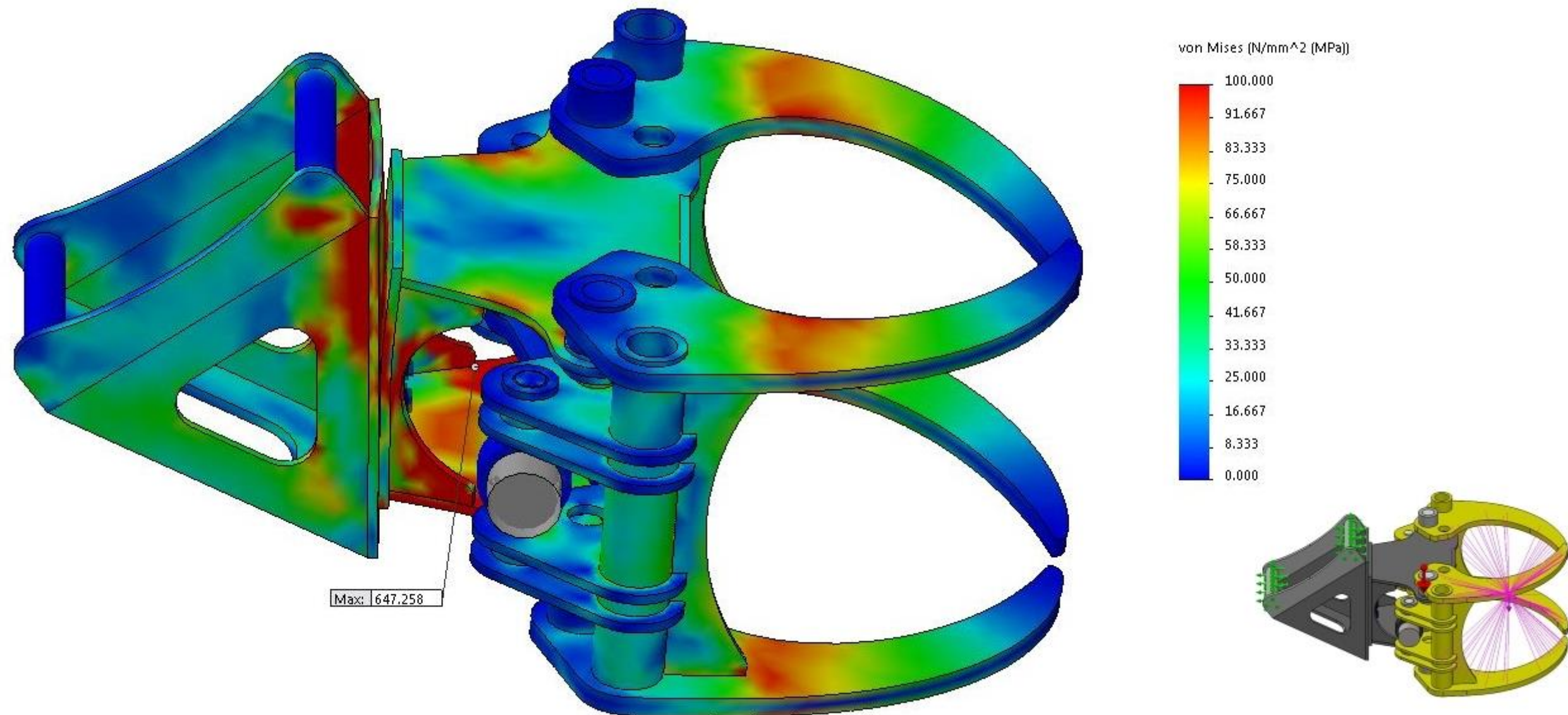
Type	X-Component	Y-Component	Z-Component	Resultant	Connector
Shear Force (N)	-127,29	0	-4,6008	127,37	ISO 4017 - M16 x 45-N - 1
Axial Force (N)	0	84907	0	84907	ISO 4017 - M16 x 45-N - 1
Bending moment (N,m)	0,84399	0	-2,1028	2,2658	ISO 4017 - M16 x 45-N - 1
Torque (N,m)	0	0	0	0	ISO 4017 - M16 x 45-N - 1
Shear Force (N)	-3102,4	0	342,58	3121,3	ISO 4017 - M16 x 45-N - 2
Axial Force (N)	0	83581	0	83581	ISO 4017 - M16 x 45-N - 2
Bending moment (N,m)	-4,6859	0	-31,341	31,689	ISO 4017 - M16 x 45-N - 2
Torque (N,m)	0	0	0	0	ISO 4017 - M16 x 45-N - 2
Shear Force (N)	-4178,9	0	-1721,4	4519,5	ISO 4017 - M16 x 45-N - 3
Axial Force (N)	0	85639	0	85639	ISO 4017 - M16 x 45-N - 3
Bending moment (N,m)	11,459	0	-46,96	48,337	ISO 4017 - M16 x 45-N - 3
Torque (N,m)	0	0	0	0	ISO 4017 - M16 x 45-N - 3
Shear Force (N)	36,045	0	-2561,7	2562	ISO 4017 - M16 x 45-N - 4
Axial Force (N)	0	85207	0	85207	ISO 4017 - M16 x 45-N - 4
Bending moment (N,m)	20,7	0	3,2357	20,951	ISO 4017 - M16 x 45-N - 4
Torque (N,m)	0	0	0	0	ISO 4017 - M16 x 45-N - 4
Shear Force (N)	3639,5	0	-2232,7	4269,7	ISO 4017 - M16 x 45-N - 5
Axial Force (N)	0	85601	0	85601	ISO 4017 - M16 x 45-N - 5
Bending moment (N,m)	18,554	0	40,227	44,299	ISO 4017 - M16 x 45-N - 5
Torque (N,m)	0	0	0	0	ISO 4017 - M16 x 45-N - 5
Shear Force (N)	3494,7	0	-47,412	3495	ISO 4017 - M16 x 45-N - 6
Axial Force (N)	0	83748	0	83748	ISO 4017 - M16 x 45-N - 6
Bending moment (N,m)	-0,11263	0	36,154	36,154	ISO 4017 - M16 x 45-N - 6
Torque (N,m)	0	0	0	0	ISO 4017 - M16 x 45-N - 6
Shear Force (N)	4185,9	0	1996	4637,5	ISO 4017 - M16 x 45-N - 7
Axial Force (N)	0	85228	0	85228	ISO 4017 - M16 x 45-N - 7
Bending moment (N,m)	-15,681	0	48,252	50,736	ISO 4017 - M16 x 45-N - 7
Torque (N,m)	0	0	0	0	ISO 4017 - M16 x 45-N - 7
Shear Force (N)	17,356	0	2561,1	2561,1	ISO 4017 - M16 x 45-N - 8
Axial Force (N)	0	85749	0	85749	ISO 4017 - M16 x 45-N - 8
Bending moment (N,m)	-21,154	0	1,0974	21,183	ISO 4017 - M16 x 45-N - 8
Torque (N,m)	0	0	0	0	ISO 4017 - M16 x 45-N - 8
Shear Force (N)	-3964,9	0	1668,2	4301,6	ISO 4017 - M16 x 45-N - 9
Axial Force (N)	0	85342	0	85342	ISO 4017 - M16 x 45-N - 9
Bending moment (N,m)	-11,542	0	-44,255	45,736	ISO 4017 - M16 x 45-N - 9
Torque (N,m)	0	0	0	0	ISO 4017 - M16 x 45-N - 9

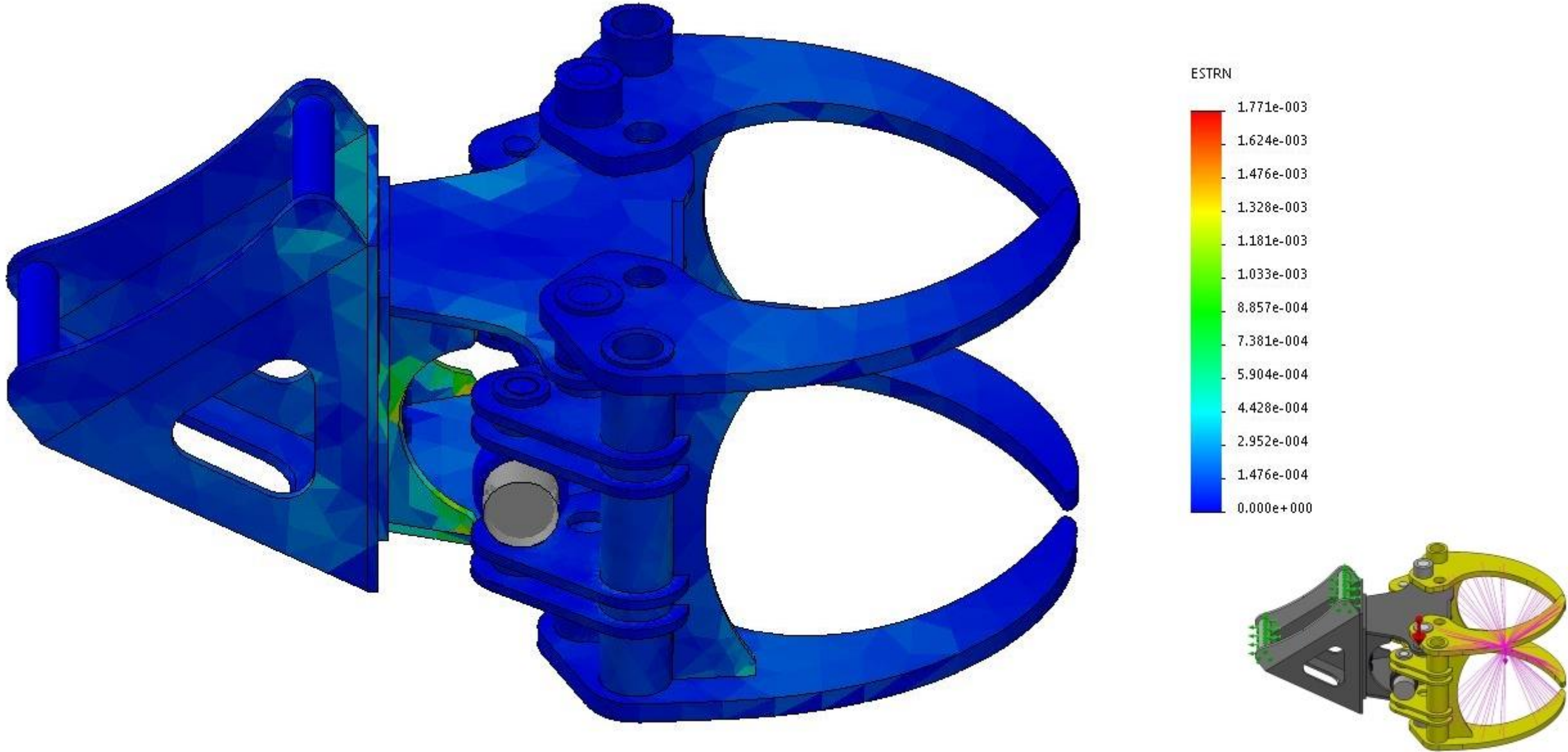


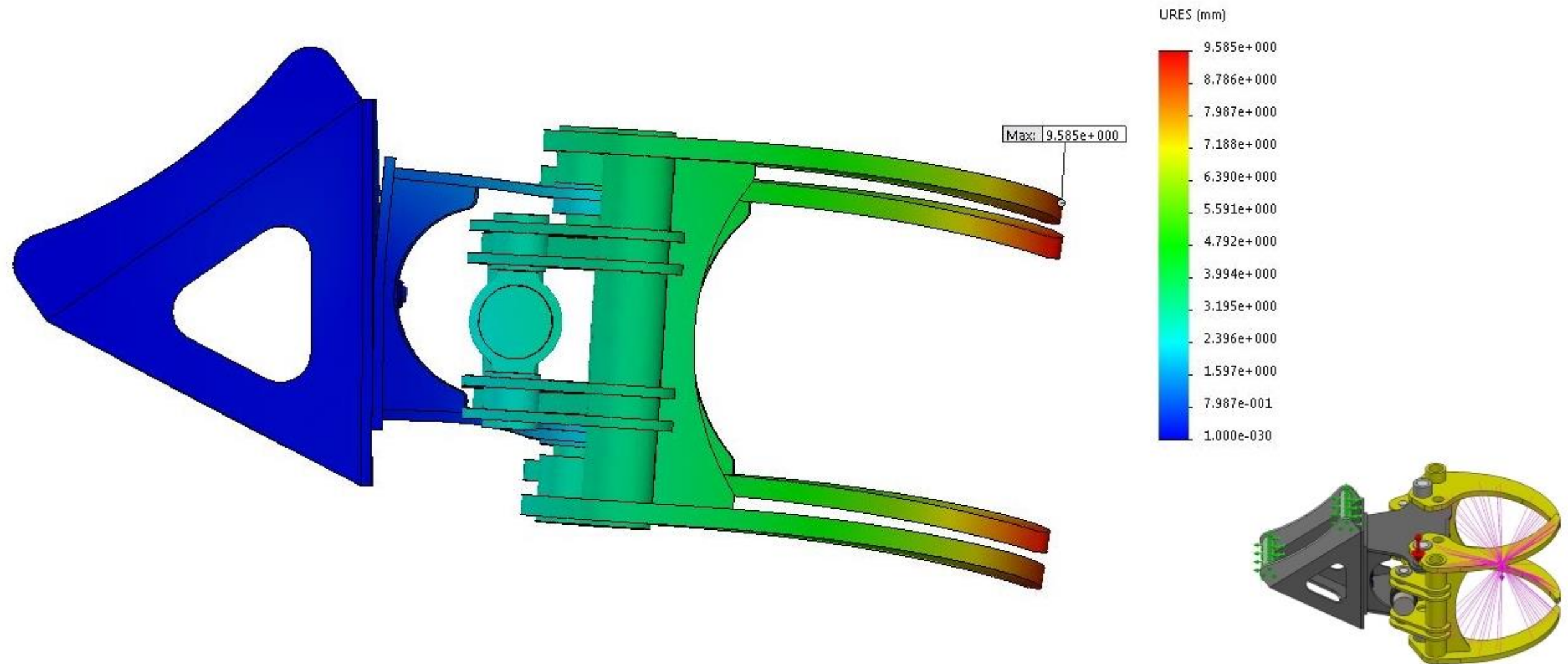
Mesh type	Mixed Mesh
Mesher Used	Curvature based mesh
Jacobian points	29 points
Jacobian check for shell	On
Mesh Control	Defined
Max Element Size	50 mm
Min Element Size	10 mm
Mesh quality	High
Total nodes	112301
Total elements	58073

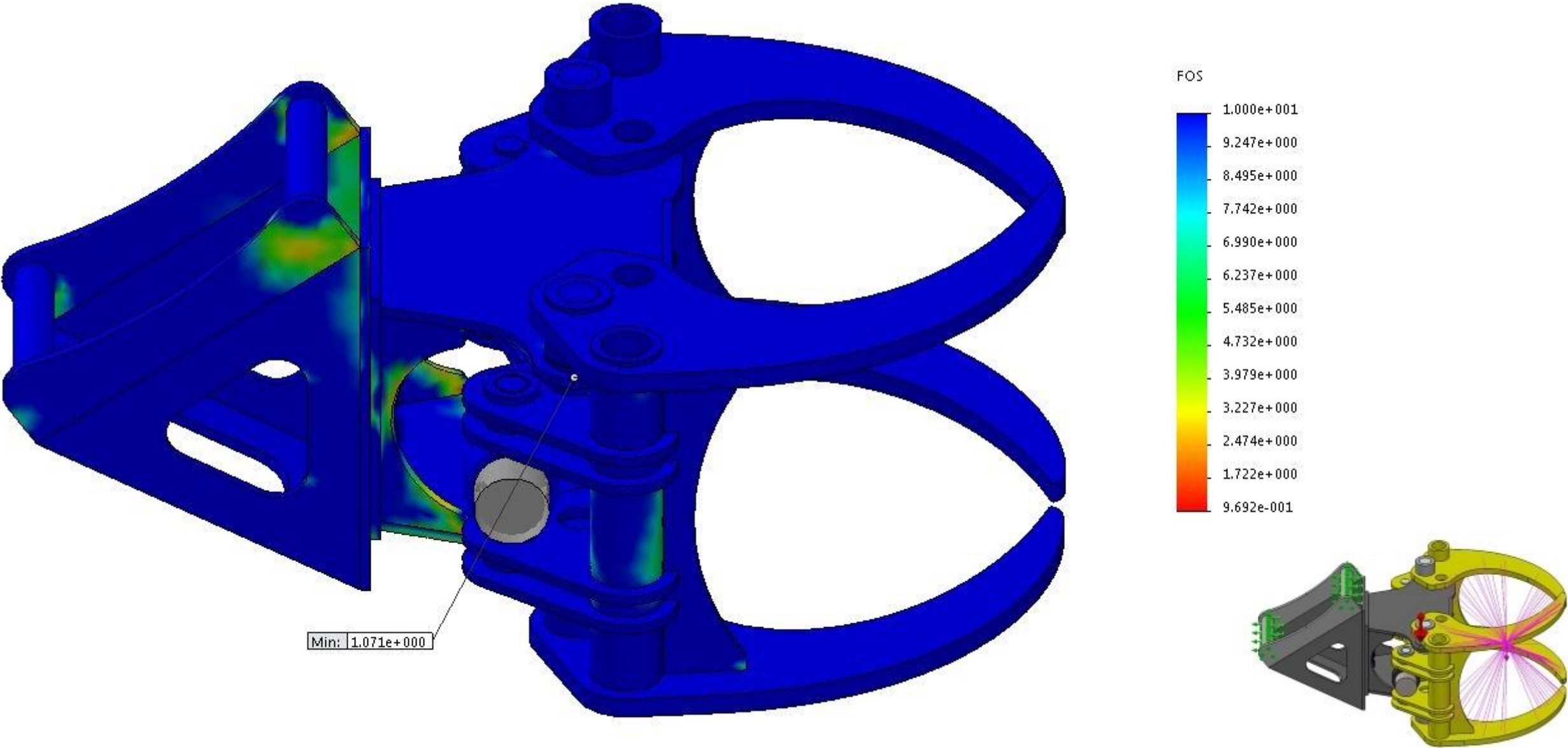


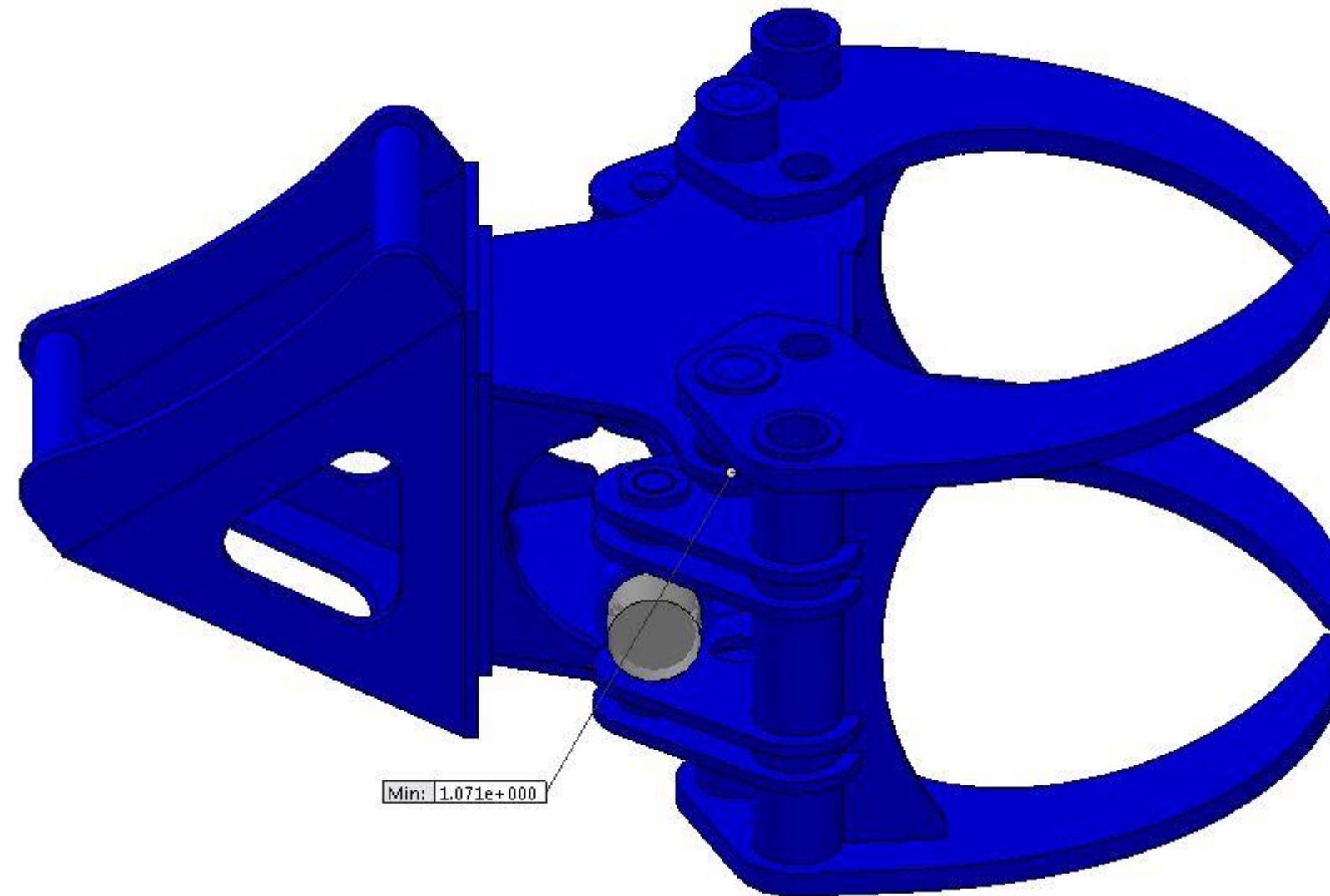


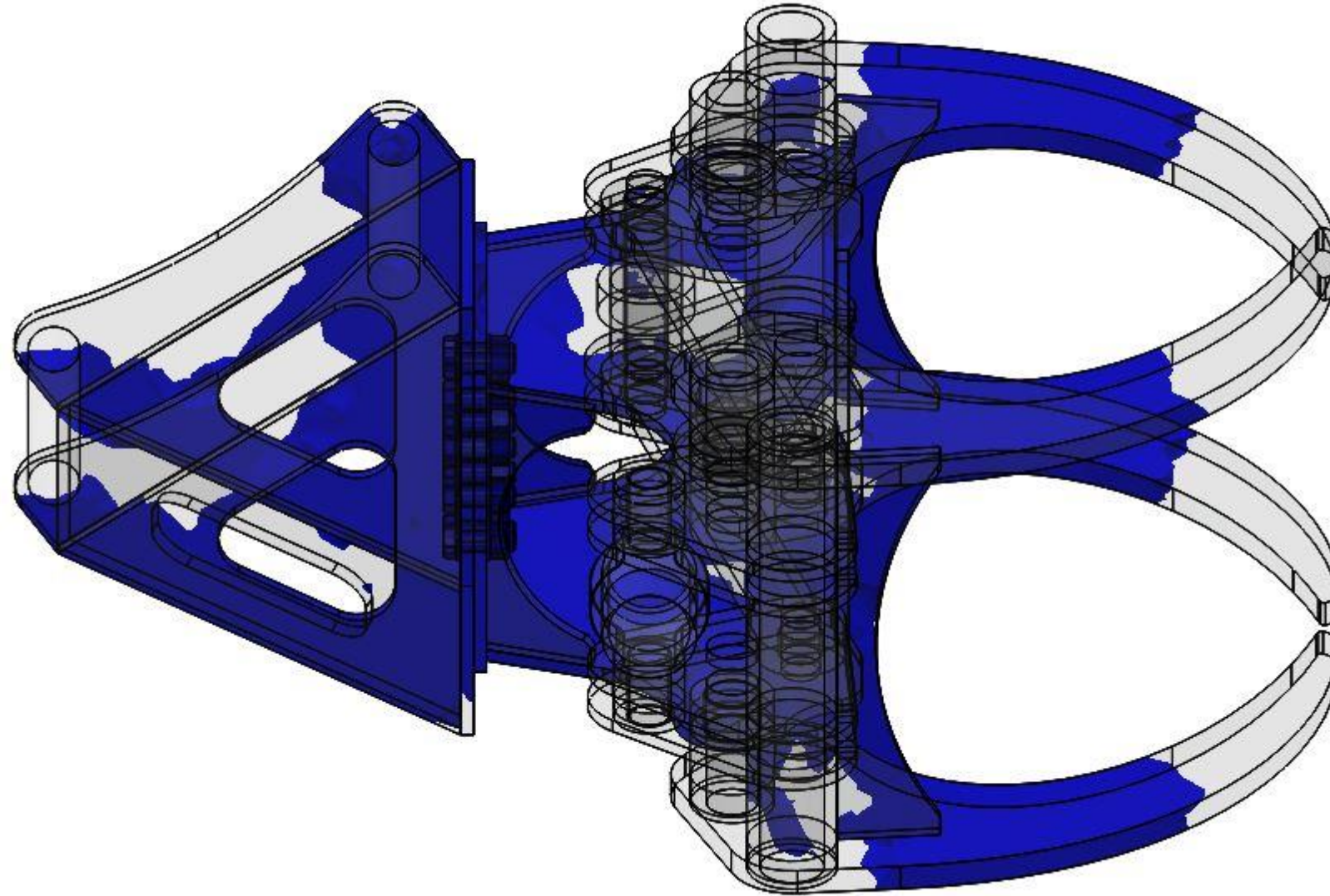


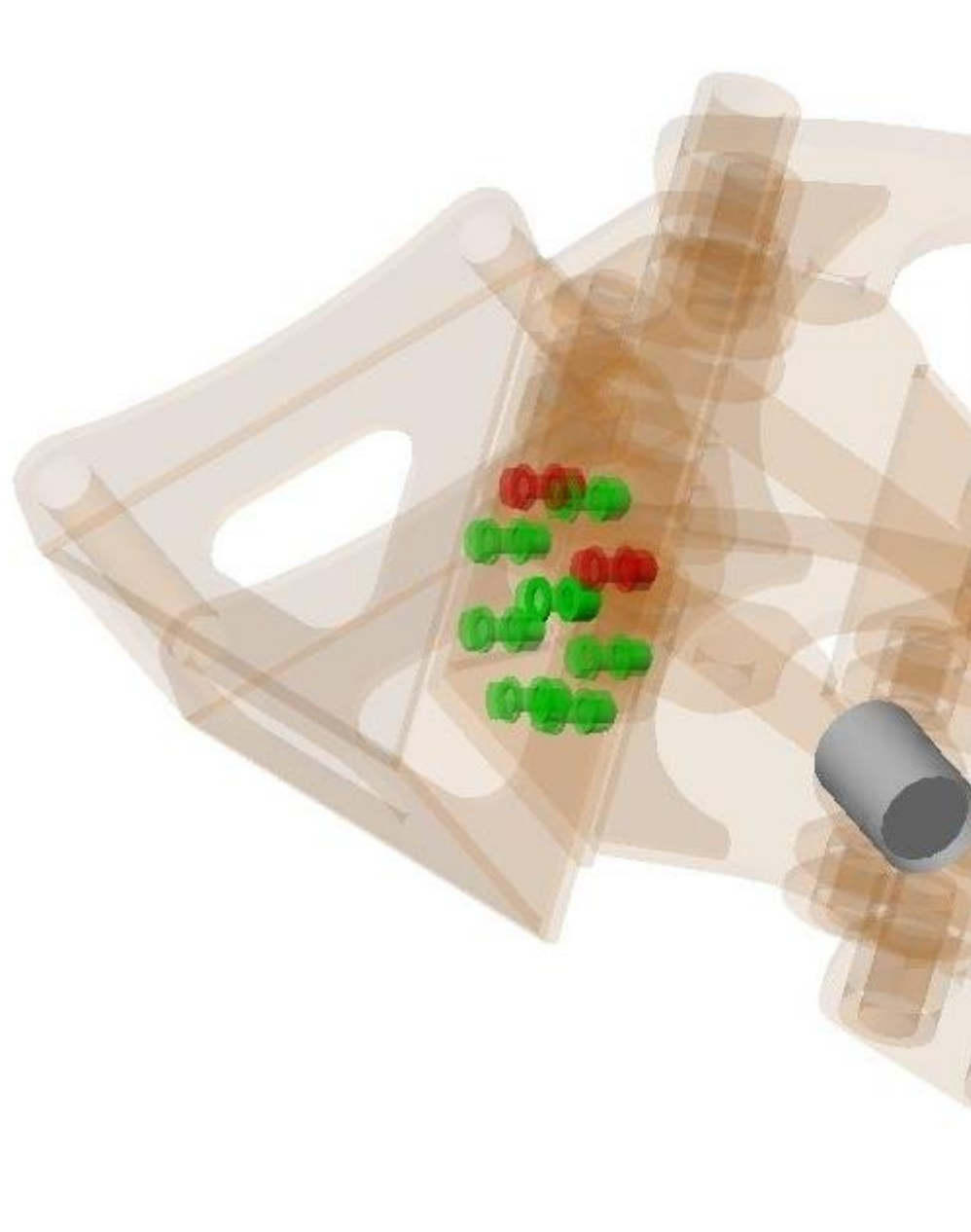












Type	X-Component	Y-Component	Z-Component	Resultant	Connector
Shear Force (N)	83,386	0	1273,6	1276,3	ISO 4017 - M16 x 45-N - 1
Axial Force (N)	0	86861	0	86861	ISO 4017 - M16 x 45-N - 1
Bending moment (N,m)	-12,783	0	0,55404	12,795	ISO 4017 - M16 x 45-N - 1
Torque (N,m)	0	0	0	0	ISO 4017 - M16 x 45-N - 1
Shear Force (N)	-3901,9	0	8045,4	8941,6	ISO 4017 - M16 x 45-N - 2
Axial Force (N)	0	86843	0	86843	ISO 4017 - M16 x 45-N - 2
Bending moment (N,m)	-82,87	0	-43,115	93,415	ISO 4017 - M16 x 45-N - 2
Torque (N,m)	0	0	0	0	ISO 4017 - M16 x 45-N - 2
Shear Force (N)	-8105,2	0	-591,29	8126,7	ISO 4017 - M16 x 45-N - 3
Axial Force (N)	0	95039	0	95039	ISO 4017 - M16 x 45-N - 3
Bending moment (N,m)	-16,471	0	-103,38	104,68	ISO 4017 - M16 x 45-N - 3
Torque (N,m)	0	0	0	0	ISO 4017 - M16 x 45-N - 3
Shear Force (N)	416,53	0	-2508,9	2543,2	ISO 4017 - M16 x 45-N - 4
Axial Force (N)	0	92933	0	92933	ISO 4017 - M16 x 45-N - 4
Bending moment (N,m)	1,3391	0	7,454	7,5734	ISO 4017 - M16 x 45-N - 4
Torque (N,m)	0	0	0	0	ISO 4017 - M16 x 45-N - 4
Shear Force (N)	7385,4	0	-1320,4	7502,6	ISO 4017 - M16 x 45-N - 5
Axial Force (N)	0	93065	0	93065	ISO 4017 - M16 x 45-N - 5
Bending moment (N,m)	-3,4021	0	90,851	90,914	ISO 4017 - M16 x 45-N - 5
Torque (N,m)	0	0	0	0	ISO 4017 - M16 x 45-N - 5
Shear Force (N)	4087,2	0	7224,5	8300,5	ISO 4017 - M16 x 45-N - 6
Axial Force (N)	0	87043	0	87043	ISO 4017 - M16 x 45-N - 6
Bending moment (N,m)	-73,142	0	44,075	85,395	ISO 4017 - M16 x 45-N - 6
Torque (N,m)	0	0	0	0	ISO 4017 - M16 x 45-N - 6
Shear Force (N)	366,66	0	6722,6	6732,6	ISO 4017 - M16 x 45-N - 7
Axial Force (N)	0	86652	0	86652	ISO 4017 - M16 x 45-N - 7
Bending moment (N,m)	-67,317	0	3,3931	67,403	ISO 4017 - M16 x 45-N - 7
Torque (N,m)	0	0	0	0	ISO 4017 - M16 x 45-N - 7
Shear Force (N)	-29,186	0	5587,9	5587,9	ISO 4017 - M16 x 45-N - 8
Axial Force (N)	0	87113	0	87113	ISO 4017 - M16 x 45-N - 8
Bending moment (N,m)	-56,214	0	0,2796	56,215	ISO 4017 - M16 x 45-N - 8
Torque (N,m)	0	0	0	0	ISO 4017 - M16 x 45-N - 8
Shear Force (N)	-303,01	0	6701,5	6708,4	ISO 4017 - M16 x 45-N - 9
Axial Force (N)	0	86795	0	86795	ISO 4017 - M16 x 45-N - 9
Bending moment (N,m)	-65,765	0	-2,6375	65,818	ISO 4017 - M16 x 45-N - 9
Torque (N,m)	0	0	0	0	ISO 4017 - M16 x 45-N - 9